

**საქართველოს ტექნიკური უნივერსიტეტის
პიდრომეტეოროლოგის ინსტიტუტი**

შ03რ0 № IHM-11-01-GTU-2418

გამტკიცვა

ინსტიტუტის სამეცნიერო საბჭოს
თავჯდომარის მოადგილე,
გეოგრაფიის მეცნიერებათა
დოქტორი პ. ბერიტაშვილი

-25 დეკემბერი 2011 წ

**საქართველოს ზედაპირული და მიწისძვრება ფაკულტეტის
მარაბის და მისი ცვლილების შევასხვა კლიმატის
გლობალური დათბობისა და მზარდი
ანთოლაობენური დატვირთვის გათვალისწინებით
(დასკვნითი ანგარიში)**

თემის სამეცნიერო ხელმძღვანელი
პიდრომეტეოროლოგიის ინსტიტუტის
სამეცნიერო საბჭოს თავჯდომარე, წყლის
რესურსებისა და პიდროლოგიური
პროგნოზების განყოფილების გამგე

ნ. ბეგალიშვილი

პასუხესმგებელი შემსრულებელი,
პიდრომეტეოროლოგიის ინსტიტუტის
დირექტორი

თ. ცინცაძე

პასუხისმგებელი შემსრულებელი წყლის
რესურსებისა და პიდროლოგიური
პროგნოზების განყოფილების მთავარი
მეცნიერ თანამშრომელი

გ. ცომაიძე

თბილისი
2011

რეზერატი

ანგარიში გვ, ...ნახაზი, ...ცხრილი, დანართი, ლიტერატურა ...

ანგარიშის I თავში განხილულია საქართველოს მდინარეთა ზედაპირული ჩამონადენის ფორმირების ემპირიულ-სტატისტიკური და წყალბალანსური მოდელები, რომელთა აგებისათვის გამოყენებულია 40-50 წლის პიდრომეტეოროლოგიურ დაკვირვებათა მონაცემები. ამ მოდელების საფუძველზე შემოთავაზებულია ზედაპირული ჩამონადენის მგრძნობიარობის (მოწყვლადობის) განსაზღვრისა და ჩამონადენის რეაქციის შეფასების მეთოდები კლიმატური ცვლილებების პირობებში. როგორც მაგალითი, შერჩეულია პრიორიტეტული რეგიონების მდინარეთა აუზები: დასავლეთ საქართველოში – მდ.ცხენისწყლის აუზის ზემო წელი, მდ.რიონის აუზი – სოფ. ალპანას და სოფ. საქოჩაკიძეს კვეთები; აღმოსავლეთ საქართველოში – მდინარეების ალაზნისა და იორის აუზები, მდ.მტკვრის აუზი – ქ. თბილისის კვეთი. შერჩეული აუზებისთვის შეფასებულია ზედაპირული ჩამონადენის მგრძნობიარობა გასულ საუკუნეში გამოვლენილ კლიმატის ცვლილებათა მიმართ. მოცემულია, ასევე, მდინარეთა ზედაპირული ჩამონადენის ცვლილების კლიმატური პროგნოზი გლობალური დათბობის კონკრეტული სცენარების პირობებში.

ანგარიშის II თავში შესწავლილია საქართველოს მდინარეთა მიწისქვეშა ჩამონადენის ფორმირების საკითხები, ნიადაგ-გრუნტის წყლების მარაგის გენეზისი, მისი გაანგარიშების საფუძვლები. შემოთავაზებულია გრუნტის წყლების განსაზღვრის ოპერატიული მეთოდი, რომელიც ეყიდება ზამთრის პერიოდში მდინარეთა მინიმალურ საშუალო თვის ხარჯების გამოყენებას და შედეგები შედარებულია პიდროგრაფის დანაწევრებით მიღებულ მახასიათებლებთან. აღნიშნულია მათი შესაბამისობა და თანხვევდრა მისაღები ცდომილების ფარგლებში.

მოცემულია მიწისქვეშა ჩამონადენის რეაქციის განსაზღვრის მეთოდი კლიმატური ცვლილებების მიმართ. წარმოდგენილია კვლევის შედეგები, რომლებიც ეხება: გრუნტის წყლების მარაგის ტერიტორიულ განაწილებას (ზონა-ალობას) და მის ცვლილებებს აღგილის სიმაღლის მიხედვით; მათი შიდაწლიური განაწილების თავისებურებებს; მარაგის დინამიკას გასული საუკუნის 50 წლიანი პერიოდისთვის; მიწისქვეშა ჩამონადენის დასახასიათებლად მდინარეთა პიდროგრაფიული გრძივი პროფილების კომპლექსის აგებას. შემოთავაზებულია მდინარეების საშუალო წლიური ხარჯების საპროგნოზო გამოსახულებები გრუნტის წყლების მარაგის გამოყენებით მდინარეების რიონი (სოფ. ალპანა), მტკვარი (ქ.თბილისი) და უინგალის წყალსაცავში ჩამდინარე ფშავის, თეთრი და შავი არაგვის წყლების მაგალითზე. წარმოდგენილია მდ.რიონი – სოფ. ალპანა და მდ.მტკვარი – ქ.თბილისის კვეთებისთვის მიწისქვეშა ჩამონადენის შესაძლო ცვლილების კლიმატური პროგნოზი გლობალური დათბობის სცენარების პირობებში.

ანგარიშის III თავში მოცემულია დასკვნითი ცხრილები დასავლეთ და აღმოსავლეთ საქართველოს 15 ტერიტორიული ზონისთვის ზედაპირული ჩამონადენის რესურსებისა და გრუნტის წყლების მარაგის თანამედროვე მდგომარეობის ამსახველი მონაცემებით, მათი მოსალოდნელი ცვლილების კლიმატური პროგნოზის შედეგები გლობალური დათბობის სცენარების მიხედვით. წარმოდგენილია, ასევე, საქართველოში ზედაპირული და მიწისქვეშა ჩამონადენის ამსახველი რუკა, შესაბამისი ციფრული მასალით.

შემსრულებელთა სია

პიდრომეტეოროლოგიის ინსტიტუტის
სამეცნიერო საბჭოს თავჯდომარე, წყლის
რესურსებისა და პიდროლოგიური
პროგნოზების განყოფილების გამგე,
ფიზ.მათ. მეცნიერებათა დოქტორი

6. ბეგალიშვილი

პიდრომეტეოროლოგიის ინსტიტუტის
დირექტორი, ტექნიკის მეცნიერებათა
აკადემიური დოქტორი

თ. ცინცაძე

წყლის რესურსებისა და პიდროლოგიური
პროგნოზების განყოფილების
მთავარი მეცნიერ თანამშრომელი,
გეოგრაფიის მეცნიერებათა დოქტორი,
პროფესორი

3. ცომაია

ს ა რ ჩ ე ვ ი

საქართველოს ზედაპირული და მიწისძგვება ტყლების მარაბის და მისი
ცვლილების შეფასება კლიმატის გლობალური დათბობისა და მზარდი
ანთროპოგენური დატვირთვის ბათვალისწინებით

I.	საქართველოს ზედაპირული წყლის რესურსების საბაზისო მდგომარეობის შესწავლა კლიმატის ცვლილების გათვალისწინებით.....	6
1.1.	კლიმატის ცვლილების მიმართ წყლის რესურსების მგრძნობიარ- ობისა და მოწყვლადობის ინდიკატორების დადგენა და ყველაზე მოწყვლადი მდინარეთა აუზების შერჩევა.....	6
1.2.	ჩამონადენის ემპირიულ-სტატისტიკური მოდელების აგება.....	13
1.3.	ჩამონადენის წყალბალანსური მოდელების აგება.....	14
1.3.1.	ლ.ტიურკის მოდელი.....	14
1.3.2.	მ.ბუდიკოს მოდელი.....	14
1.4.	პრიორიტეტული რეგიონების მდინარეთა აუზებში ჩამონადენის მოწყვლადობის შეფასება კლიმატის გამოვლენილ ცვლილებათა მიმართ და ჩამონადენის ცვლილების კლიმატური პროგნოზი.....	18
1.4.1.	მდინარეთა საზრდოობის პირობები.....	19
1.4.2.	ქვემო სვანეთი, ლენტების რაიონი, მდ.ცხენისწყლის აუზის ზემო წელი.....	20
1.4.3.	მდ.რიონის დელტა, მდ.რიონი-ს.ალპანას კვეთი.....	28
1.4.4.	ღეღოფლისწყაროს რაიონი, მოსაზღვრე მდინარეების ალაზ- ნისა და იორის აუზები.....	39
1.4.4.1.	მდ.იორის აუზი.....	39
1.4.4.2.	მდ.ალაზნის აუზი.....	48
1.4.4.3.	მდ.მტკვარის აუზი (ქ.თბილისის კვეთი).....	56
1.5	დასკვნები.....	62
	ლიტერატურა.....	64
II.	საქართველოში მდინარეთა მიწისქვეშა ჩამონადენის გამოვლევა და გრუნტის წყლების მარაგის შეფასება კლიმატის ცვლილების გათვალისწინებით	67
2.1.	წინასიტყვაობა.....	67
2.2.	მიწისქვეშა წყლების წარმოშობის ზოგიერთი საკითხი.....	67
2.3.	სხვადასხვა მეოთხით მიღებული გრუნტის წყლების მარაგის შედარების შედეგები.....	69
2.4.	მიწისქვეშა საზრდოობის კოეფიციენტის გამოთვლის შედეგები.....	71
2.5.	მიწისქვეშა ჩამონადენის ცვლილების თავისებურებანი ადგილის სიმაღლის მიხედვით.....	71
2.6.	მიწისქვეშა წყლების მარაგის ცვლილების ხასიათი წლიური ჩამონადენის ცვლილების ფონზე.....	74
2.7.	გრუნტის წყლის შიდაწლიური განაწილების თავისებურებანი.....	76
2.8.	მდინარეთა საშუალო წლიური ხარჯების გაანგარიშება (პროგნოზი) მიწისქვეშა წყლების საშუალო წლიური ხარჯების საფუძველზე.. 2.8.1. უინგალის წყალსაცავში ჩამდინარე წყლების წლიური პროგნოზი.....	77
2.8.2.	მდინარე რიონი-ალპანას ჰიდროლოგიურ კვეთში ჩამონადენის	78

	პროგნოზი.....	
	მდინარე მტკვარი-ქობილისის ჰიდროლოგიურ კვეთში	
2.8.3	ჩამონადენის პროგნოზი.....	79
2.9.	მიწისქვეშა ჩამონადენის მგრძნობიარობა კლიმატური ცვლილებების მიმართ და მისი რეაქციის შეფასება.....	81
2.10	დასკვნა	84
	ლიტერატურა	85

1.საქართველოს ზედაპირული ტყლის ოშარსების საბაზისო მდგრმარეობის შესწავლა კლიმატის ცვლილების გათვალისწინებით

როგორც ცნობილია, საქართველოს მტკნარი წყლის რესურსები შედგება: (ა) მდინარეული ჩამონადენის ზედაპირული და მიწისქვეშა მდგრელებისაგან; (ბ) მიწისქვეშა წყლებიდან, რომლებიც არ მონაწილეობენ მდინარეულ საზრდოობაში და ჩაედინებიან უშუალოდ ზღვაში; (გ) მყინვარების, ტბების და ჭაობების წყლებიდან[39,51-53].

საქართველოს ზედაპირული წყლის ჯამური რესურსები 100 კმ³-ს აღემატება. აქედან, მდინარეების წილად მოდის დაახლოებით 65 კმ³, მყინვარების - 30 კმ³, ტბების - 0.7 კმ³, წყალსაცავების - 3.3 კმ³, ჭაობების - 1.9 კმ³ მოცულობის წყალი, მათ შორის დაახლოებით 36 კმ³, რომელიც თავმოყრილია მყინვარებში, ტბებში, წყალსაცავებსა და ჭაობებში, წყლის რესურსების საუკუნოვან მარაგს წარმოადგენს და წყლის წრებრუნვაში ნაკლებ მონაწილეობას იღებს. 65.2 კმ³ მოცულობის მდინარის ჯამური წლიური ჩამონადენიდან 56.5 კმ³ ფორმირდება საქართველოს ტერიტორიაზე, რაც მთელი ჩამონადენის 87%-ს შეადგენს. დანარჩენი 8.7 კმ³ (13%) შემოდის მის გარეთ მდებარე სომხეთის და თურქეთის ტერიტორიებიდან. საქართველოში ეს რესურსები არათანაბრადა განაწილებული. დასავლეთ საქართველოზე მოდის 50.4 კმ³ ან 77% წლიური ჩამონადენისა (43.8 კმ³ - ადგილობრივი და 6.6 - ტრანზიტული), ხოლო აღმოსავლეთ საქართველოზე - 11.8 კმ³ ან 23% (12.7 კმ³ - ადგილობრივი და 2.1 კმ³ - ტრანზიტული). რეგიონებში ჰიდროლოგიურ თავისებურებათა დიდ მრავალფეროვნებას განსაზღვრავს მთა-გორიანი ქვეყნისათვის დამახასიათებელი ფიზიკურ-გეოგრაფიული და კლიმატური პირობების მრავალსახეობა.

მონაცემები რეგიონში ზედაპირული ჩამონადენის რეუიმის მრავალწლიურ მახასიათებლებზე და წყლის რესურსებზე შესულია მდინარეთა ჰიდროგრაფიული აღწერის მონოგრაფიული ხასიათის შრომებში [39,46-48,51-53]. გარდა მდინარეებისა, მათში წარმოდგენილია, აგრეთვე, მონაცემები არხებზე, ტბებზე და წყალსაცავებზე. ცალკე ტბებისა და წყალსაცავების ჰიდროგრაფიულ აღწერას ეძღვნება ნაშრომები [49,50]. ყველა ამ საცნობარო გამოცემებში გამოყენებულია ძირითადათ გასული საუკუნის დაკვირვებათა მასალები - ინფორმაცია ჰიდროლოგიურ რიგებზე შემოისაზღვრება 60-70-იანი წლების მონაცემებით. მოგვიანებით, 90-იანი წლების დასაწყისისთვის გამოცემულ მონოგრაფიებშიც კი წყლის რესურსების მდგომარეობის შეფასება ეყრდნობა დაკვირვებათა მასალებს 1980 წლის ჩათვლით [39,51]. მხოლოდ გაეროს კლიმატის ჩარჩო კონვენციაზე საქართველოს პირველი ეროვნული შეტყობინების ანგარიშის შედეგისას ნაწილობრივ გამოყენებულია 80-იანი წლების ჰიდროლოგიური მონაცემები [3,19,36]. ამრიგად, საქართველოში ზედაპირული წყლის რესურსების თანამედროვე საბაზისო მდგრმარეობის დასაზუსტებლად აუცილებელია ბოლო თითქმის 25 წლიანი პერიოდის დაკვირვებათა რაც შეიძლება სრულად გათვალისწინება.

1.1. კლიმატის ცვლილების მიმართ წყლის რესურსების მგრძნობიარობისა და მოწყვლადობის ინდიკატორების დადგენა და ყველაზე მოწყვლადი მდინარეთა აუზების შერჩევა

პრობლემის მდგრმარეობა დედამიწაზე მიმდინარე გლობალური დათბობის ფონზე, რაც მსოფლიო მეტეოროლოგიური ქსელის მონაცემებით შეფასებულია დაახლოებით 0.6 °C-ით XX საუკუნის განმავლობაში, სამხრეთ კავკასიაში კლიმატური სისტემის რეაქცია ძალზე არაერთგვაროვანი აღმოჩნდა. კერძოდ, გამოვლენილი იყო საკმარისად მნიშვნელოვანი საუკუნოვანი დათბობა აღმოსავლეთ საქართველოს ტერიტორიაზე ცალკეულ შემთხვევაში საშუალო წლიური ტემპერატურის ზრდის მაქსიმალური შეფასებით 0.5-0.7 °C და ზომიერი აცივება დასავლეთ საქართველოში ტემპერატურის მაქსიმალური დაწვით მის ზოგიერთ რაიონებში

0.3-0.5 °C-ით [1-3]. არაერთგვაროვანი აღმოჩნდა, აგრეთვე, ნალექთა ჯამების ცვლილება 1936-1995 წლების განმავლობაში დაკვირვებათა 60-წლიანი პერიოდი-სათვის [3-5]. საქართველოს ტერიტორიის უმეტეს ნაწილზე გამოვლენილ იქნა წლიური ნალექების კლება 5-10%-მდე, ხოლო აღმოსავლეთ კავკასიონის მაღალმთიან ზონაში შემცირების მაქსიმალურმა სიდიდემ შეადგინა 10-15%. ნალექების ზრდა აღინიშნა კოლხეთის დაბლობზე, აჭარის მაღალმთიან რაიონებში და დასავლეთ კავკასიონის მაღალმთიან ზონაში, სადაც მათი მატება არ აღემატებოდა წლიური ჯამების 5-10%-ს. ნალექთა წლიური რაოდენობის ზრდის მაქსიმუმი დაფიქსირდა აღმოსავლეთ საქართველოს დედოფლისწყაროს რაიონში, სადაც მატებამ შეადგინა 10-15%. ამასთან, ატმოსფეროს ტენშემცველობა საქართველოს ტერიტორიაზე მთლიანობაში არ შეცვლილა, თუმცა დასავლეთ და აღმოსავლეთ საქართველოს ცალკეულ რაიონებში დაფიქსირებული იყო მათი საუკუნეობრივი სვლის ორივე ნიშნის ტენდენციები [6-8]. კავკასიაში კლიმატის არაერთგვაროვანი რეაქცია გლობალურ დათბობაზე შეიძლება აისხნას აღგილობრივი ფიზიკურ-გეოგრაფიული პირობებით, შავი და კასპიის ზღვების გავლენით, მთიან რეგიონში მიმდინარე მეზო-და მიკროცირკულაციური პროცესებით, ბუნებრივ გარემოზე მზარდი ანთროპოგენული ზემოქმედების სივრცით-დროითი განაწილების თავისებურებებით.

წყალბრუნვის ციკლი სისტემაში „ატმოსფერო-ქვეფენილი“ ზედაპირი შეიცავს წყლის ორთქლის გარდასახვებს შემდეგი სქემის მიხედვით: „ტენშემცველობა ან წყლის მარაგი ატმოსფეროში-ღრუბლიანობა-ნალექები-აორთქლება-ჩამონადენი“. რადგან ღრუბლიანობა, ნალექები და აორთქლება მნიშვნელოვნად დამოკიდებული არიან ატმოსფეროში ტემპერატურისა და სინოტიკის რეჟიმზე, მისმა ცვალებადობამ შეიძლება გამოიწვიოს ტენბრუნვის კომპონენტების, კერძოდ კი ჩამონადენისა და წყლის რესურსების საგრძნობი ცვლილება [9-12].

ამრიგად, მოსალოდნელია ჩამონადენის განსხვავებული რეაქცია კლიმატური ცვლილებების ამ არაერთგვაროვნობის მიმართ საქართველოს დასავლეთ და აღმოსავლეთ რეგიონების მდინარეთა აუზებში. კლიმატური ცვლილებები, უპირველეს ყოვლისა ტემპერატურის და ნალექების ვარიაციები, მოქმედებენ რა პიდროლოგიური ციკლის კომპონენტებზე – აორთქლებაზე, ევაპოტრანსპირაციაზე, თოვლ-წვიმიან და მყინვარულ საზრდოობაზე, ფილტრაციაზე, გრუნტის წყლებზე, მდინარეთა ჩამონადენზე, იწვევენ მათი რეჟიმების ცვლილებას [13-15]. შეიძლება დავასკვნად, რომ კლიმატური ცვლილებების არაერთგვაროვნობის ერთ-ერთ მნიშვნელოვან შედეგად გახდება მდინარეთა ჩამონადენის განსხვავებული რეაქცია, მათი პიდროლოგიური რეჟიმის და მთლიანად საქართველოს წყლის რესურსების ცვლილება. ამ ცვლილებათა ტენდენციებზე მნიშვნელოვნად არის დამოკიდებული უკონომიკის დარგების მდგრადი განვითარება, განსაკუთრებით სოფლის მუურნეობის და პიდროენერგეტიკის, მოსახლეობის წყალმომარაგების, წყალრესურსული და წყალსამეურნეო სისტემების ფუნქციონირება. ამიტომ, კლიმატური ვარიაციების მიმართ მდინარეთა ჩამონადენის რეაქციის, მდინარეთა პიდროლოგიური რეჟიმისა და წყლის რესურსების ცვლილების გამოკვლევა ძალზე აქტუალურია და გააჩნია როგორც სამეცნიერო, ასევე გამოყენებითი მნიშვნელობა. აღვნიშნავთ, რომ პირველად ამ მიმართულებით გამოკვლევები დაწყებული იყო საქართველოში კლიმატის ცვლილების პირველი ეროვნული შეტყობინების პროექტის შესრულებასთან დაკავშირებით [3,16].

ამოცანის დასმა. წყლის ბალანსზე და ჩამონადენის ფორმირებაზე კლიმატის ცვალებადობის გავლენის გამოკვლევაში შეიძლება გამოვყოთ ორი მიდგომა. თანახმად პირველი მიდგომისა, კლიმატის მაფორმირებელი ფაქტორების ცვლილებების გავლენას მდინარეთა ჩამონადენზე სწავლობენ ძირითადად ემპირული მონაცემების საფუძველზე [15,17-21]. მაგალითად, [17]-ში გამოყენებულია ყოფილ

საბჭოთა კავშირის ტერიტორიაზე განლაგებული 640 პიდროლოგიური საგუშაგოს 1951-1980 წლების მონაცემები მდინარეთა საშუალო წლიური ჩამონადენის შესახებ, რომელთა რეკიმი არ არის დამახინჯებული ადამიანის სამეურნეო ქმედებით. გამოყენებულია, აგრეთვე 44 მეტეოსადგურის მონაცემები ჰაერის საშუალო წლიურ ტემპერატურაზე და 52 სადგურისა - ნალექთა წლიურ ჯამებზე. ემპირიული რიგების დინამიკის შესასწავლად ჩატარებულია მათი წინასწარი გასწორება (გაგლუვება), წრფივი ტრენდების აგება უმცირეს კვადრატთა მეთოდის დახმარებით. მოცემულია საბჭოთა კავშირის ტერიტორიაზე საშუალო წლიური ჩამონადენის, ნალექთა ჯამებისა და ჰაერის ტემპერატურის ცვლილებათა განაწილება განხილულ პერიოდში. კერძოდ, კავკასიაში არ არის დაფიქსირებული ტემპერატურისა და ნალექების ცვლილება, მაგრამ, აღნიშნულია საქართველოს ტერიტორიაზე მდინარეთა ჩამონადენის დადებითი ტრენდები. ეს წინააღმდეგობრივი შედეგი შეიძლება აიხსნას რეგიონის კვლევისათვის გამოყენებულ მცირერიცხოვან სადგურთა მონაცემებით და დაკვირვებათა შედარებით მოკლე რიგებით. აუცილებელია ამ საკითხის უფრო დროად შესწავლა.

[15]-ში წარმოდგენილია რუსეთის ფედერაციაში წყლის რესურსებისა და მდინარეებში წყლის რეჟიმის თანამედროვე და საპროგნოზო ცვლილებები, გა-მოწვეული კლიმატური გარიანციებით. წყლიანობის თანამედროვე ცვლილების გამოსაკვლევად გამოყენებულია 300-ზე მეტი მდინარის ჩამონადენის მონაცემი, რომლებსაც ახასიათებთ ხანგრძლივი დაკვირვებების რიგები და გააჩნიათ პი-დროლოგიური რეჟიმი, თავისუფალი სამეურნეო ზემოქმედებიდან. ბოლო ათ-წლედებში უმეტეს მდინარეებისათვის გამოვლენილია წყლის რესურსების მატება. წყლიანობის მნიშვნელოვანი ზრდა დაიკვირვება მდგრლივის აუზში, რომლის ჩრდილოეთ და ჩრდილო-აღმოსავლეთ ნაწილებში 1978-2000 წლების პერიოდში საშუალო წლიურმა ჩამონადენმა გადამეტა ნორმას 20-30%-ით. აღნიშნულია, რომ ეს მატება იმყოფება წლიური ჩამონადენის ბუნებრივი ცვალებადობის საზღვრებში. ჩატარებული ანალიზის საფუძველზე შესრულებულია რუსეთის ტერიტორიის დარაიონება მდინარეების წლიური და სეზონური ჩამონადენის თანამედროვე ცვლილებათა ხარისხის მიხედვით. უახლოეს ათწლედებში წყლის რესურსების და პიდროლოგიური რეჟიმის მოსალოდნელ ცვლილებათა შესაფასებლად შემო-თავაზებულია მეთოდოლოგია, დაფუძნებული „კლიმატი-წყლის რესურსები“ სისტე-მაში პროცესების მოდელირებაზე. ამისათვის გამოყენებულია კლიმატური სცე-ნარები, მიღებული აგმოსფეროს ზოგადი ცირკულაციის მოდელებიდან. გაკეთებუ-ლია დასკვნა, რომლის მიხედვით XXI საუკუნის პირველ ნახევარში არ არის მო-სალოდნელი მოსახლეობის წყალუზრუნველყოფისა და ეკონომიკის გაუარესება რუსეთის უმეტეს ტერიტორიაზე.

ვარული ჩამონადენის კლება 37%-ით. ჩამონადენის მოცულობის გაზრდა გამოიწვევს ხეგატიურ შედეგებსაც – ეროზიული პროცესების ინტენსიურობისა და დვარცოფული აქტიურობის მატებას, კატასტროფული წყალდიდობების განმეორადობის ზრდას.

ემპირიულ-სტატისტიკური კავშირების გამოყენებაზე აგებულია გამოკვლევა სომხეთში მდინარული ჩამონადენის პროგნოზთან დაკავშირებით კლიმატის გლობალური ცვლილების სხვადასხვა სცენარების პირობებში [18]. შესწავლილია ჩამონადენის კავშირი ჰაერის ტემპერატურას და ატმოსფერულ ნალექებთან 10 აუზისათვის. დადგენილია, რომ მაღალმონაბეჭდის პირობებში ჩამონადენი ძირითადად ან უცვლელია, ან გააჩნია ზრდის ტენდენცია. მთისწინეთისა და მთიანი აუზებისათვის რაიმე განსაზღვრული კანონზომიერება არ გამოვლინდა.

მდინარეთა ორი ტიპიური აუზისათვის, რომლებიც მდებარეობენ აცივების (მდ. სუფსა, დასავლეთ საქართველო) და დათბობის (მდ. ხრამი, აღმოსავლეთ საქართველო) რეგიონებში, ჩატარებულია ჰაერის და ნიადაგის ტემპერატურების, წყლის ორთქლის პარციალური წნევის, შეფარდებითი სინოტივის, ნალექებისა და ჩამონადენის საუკუნოვან ცვლილებათა შეფასება [22]. მეტეოლოგიური და ჩამონადენის ცვლილების სიდიდეები განსაზღვრულია წრფივი ტრენდების აგებით, რომლებიც წარმოადგენენ ემპირიული რიგებში საშუალო თვიურ მახასიათებელთა მრავალწლიური რეკვადობის აპროქსიმაციას 1906-1995წწ პერიოდისათვის. დადგენილია, რომ მდ. სუფსას აუზში ჰაერის და ნიადაგის ტემპერატურების საუკუნოვანი კლება მიმდინარეობს ატმოსფეროს ტენშემცველობის მცირე რეკვადობისა და წყალშემკრებზე ნალექების მნიშვნელოვანი შემცირების ფონზე, რასაც თან არ ახლავს ჩამონადენის სიდიდის შესამჩნევი ცვლილება. აღნიშნული შეუსაბამობა ახსნილია თოვლის საფარში ატმოსფერული ტენის კონდენსაციის შედეგად დამატებითი წყლის მარაგის ფორმირებით.

მდ. ხრამის აუზში ჰაერის და ნიადაგის ტემპერატურების მატება აღინიშნება ატმოსფეროს ტენშემცველობის, ნალექებისა და ჩამონადენის პრაქტიკულად უცვლელი სიდიდეების პირობებში.

თითოეულ საკვლევ რაიონში ჩამონადენისა და ნალექების საშუალო თვიურ მნიშვნელობათა შორის კავშირის გამოხატვისათვის შემოთავაზებულია ემპირიულ-სტატისტიკური გამოსახულებანი.

მეორე მიდგომის თანახმად რიგ შრომებში [14,23-32] კლიმატწარმომქმნელ ფაქტორების ცვლილებაზე მდინარეთა ჩამონადენის რეაქციის რეგიონალურ თავისებურებათა შესწავლისათვის გამოყენებულია ჩამონადენის ფორმირების მათვატიკური მოდელები. მაგალითად, [30]-ში დამუშავებულია წყლის ბალანსის სტოქასტიკური მოდელი, რომელიც იძლევა საშუალებას გამოთვლილ იქნას ჩამონადენის შიდაწლიური განაწილება თვეების მიხედვით. იგი აკმაყოფილებს შემდეგ ძირითად მოთხოვნებს: ა) შემომავალი პარამეტრები წარმოადგენენ მეტეოროლოგიურ და ჰიდროლოგიურ დაკვირვებათა სტანდარტულ მონაცემებს; ბ) იგულისხმება, რომ ცნობილია კლიმატური ელემენტებისა და ზედაპირული პროცესების რიგი გასაშუალებული მახასიათებლები; გ) მოდელის საკალიბრო პარამეტრების რიცხვი მცირეა; დ) კლიმატის ცვლილებათა მიმართ წყლის ბალანსის მგრძნობიარობის დადგენა შესაძლებელია ალტერნატიული კლიმატური სცენარების მიხედვით, რომლებსაც საფუძვლად უდევს “ისტორიული” მონაცემები. სხვადასხვა სცენარების გათვალისწინება ხდება მოდელის შემავალი პარამეტრების საშუალებით. მოდელის სტოქასტიკურობას განაპირობებს წყლის ბალანსის კომპონენტთა, აგრეთვე შემომავალი და გამომავალი პარამეტრების აღწერა ალბათობათა განაწილებებით. მოდელი გამოყენებულია ევროპისა და აფრიკის ზოგიერთი მდინარის ჩამონადენის მგრძნობიარობის დასადგენად წყალშემკრებზე ჰაერის ტემპერატურისა და ნალექთა ჯამების კლიმატურ ცვლილებათა მიმართ.

[24,25,28]-ში ყაზახეთის პირობებისათვის გამოკვლეულია ჰავის ანთროპოგენულ ცვლილებათა შესაძლო გავლენა მდინარეების ჩამონადენზე, ზედაპირული წყლების რესურსებზე. ამისათვის გამოყენებულია მთის მდინარეთა ჩამონადენის ფორმირების მათემატიკური მოდელი, დამუშავებული [40]-ში. იგი აღწერს თოვლდაგროვების პროცესებს, წვიმის მოსვლას წყალშემკრებზე, ჯამურ აორ-თქლებას, აქტიური ტენბრუნვის ზონაში წყლის მარაგის ცვლილებებს, ნიადაგ-გრუნტის გაყინვას და გალდობას, ატმოსფერული ნალექების დაკავებას მცენარეული საფარით, ზედაპირული, ნიადაგ-გრუნტოვანი და გრუნტოვანი ჩამონადენის ფორმირებას, მდინარის ქსელში წყლის მიდინებას, ჩამკეტ კვეთში ჩამონადენით მის ტრანსფორმაციას. მოდელის ძირითად შემავალ პარამეტრებს წარმოადგენენ ტემპერატურისა და ნალექთა ჯამების დღედამური საშუალო მნიშვნელობები. მოდ-ელირება წარმოებს 24-საათიანი დროითი ინტერვალებით. შესაძლებელია მოდელის პარამეტრების შეცვლა ზონალური სიმაღლეების, მთის ფერდობების დახრილობისა და ექსპოზიციის, ქვეფანილი ზედაპირის ხასიათის (ღია, ტყიანი, მყინვარული და სხვ.) მიხედვით. გამოყენებულია კლიმატური სცენარის სხვადასხვა ვარიანტი, რო-მელიც მიღებულია ატმოსფეროს ზოგადი ცირკულაციის მოდელირების შედეგად და ითვალისწინებს ჰაერის ტემპერატურისა და ნალექთა ჯამების ცვლილებას ატ-მოსფეროში ნახშირორუნგის კონცენტრაციის გაორკეცებისას [33]. ყველაზე მისაღები კლიმატური სცენარის გათვალისწინებით აღნიშნულია ყაზახეთის ზედა-პირული წყლის რესურსების საგრძნობი შემცირება, რომელიც ყველაზე მკვეთრად გამოხატულია უხვწყლიან წლებში. ეს კი იწვევს ასეთი წლების განმეორადობის შემცირებას.

[23]-ში განხილულია თვის წყლის ბალანსზე აგებული მოდელი, რომელიც იძლევა საშუალებას გამოთვლილი იქნას წყლიანობის დანაკარგები, წვიმის და თოვლის ნადნობი ჩამონადენი, აორთქლება, ნიადაგში ტენის ცვლილება, მისი ფილტრაცია და მიწისქვეშა წყლების მარაგი, აგრეთვე, საბაზისო ჩამონადენის მნიშვნელობა რეგულარული ბადის საკვანძო წერტილებში. მოდელის პარამეტ-რების იდენტიფიკაციისათვის შესაძლებელია გამოყენებული იყოს ოპტიმიზაციის მეთოდები. წარმოდგენილია თანამედროვე მდგომარეობის მიმართ წყლის ბალანსის ელემენტების ანომალიების შეფასების შედეგები მდ. კოლგა – კოლგოგრადის კვეთში.

ატმოსფეროს ზოგადი ცირკულაციის მოდელების საფუძველზე განხილულია სამხრეთ-აღმოსავლეთ აზიის ტერიტორიის დატენიანების სცენარი 2050 წლის დონისათვის [29]. აღინიშნება, რომ მოსალოდნელია ნალექების შემცირება, აორ-თქლების ზრდა, ჩამონადენის კლება. ზოგადად შემცირდება წყლის რესურსები და გაზრდება საირიგაციო მოხსოვნები.

[31]-ში პიდრომეტეოროლოგიურ მონაცემთა გამოყენებით ჩატარებულია წყლის ბალანსის ტიპის მოდელის კალიბრება, რომელიც გამოყენებულია მდ. ალი-აკმონის აუზისათვის ჩრდილოეთ საბერძნებელში. კლიმატის ცვლილების სხვადასხვა სცენარებისათვის შეფასებულია ჩამონადენის რყევა 2020, 2032, 2050 და 2100 წლების დონეებისათვის. ყველა რეალური კლიმატური სცენარისათვის მიღებულია წლის და ზამთრის საშუალო ჩამონადენის შემცირება. განხილული აუზებისათვის მოსალოდნელია მშრალი და ტენიანი პერიოდების ცვლილებები.

ზემოთ მოცემულ მიმოხილვაში განხილულ სამუშაოთა შედეგების გათ-ვალისწინებით შემდგომ კვლევებში გამოყენებული იქნება ორივე მიდგომის ელე-მეტები. კერძოდ, კლიმატურ ცვლილებათა მიმართ საქართველოს მდინარეთა ჩამონადენის მგრძნობიარობა (მოწყვლადობა [34]) შესწავლილი იქნება ჩამონადენის ფორმირების ემპირიულ-სტატისტიკური და წყალბალანსური ტიპის მოდელების საფუძველზე. ჩამონადენის შესაძლო ცვლილებათა პროგნოზისათვის გამოყენებულ კლიმატურ სცენარებში კი შეტანილი იქნება ჰავის მაფორმირებელი ელემენტების

ცვლილებათა ტენდენციები, რომლებიც მიღებულია ემპირიული მონაცემების სტატისტიკური ანალიზის საფუძველზე [1-9].

როგორც ვიცით, ზედაპირული წყლის რესურსების მარაგს ცალსახად განსაზღვრავენ მდინარეთა წლიური ჩამონადენის ჯამური სიდიდით, მყინვარებში, ტბებში, წყალსაცავებში, ჭაობებში დაგროვილი წყლის მოცულობით. კლიმატის ცვლილების პირობებში წყლის რესურსების, როგორც ბუნებრივი ეკოსისტემის ერთერთი კომპონენტის, მოწყვლადობის ინდიკატორია ჩამონადენის ცვლილების სიდიდეს სხვადასხვა აუზებისათვის ეს სიდიდე განსხვავდება ერთმანეთისაგან, რადგან ის გამოხატავს წყალშემკრების, როგორც ფიზიკური სისტემის განსხვავებულ რეაქციას მასზე მიმდინარე კლიმატურ გარიაციებზე. ამრიგად ჩამონადენის მგრძნობიარობა განისაზღვრება მისი ცვლილებით, რაც გამოწვეულია აუზის დამახასიათებელი პაერის და ნიადაგის ტემპერატურების, ნალექთა რაოდენობის, ატმოსფეროში და ნიადაგში არსებული ტენშემცველობის, რადიაციული ბალანსის და სხვა კლიმატური მახასიათებლების ცვლილებით. ამიტომ, როგორც ეს ქვემოთ არის ნაჩვენები, ჩამონადენის მგრძნობიარობის ინდიკატორია ჩამონადენის ცვლილების სიჩქარე შესაბამისი კლიმატური მახასიათებლის ვარირების პირობებში.

ცნობილია, რომ ჩამონადენი წარმოადგენს წყალშემკრებზე კლიმატური ფაქტორებისა და ბუნებრივი ლანდშაფტის ელემენტთა ერთობლივი მოქმედების ინტეგრალურ შედეგს. უცვლელი ლანდშაფტის პირობებში ჩამონადენის მნიშვნელობა მთლიანად განისაზღვრება კლიმატური მახასიათებლებით (ძირითადათ ტემპერატურით და ნალექებით). ამიტომ, კლიმატის ცვლილება იწვევს ჩამონადენის ცვლილებას. ნაშრომებში [30,37] მოცემულია კლიმატური პარამეტრების ცვლილებათა მიმართ მდინარეული ჩამონადენის მგრძნობიარობის შეფასების მეთოდიკა. კერძოდ, თუ წყალშემკრებს განვიხილავთ როგორც ფიზიკურ სისტემას, რომლის ინტეგრალური მახასიათებელი – ჩამონადენი

$$y = f(x_1, x_2, \dots, x_n) \quad (1.1)$$

რეაგირებს მასში შემავალი x_1, x_2, \dots, x_n პარამეტრების (ნალექები, ტემპერატურა, რადიაციული ბალანსი, სინოტივე ატმოსფეროში, ლრუბლიანობა და სხვ.) ცვლილებაზე, მაშინ მგრძნობიარობა ცალკეული პარამეტრის მიმართ შეიძლება რაოდენობრივად დავახასიათოდ კერძო წარმოებულით

$$\left(\frac{\partial f}{\partial x_i} \right)_{x_1=x_{10}, \dots, x_n=x_{n_0}}, \quad i=1, 2, \dots, n. \quad (1.2)$$

აქ ნულოვანი ინდექსით აღნიშნულია სისტემის შემავალი პარამეტრების საბაზისო მნიშვნელობები, რომლებიც შეესაბამებიან კლიმატური ცვლილების დასაწყისს. ფიზიკური სისტემის ინტეგრალური მახასიათებლის ცვლილება განისაზღვრება მისი სრული დიფერენციალით

$$dy = \sum_{i=1}^n \left(\frac{\partial f}{\partial x_i} \right)_0 dx_i. \quad (1.3)$$

ამრიგად, თითოეული $\left(\frac{\partial f}{\partial x_i} \right)_0$ კერძო წარმოებულის მნიშვნელობა ახასიათებს სის-

ტემის მგრძნობიარობას i -ური პარამეტრის ცვლილების მიმართ, ხოლო dx_i მოიცემა კლიმატის ცვლილების კონკრეტული სცენარით. კერძოდ, ეს სცენარი, მაგალითად, შეიძლება ითვალისწინებდეს მოცემულ რეგიონში (რაიონში) დაკვირვებათა მონაცემების ანალიზის შედეგს [2,3,16,22,35,36]. ნაშრომში [37] წარმოდგენილი მეთოდიკა რეალიზებულია ჩამონადენის ფორმირების დატიურკის მოდელის საშუ-

ალებით, რომელიც ემყარება წყლის ბალანსის განტოლებას და ფართოდ გამოყენება წყლის რესურსების შეფასებისას [38]. შევნიშნავთ, რომ არავითარი შეზღუდვა მოდელის ტიპის მიმართ არ არსებობს. იგი შეიძლება იყოს, როგორც ემპირიულ-სტატისტიკური, ასევე დეტერმინისტური და იძლეოდეს საშუალებას (1.1) ფუნქციონალური კავშირის ცხადი (ანალიზური) სახით წარმოდგენისა.

მეთოდიკა გამოყენებული იქნება საქართველოს ძირითადი მდინარეების თოთოველი წყალშემკრებისათვის, რაც საშუალებას მოგვცემს არა მარტო რაოდენობრივად შევაფასოდ ჩამონადენის მგრძნობიარობა ცალკეული აუზების მიხედვით, არამედ გავცეთ მისი ცვლილების პროგნოზი განსაზღვრული კლიმატური სცენარის მიხედვით.

კლიმატის ცვლილებასთან დაკავშირებული IPCC-ის განმარტების თანახმად, ასევე ტერმინოლოგიის განმარტებით ლეპსიკონში [34], ფიზიკური (მაგალითად, კლიმატური) სისტემის მოწყვლადობა განსაზღვრულია როგორც მისი მგრძნობიარობისა და შეგუების უნარის ერთობლივი ფუნქცია. ამასთან დაკავშირებით შევნიშნავთ, რომ ჩამონადენის შემთხვევაში წყალშემკრების, როგორც ბუნებრივი სისტემის, ადაპტაცია გამოიხატება ჩამონადენის ცვლილების სიდიდეში, რომელიც წარმოადგენს რეაქციას კლიმატური პარამეტრების ვარირებაზე. ამიტომ, ჩამონადენის მგრძნობიარობას განვსაზღვრავთ კერძო წარმოებულებით $\left(\frac{\partial f}{\partial x_i}\right)_i$,

ხოლო მის მოწყვლადობას - სრული დიფერენციალით df .

მეორეს მხრივ IPCC-ის მიერ მიღებული განსაზღვრის თანახმად მგრძნობიარობა არის კლიმატის ცვლილებასთან დაკავშირებული ბუნებრივ ან ანთროპოგენურ სისტემაზე არასასურველი თუ სასურველი ზემოქმედების ხარისხი (სიდიდე). შედეგი ამ ზემოქმედებისა შეიძლება იყოს უშუალო, მაგალითად, ჩამონადენის ცვლილება, ასევე შეიძლება იყოს მეორადი, მაგალითად, ზარალი, გამოწვეული წყალმოვარდნების/წყალდიდობების სიხშირის ზრდით. ეს განსაზღვრა სრულ თანხმობაშია ზევით მოყვანილ მგრძნობიარობის შეფასების მათემატიკურ ფორმულირებასთან: ჩამონადენის მგრძნობიარობა რაიმე კლიმატური მახასიათებლის მიმართ განსაზღვრულია როგორც ჩამონადენის ცვლილების სიჩქარე ამ მახასიათებლის ვარირებისას. მოწყვლადობა კი განმარტებულია როგორც კლიმატის ცვლილების ნებატიური შედეგების მიმართ (კლიმატის ცვლილებისა და ექსტრემალური მოვლენების ჩათვლით) ბუნებრივი ან ანთროპოგენური სისტემის მგრძნობიარობის ან შეუგუებლობის ხარისხის საზომი. სხვანაირად, მოწყვლადობა არის ფიზიკურ სისტემაზე მოქმედი კლიმატის ცვალებადობის ხასიათის, სიდიდისა და სიჩქარის, ამ სისტემის მგრძნობიარობისა და ადაპტაციის უნარის ერთობლივი ფუნქცია:

$$V=R-A \quad . \quad (1.4)$$

აქ V – მოწყვლადობა (მგრძნობიარობა), R – კლიმატური რისკებია, ხოლო A – ადაპტაციის უნარი, ანუ სისტემის თვისება შეგურს კლიმატის ცვალებადობას.

(1.4)-ში შემავალი კლიმატური რისკები განსაზღვრულია როგორც

$$R=HV, \quad (1.5)$$

სადაც H – ექსტრემალური მოვლენის რისკია (ხდომილება), ე.ი. მოვლენის მოხდენის ალბათობა, ხოლო V – მოწყვლადობა. (1.5)-ის ჩასმით (1.4)-ში ვდებულობთ

$$V=HV-A, \quad (1.6)$$

საიდანაც ადაპტაციისათვის მიიღება შემდეგი გამოსახულება

$$A=HV-(H-1)V. \quad (1.7)$$

რადგან $0 \leq H \leq 1$, ამიტომ $H-1 < 0$ და $A < 0$. გადავწეროთ ადაპტაციის გამოსახულება შემდეგი სახით

$$A=-(1-H)V, \quad (1.8)$$

აქ უკვე $1-H>0$ და \dot{V} -ის ნიშნადობის ხდომილების ნიშნადობის დონეს, ე.ი. მოვლენის მოხდენის ნიშნადობას.

1.2.ჩამონადენის ემპირიულ—სტატისტიკური მოდელის აგება

- (ა) ჩამონადენის ემპირიულ—სტატისტიკური მოდელის ასაგებად პირველ და აუცილებელ ეტაპს \dot{V} -ის ნიშნადობის დონეზე და მეტეოსადგურების, მეტეოპუნქტების და ჰიდროლოგიური საგუშავოების დაკვირვებათა მონაცემების შეგროვება, მრავალწლიანი დონოთი რიგების გრაფიკული \dot{V} -ის ნიშნადობის (რყევების წრფივი აპროქსიმაცია) გამოყოფით. ასევე, ჩატარდება კორელაციურ—რეგრესიული ანალიზი (1.1) ტიპის მრავალცვლადიანი რეგრესიული განტოლებების მისაღებად, რომლებიც ჩამონადენის ჩამკეტ კვეთში დააკავშირებენ \dot{V} -ის ნიშნადენისათვის დამახასიათებელ კლიმატურ პარამეტრებთან – მაგალითად, პარამეტრის ტემპერატურასა და ნალექთა ჯამებთან.
- (ბ) როგორც იყო აღნიშნული, მდინარეების ჩამონადენზე კლიმატურ ცვლილებათა გავლენის შეფასებისათვის დიდი მნიშვნელობა ენიჭება \dot{V} -ის ნიშნადენის ისეთ ჰიდრომეტეოროლოგიურ მახასიათებლებს შორის კავშირის დადგენას, როგორიცაა პარამეტრის t , ნალექები (P) და ჩამონადენი (R). ცნობილია, რომ ისინი მთიან რეგიონებში იცვლებიან ადგილის სიმაღლის მიხედვით (H) და მათ ცვალებადობას ხშირად გამოხატავენ ფორმულებით

$$t = f_1(H), \quad P = f_2(H), \quad R = f_3(H) \quad (1.9)$$

თუ პირველ ფუნქციონალურ კავშირს განვიხილავთ როგორც განტოლებას H -ის მიმართ და ამოგხსნით მას, მივიღებთ $H = f_1^{-1}(t)$, სადაც f_1^{-1} აღნიშნავს f_1 -ის შებრუნებულ ფუნქციას. ეს გვაძლევს საშუალებას, თანახმად (1.9)-სა, P და R \dot{V} -ის ნიშნადენის ფუნქციები:

$$P = f_2[f_1^{-1}(t)] = \varphi_1(t) \quad \text{და} \quad R = f_3[f_1^{-1}] = \varphi_2(t) \quad (1.10)$$

ასეთი სახის დამოკიდებულებებს დიდი თეორიული და პრაქტიკული მნიშვნელობა აქვთ, რადგან, როგორც \dot{V} -ის, უფრო მეტი ინფორმაცია გაგვაჩნია სწორედ ტემპერატურაზე.

- (გ) თუ ცნობილია (1.10)-ის ტიპის ანალიზური ფუნქციები, მაშინ მათი გამოკლებით შეიძლება მივიღოთ

$$R = P + \varphi_2(t) - \varphi_1(t), \quad (1.11)$$

და განვხაზდვროთ ჩამონადენი როგორც ნალექთა ჯამების და ტემპერატურის ფუნქცია:

$$R = P + \varphi_2(t) - \varphi_1(t) \equiv R(P, t) \quad (1.11)$$

- (ა)-ს გათვალისწინებით იგივე დამოკიდებულების მიღება შეიძლება, თუ ცნობილია სტატისტიკური კავშირები ჩამონადენისა ცალ-ცალკე ნალექებთან და ტემპერატურასთან, ე.ი.

$$R = f(P), \quad (1.13)$$

$$R = \varphi(t). \quad (1.14)$$

მაშინ (1.13)-ის და (1.14)-ის შეკრებით გლებულობთ

$$2R = f(P) + \varphi(t), \quad (1.15)$$

საიდანაც

$$R = \frac{1}{2} [f(P) + \varphi(t)] \equiv R(P, t). \quad (1.16)$$

იგივე (1.16) დამოკიდებულების მიღება შესაძლებელია, ასევე, უშუალოდ მრავალცვლადიანი რეგრესიული კავშირის დადგენით.

1.3.ჩამონადენის წყალბალანსური მოდელების აგება

განვიხილოთ ჩამონადენის ფორმირების მათემატიკური მოდელი, რომელიც ემყარება წყლის ბალანსის განტოლებას და ფართოდ გამოიყენება რეგიონალური წყლის ბალანსის და რესურსების დადგენისას[40,39,41]:

$$R = P - E . \quad (1.17)$$

აქ R – მდინარის ჩამონადენია, P – წყალშემკრებზე მოსული ნალექების ჯამი, E – აორთქლება. წყლის ბალანსის კველა კომპონენტი ამ შემთხვევაში განსაზღვრავს მის საშუალო წლიურ მნიშვნელობას და მოიცემა მმ-ში. თუ აორთქლების სიდიდის განსაზღვრისათვის გამოვიყენებოთ ლ.ტიურკის [38] ან მ.ბუდიკოს [42] ფორმულებს, მაშინ (1.17) განტოლების მარჯვენა მხარე გამოისახება კლიმატის ძირითადი მაფორმირებელი პარამეტრებით (ჰაერის და ნიადაგის ტემპერატურები, ნალექთა ჯამები, წყლის ორთქლის დრეკადობა, რადიაციული ბალანსი და სხვ.). ეს კი საშუალებას იძლევა გამოთვლილ იქნას (1.2) და (1.3) გამოსახულებათა მნიშვნელობები და საბოლოოდ დადგენილ იქნას ჩამონადენის მგრძნობიარობა კლიმატის მახასიათებლების ცვლილებათა მიმართ.

1.3.1 ლ.ტიურკის მოდელი

ამ შემთხვევაში წყლის ბალანსის (1.17) განტოლებას შემდეგი სახე აქვს:

$$R = P \left[1 - \frac{L}{\sqrt{cL^2 + P^2}} \right] , \quad (1.18)$$

სადაც $L = 300 + 25T_1 + 0.05T_1^3$. აქ T_1 – ჰაერის ტემპერატურაა ($^{\circ}\text{C}$), ხოლო c – მოდელის საკალიბრო მუდმივა. თუ კონკრეტული აუზისათვის გვეცოდინება წყალშემკრებზე მოსული ნალექთა ჯამების დამახასიათებელი T_1 ჰაერის ტემპერატურისა და ჩამპეტ კვეთში ჩამონადენის ფენის საშუალო წლიური კლიმატური მნიშვნელობები, მაშინ მოდელის c საკალიბრო მუდმივა შეიძლება განისაზღვროს გამოსახულებით:

$$c = \frac{P^2(L - P + R)(L + P - R)}{L^2(P - R)^2} . \quad (1.19)$$

ლ.ტიურკის მოდელის შემთხვევაში (1.3) განტოლება მიიღებს შემდეგ სახეს:

$$dR = (\partial R / \partial P)_0 dP + (\partial R / \partial T_1)_0 dT_1 . \quad (1.20)$$

სადაც (1.2) და (1.18)-ის გათვალისწინებით ვდებულობთ:

$$\frac{\partial R}{\partial P} = 1 - \frac{L}{\sqrt{cL^2 + P^2}} + \frac{LP^2}{(cL^2 + P^2)\sqrt{cL^2 + P^2}} , \quad (1.21)$$

$$\frac{\partial R}{\partial T_1} = - \frac{(cL^2 + P^2)^{1/2} - cL^2(cL^2 + P^2)^{-1/2}}{cL^2 + P^2} \quad P(25 + 0.15T_1^2) . \quad (1.22)$$

1.3.2. მ.ბუდიკოს მოდელი

ამ შემთხვევაში წყლის ბალანსის (1.17) განტოლებას შემდეგი სახე აქვს:

$$R = P - \sqrt{crP[1 - \exp(-r/P)]\ln(P/r)} , \quad (1.23)$$

სადაც $r=12.61[(1-A)Q-F]$ – აუზის ქვეფენილი ზედაპირის რადიაციული ბალანსია, რომელიც გადამყვანი კოეფიციენტის საშუალებით მოიცემა მმ-ში. Q – მოკლეტალდოვანი (პირდაპირი და გაბნეული რადიაციული ნაკადების ჯამი) და F – გრძელტალდოვანი (ეფექტური გამოსხივება) ბალანსის მდგრელებია გამოსახული ვტ/მ²-ში, A – ქვეფენილი ზედაპირის ალბედო, c – მოდელის

საკალიბრო მუდმივა. R, P და r-ის ცნობილ კლიმატურ მნიშვნელობებისათვის საკალიბრო მუდმივას გამოთვლა შეიძლება ფორმულით

$$c = \frac{(P - R)^2}{rP[1 - \exp(-r/P)]\text{th}(P/r)} . \quad (1.24)$$

მაგრამ მოდელის შემთხვევაში (1.3) განტოლება მიიღებს შემდეგ სახეს:

$$dR = (\partial R / \partial P)_0 dP + (\partial R / \partial r)_0 dr , \quad (1.25)$$

სადაც (1.2) და (1.23)-ის გათვალისწინებით ვდებულობთ:

$$\frac{\partial R}{\partial P} = 1 - \frac{cr}{2} \frac{[1 - \exp(-r/P)]\text{th}(P/r) - \frac{r}{P} \exp(-r/P)\text{th}(\frac{P}{r}) + \frac{P}{r} \frac{1 - \exp(-r/P)}{\text{ch}^2(P/r)}}{\sqrt{crP[1 - \exp(-r/P)]\text{th}(P/r)}} , \quad (1.26)$$

$$\frac{\partial R}{\partial r} = -\frac{cP}{2} \frac{[1 - \exp(-r/P)]\text{th}(P/r) + \frac{r}{P} \exp(-r/P)\text{th}(\frac{P}{r}) - \frac{P}{r} \frac{1 - \exp(-r/P)}{\text{ch}^2(P/r)}}{\sqrt{crP[1 - \exp(-r/P)]\text{th}(P/r)}} . \quad (1.27)$$

მივიღოთ (1.25)-ში შემავალი dr-ის გამოსახულება ცხადი სახით. ამისათვის მივმართოთ r-ის მნიშვნელობას და მოვნახოთ მისი დიფერენციალი. ჩავთვალოთ, რომ ალბედოს ცვლილებას ადგილი არა აქვს, ე.ი. აუზის ქვეფენილი ზედაპირი დროთა განმავლობაში არ განიცდის საგრძნობ ტრანსფორმაციას. მაშინ გვექნება

$$dr = 12.61[(1 - A)dQ - dF] . \quad (1.28)$$

შევნიშნოთ, რომ ალბედოს ცვლილების გათვალისწინება არ ქმნის დიდ გამოთვლით სიძელეებს.

[44]-ში მოცემულ გამოსახულებათა საფუძველზე გვექნება:

$$Q = Q^0[0.8 - 0.7\exp(-ax)] ,$$

სადაც

$$\begin{aligned} a &= 1.0 - 0.255\sqrt{e}, \\ x &= (1.1 - n)D, \\ n &= \frac{n_1 + n_2}{2}. \end{aligned} \quad (1.29)$$

აქ e და D შესაბამისად ატმოსფეროში წყლის ორთქლის დრეკადობაა და სინეტივის დეფიციტი მბ-ში, n₁ და n₂ – საერთო მოღრუბლელობისა და ქვედა იარუსის დრუბლიანობის ბალებია (ერთის ნაწილებში). (1.29) ფორმულის გამოცდა თბილისის მონაცემებზე (e=10.5მბ, D=7.1მბ, n₁=0.62, n₂=0.40, Q⁰≈349 კტ/მ²) გვაძლევს Q=161.2 კტ/მ², რაც ერთი პროცენტის ცდომილების ფარგლებშია Q-ს ნამდვილ მნიშვნელობასთან [43]. ამრიგად dQ დადგენა შეიძლება (1.29)-ის დიფერენცირებით, თუ მოცემული აუზისათვის ცნობილია წყლის ორთქლის დრეკადობის de, სინოტივის დეფიციტის dD და დრუბლიანობის dn საუკუნეობრივ ცვლილებათა სიდიდეები. ამ შემთხვევაში გვექნება :

$$dQ = (\frac{\partial Q}{\partial e})_0 de + (\frac{\partial Q}{\partial D})_0 dD + (\frac{\partial Q}{\partial n})_0 dn , \quad (1.30)$$

სადაც

$$\frac{Q}{\alpha} = -0.089 \frac{Q^0 x \exp(-ax)}{\sqrt{e}},$$

$$\frac{\partial Q}{\partial D} = 0.7 Q^0 a (1.1 - n) \exp(-ax),$$

$$\frac{\partial Q}{\partial n} = -0.7 Q^0 a D \exp(-ax),$$

$$dn = \frac{dn_1 + dn_2}{2}.$$

პირველ მიახლოებაში შეიძლება მივიღოთ $dQ=0$, რაც იმას ნიშნავს, რომ (1.28)-ში ძირითადი წვლილი შეაქვს რადიაციული ბალანსის გრძელტალღოვანი მდგენელის (ეფექტური გამოსხივების ნაკადის) ცვლილებას
 $dr=-12.61dF$. (1.31)

ვისარგებლოთ [44]-ში მოცემული F-ის გამოსათვლელი ემპირიული ფორმულით

$$F = \delta \sigma (1 - c_1 n_1) [T_0^4 - T_1^4 (a_1 + b_1 \sqrt{e})], \quad (1.32)$$

სადაც $\delta = 0.95 \div 0.99 \approx 0.97$ – შთანთქმის ფარდობითი კოეფიციენტია (ქვეფენილი ზედაპირის შთანთქმის უნარიანობა), $r = 5.67 \times 10^{-8}$ $\text{გგ}/(\text{მ}^2 \text{xK}^4)$ სტეფან–ბოლცმანის მუდმივა, $c_1 = 0.70$, – ემპირიული კოეფიციენტი (აღებული საქართველოს პირობებისათვის). n_1 – დრუბლიანობის საერთო ბალი (ერთის ნაწილებში). T_0 და T_1 – შესაბამისად ნიადაგის და ჰაერის ტემპერატურები (^0K), $a_1 = 0.526$ და $b_1 = 0.065$ – ემპირიული კოეფიციენტებია, თუ წყლის ორთქლის დრეკაღობა e აღებულია მბ-ში.

(1.32)-ში თბილისისათვის დამახასიათებელ მეტეოროლოგიურ ელემენტთა კლიმატურ მნიშვნელობების ჩასმით ($T_0 = 288^0\text{K}$, $T_1 = 285.8^0\text{K}$, $n_1 = 0.62$, $e = 10.5$ მბ), მივიღებთ $F = 60.7 \text{ გგ}/\text{მ}^2$, რაც კარგ თანხვედრაშია მის გაზომილ მნიშვნელობასთან ($F = 61.3 \text{ გგ}/\text{მ}^2$) – ცდომილება არ აღემატება 1%-ს [43].

(1.31)-ში შემავალი dF -სათვის, (1.32)-ის გათვალისწინებით, ვღებულობთ

$$dF = (\frac{\partial F}{\partial a_1})_0 dn_1 + (\frac{\partial F}{\partial T_0})_0 dT_0 + (\frac{\partial F}{\partial T_1})_0 dT_1 + (\frac{\partial F}{\partial e})_0 de, \quad (1.33)$$

სადაც

$$\frac{\partial F}{\partial a_1} = -\delta \sigma c_1 [T_0^4 - T_1^4 (a_1 + b_1 \sqrt{e})],$$

$$\frac{\partial F}{\partial T_0} = 4\delta \sigma (1 - c_1 n_1) T_0^3,$$

$$\frac{\partial F}{\partial T_1} = -4\delta \sigma (1 - c_1 n_1) T_1^3 (a_1 + b_1 \sqrt{e}),$$

$$\frac{\partial F}{\partial e} = -\delta \sigma (1 - c_1 n_1) T_1^4 \frac{b_1}{2\sqrt{e}}.$$

თუ ცნობები ნიადაგის ტემპერატურაზე არ გაგვაჩნია, შეიძლება ვისარგებლოთ F-ის გამარტივებული ფორმულით [45]:

$$F = (a_2 - b_1 \sqrt{e}) \sigma T_1^4, \quad (1.34)$$

სადაც $a_2 = 0.37$ და $b_1 = 0.065$, თუ e მოცემულია მბ-ში. მაშინ

$$dF = (\frac{\partial F}{\partial e})_0 de + (\frac{\partial F}{\partial T_1})_0 dT_1,$$

სადაც

$$\begin{aligned}\frac{\mathbf{F}}{\hat{\mathbf{e}}} &= -\frac{\mathbf{b}_1 \sigma T_1^4}{2\sqrt{e}}, \\ \frac{\mathbf{F}}{T_1} &= -4\mathbf{b}_1 \sqrt{e} \sigma T_1^3.\end{aligned}\quad (1.35)$$

(1.34) ფორმულის გამოცდა თბილისის მონაცემებზე ($e=10.5$ მბ, $T_1=286^0\text{K}$) გვაძლევს ეფექტური გამოსხივებისათვის $F=60.7$ ვტ/მ², რაც აგრეთვე ერთი პროცენტის სიზუსტის ფარგლებშია გაზომილ სიდიდესთან შედარებით ($F=61.3$ ვტ/მ²).

ამრიგად, თუ ლტიურკის მოდელის შემთხვევაში ჩამონადენის მგრძნობიარობის ინდიკატორია ჩამონადენის ცვლილების სიჩქარე შესაბამისად ტემპერატურისა და ნალექების ვარირებისას, მ.ბუდიკოს მოდელის მიხედვით ამ ინდიკატორებს კიდევ ემატება ჩამონადენის ცვლილების სიჩქარე ნიადაგის ტემპერატურის, წყლის ორთქლის დრეკადობის, სინოტივის დეფიციტის, საერთო მოღრუბლულობის და ქვედა იარუსის დრუბლიანობის ცვლილებათა მიხედვით. წყალბალანსური ორივე მოდელით მიღებული ჩამონადენის ცვლილების სიჩქარეთა ნიშნის მიხედვით ვდებულობთ, რომ ჩამონადენის მატება (კლება) ფიქსირდება ნიადაგის და ჰაერის ტემპერატურების, აგრეთვე ატმოსფეროში სინოტივის დეფიციტის კლების (მატების) პირობებში. ჩამონადენის მატებას (კლებას), აგრეთვე, ხელს უწყობს ნალექთა ჯამების, ატმოსფეროში წყლის ორთქლის დრეკადობის, საერთო დრუბლიანობისა და ქვედა იარუსის დრუბლიანობის ზრდა (შემცირება).

რადგან წლიური ჩამონადენის ფორმირების მოდელებს საფუძვლად დაედება ნალექთა ჯამების და ჰაერის ტემპერატურის ანალიზური ტიპის ფუნქციები

$$R = f(P, t), \quad (1.36)$$

ჩამონადენის ცვლილების დასადგენად შეიძლება ვისარგებლოთ (1.3) გამოსახულებით, რომლის თანახმად ვღებულობთ:

$$dR = \frac{\partial R}{\partial P} dP + \frac{\partial R}{\partial t} dt. \quad (1.37)$$

აქ კერძო წარმოებულები $\frac{\partial R}{\partial P}$ და $\frac{\partial R}{\partial t}$ – განსაზღვრავენ ჩამონადენის მგრძნობიარობას (მოწყვლადობას) შესაბამისად წყალშემკრებზე მოსული ნალექებისა და ტემპერატურის ცვლილებათა მიმართ. იმისათვის, რომ რაოდენობრივად შევაფასოთ მოწყვლადობის მნიშვნელობები და, რაც მეტად მნიშვნელოვანია, შეგადაროოთ ისინი ერთმანეთს, აუცილებელი ხდება მათი უგანზომილებო სიდიდეებად წარმოდგენა. ამისათვის შემოვიდოთ ჩამონადენის, ნალექებისა და ტემპერატურის ნორმირებული მნიშვნელობები $\frac{R}{R_0}$, $\frac{P}{P_0}$, $\frac{t}{t_0}$ და ჩამონადენის ფორმირების მოდელი წარმოვადგინოთ როგორც უგანზომილებო პარამეტრების დამოკიდებულება ერთმანეთთან:

$$\frac{R}{R_0} = \varphi\left(\frac{P}{P_0}, \frac{t}{t_0}\right) \quad (1.38)$$

აქედან, ჩამონადენის ცვლილებისათვის, მსგავსად (1.37)-ისა, მიიღება

$$d\left(\frac{R}{R_0}\right) = \frac{\partial\left(\frac{R}{R_0}\right)}{\partial\left(\frac{P}{P_0}\right)} d\left(\frac{P}{P_0}\right) + \frac{\partial\left(\frac{R}{R_0}\right)}{\partial\left(\frac{t}{t_0}\right)} d\left(\frac{t}{t_0}\right), \quad (1.39)$$

საიდანაც მოწყვლადობის სიდიდეების შესაფასებლად გვექნება შემდეგი უგანზომილებო გამოსახულებები:

$$n_1 = \frac{\partial \left(\frac{R}{R_0} \right)}{\partial \left(\frac{P}{P_0} \right)} = \frac{P_0}{R_0} \frac{\partial R}{\partial P},$$

$$n_1 = \frac{\partial \left(\frac{R}{R_0} \right)}{\partial \left(\frac{t}{t_0} \right)} = \frac{t_0}{R_0} \frac{\partial R}{\partial t}.$$
(1.40)

მოწყვლადობის სიდიდეების შესადარებლად გამოვიყენებოთ შეფარდებას

$$n = \frac{n_1}{n_2} = \frac{\frac{P_0}{R_0} \frac{\partial R}{\partial P}}{\frac{t_0}{R_0} \frac{\partial R}{\partial t}} = \frac{P_0}{t_0} \frac{\partial P}{\partial t},$$
(1.41)

სადაც n – უკვე განცენებული (უგანზომილებო) რიცხვია. იგი გვიჩვენებს, თუ რამდენჯერ მეტია (ან ნაკლებია) ჩამონადენის მოწყვლადობა ნალექთა ცვლილების მიმართ ჩამონადენის მოწყვლადობაზე ტემპერატურის ცვლილებისას.

1.4.პრიორიტეტული რეგიონების მდინარეთა აუზებში ჩამონადენის მოწყვლადობის შეფასება კლიმატის გამოვლენილ ცვლილებათ მიმართ და ჩამონადენის ცვლილების კლიმატური პროგნოზი

მთიან რეგიონებში აუზების ჰიდროლოგიური რეჟიმის ერთმანეთისაგან განსხვავება გამოწევებია მათი ფიზიკურ-გეოგრაფიული და კლიმატურ-მეტეოროლოგიური პირობებით, რელიეფის თავისებურებებით, გეოლოგიური აგებულებით, წყალშემკრებზე წვიმის ან თოვლის სახით მოსული ნალექების რაოდენობით, გაზაფხულზე თოვლის დნობის სიჩქარით და ზაფხულში ნიადაგის მოქმედი ფენის ტენშემცველობით. კლიმატის დათბობისას წლის თბილ პერიოდში აორთქლების გაზრდა ხელს უწყობს არასაკმარისად დანესტიანებულ რეგიონებში არიდული პირობების ჩამოყალიბებას, ხოლო ზედმეტად დანესტიანებულ რეგიონებში – ნიადაგის ტენიანობის შემცირებას. თუ ნალექთა მატება მოსალოდნელია უპირატესად წლის ციკ პერიოდში, ამა თუ იმ აუზში ჩამოყალიბებულ თერმულ რეჟიმზე დამოკიდებულებით, გაზაფხულის დაწყებისათვის შეიძლება მოხდეს თოვლის მარაგის დამატებითი დაგროვება, ან პირიქით, თოვლის მასის შემცირება მისი ადრეული დნობით და თხევადი ნალექების წვლილის გაზრდით. ამ პროცესების შესაბამისად მოსალოდნელია ჩამონადენის გაზაფხულის მაქსიმუმის შესუსტება და მისი ნაადრევი დადგომა, რაც შეამცირებს დიდი წყალდიდობების განმეორადობას. მთიან და მაღალმთიან პირობებში ზოგიერთ წყალშემკრებზე, უარყოფითი ტემპერატურების შენარჩუნებისას, ნალექების ზრდა გამოიწვევს თოვლის მარაგის დამატებით დაგროვებას. ამ შემთხვევაში გაზაფხულზე თოვლის სწრაფი დნობის შედეგად დიდი წყალდიდობების რისკი გაიზრდება.

ამრიგად, წლიური ჩამონადენის ფორმირების და ცვალებადობის პირობების შესწავლასთან ერთად, მეტად მნიშვნელოვანია ჩამონადენის შიდაწლიური განაწილებისა და მისი ცვლილების გამოკვლევა.

პრიორიტეტული რეგიონებისა და მდინარეთა აუზების შერჩევისას გასათვალისწინებელია ჩამონადენის შედარებით ძლიერი მგრძნობიარობა კლიმატის მოსალოდნელი ცვლილების მიმართ, აგრეთვე წყლის რესურსების მოწყვლადობა, დაკავშირებული მათ ინტენსიურ გამოყენებასთან ეკონომიკის სხვადასხვა დარგებში (განსაკუთრებით სოფლის მეურნეობასა და პიდროენერგეტიკაში), პერსპექტივაში რეგიონის მზარდი სოციალურ-ეკონომიკური განვითარებით

გამოწვეული წყლის რესურსების მოხმარების ინტენსიფიკაციასთან. ამიტომ, პრიორიტეტულ რეგიონებად და მდინარეთა აუზებად შერჩეულია:

- მდ.რიონის დელტა, სადაც დაიკვირვება ძირითადი კლიმატური რისკები, დაკავშირებული უხვი ნალექებთან, წყალდიდობებთან, ზღვის დონის აწევასთან.
- ქვემო სვანეთი (ლენტების რაიონი), მდ.ცხენისწყლის აუზი ძირითადი კლიმატური რისკებით, გამოწვეული უხვი ნალექებით, წყალდიდობებით, მეწყერუბით, დვარცოფებით.
- დედოფლისწყაროს რაიონი, მოსაზღვრე მდინარეების ალაზნისა და იორის აუზები, ძირითადი კლიმატური რისკებით – გვალვა, სეტყვა, გაუდაბნოება.

1.4.1.მდინარეთა საზრდოობის პირობები

მდინარეთა ჩამონადენი წლის განმავლობაში არათანაბრადაა განაწილებული. მის შიგაწლიურ მსვლელობას განსაზღვრავენ კლიმატური ფაქტორები, პირველ რიგში ნალექები, პაერის ტემპერატურა და აორთქლება. საკმაოდ დიდია სხვა ფაქტორების გავლენაც, მაგალითად წყალშემკრები აუზის რელიეფის, გეოლოგიური აგებულების, ნიადაგისა და მცენარეული საფარის ხასიათის და სხვ.

XX საუკუნის 50-ანი წლებიდან ჩამონადენის შიგაწლიურ განაწილებაზე სულ უფრო მეტ გავლენას ახდენს ადამიანის სამუშაოები, საქმიანობა, რომელიც არღვევს წყლის ობიექტების ბუნებრივ მდგომარეობას და რეჟიმს.

ზემოთ აღნიშნული ფაქტორების ერთობლიობა განაპირობებს მდინარის ჩამონადენის ფორმებს, ე.წ. “საზრდოობის წყაროებს”, რომელიც თავის მხრივ მდინარის ჩამონადენის შიგაწლიურ განაწილებას განსაზღვრავენ.

საქართველოს მდინარეების წყლის რეჟიმი, ანალოგიურად ბუნებრივი პირობებისა, მრავალფეროვნებით ხასიათდება. აქ ძირითადად შერჩეული საზრდოობის ტიპის მდინარეებია, რაშიც მონაწილეობენ წვიმის, თოვლის, მყინვარების და მიწისქვეშა წყლები. არ გვხვდება ისეთი მდინარეები, რომლებიც ერთი რომელიმე წყაროთი საზრდოობენ, გარდა დროებითი ნაკადებისა. ისინი მხოლოდ გაზაფხულზე თოვლის დნობისა და თავსხმა წვიმების დროს წარმოიშობიან. მდინარეთა საზრდოობაში ამა თუ იმ წყაროს მონაწილეობის წვლილი იცვლება აუზის სიმაღლის, კლიმატის თავისებურებისა და ტერიტორიის გეოლოგიურ აგებულების მიხედვით და მეტად სხვადასხვაგვარია.

შერჩეულ პრიორიტეტულ რეგიონების აუზები მდინარეთა წყლიანობის რეჟიმით მიეკუთვნებიან:

- **მდინარეები გაზაფხულ-ზაფხულის წყალდიდობით.** ისინი სათავეებს იღებენ მარადიული თოვლის და სეზონური თოვლის რეგიონებში, საზრდოობა აქვთ მყინვარული, თოვლის და წვიმის წყლებით. ამ ტიპის მდინარეების რიცხვს მიეკუთვნებიან: კოდორი, ენგური, ცხენისწყლის ზემო წელი, იორი, ალაზანი და მათი შენაკადები. წყალდიდობები აქ იწყება მარტის ბოლოს, აპრილის დასაწყისში, მაქსიმუმი დაიკვირვება ივნისში და მთავრდება აგვისტოს ბოლოს;
- **მდინარეები გაზაფხულ-ზაფხულის წყალდიდობით და წვიმის წყალმოვარდნებით.** ისინი წლის განმავლობაში შერჩეული საზრდოობით ხასიათდებიან (მყინვარული, თოვლის და წვიმის), მაგრამ მყინვარული წყლებით საზრდოობის წვლილი ძალზე მცირეა. ასეთი რეჟიმით ხასიათდებიან მდინარეები: ბზიფი, კოდორი, ენგური, რიონი, ცხენისწყლის შუა წელი და მათი შენაკადები. წყალდიდობა აქ იწყება მარტში–აპრილში და მთავრდება აგვისტოში, ჩამონადენის მაქსიმუმი დგება მაის–ივლისში.

ქვემოთ მოცემულია სამივე პრიორიტეტული რეგიონის მდინარეთა პიდროლოგიური რეჟიმის კვლევის შედეგები, მათ შორის: შესწავლილია წყალშემკ-

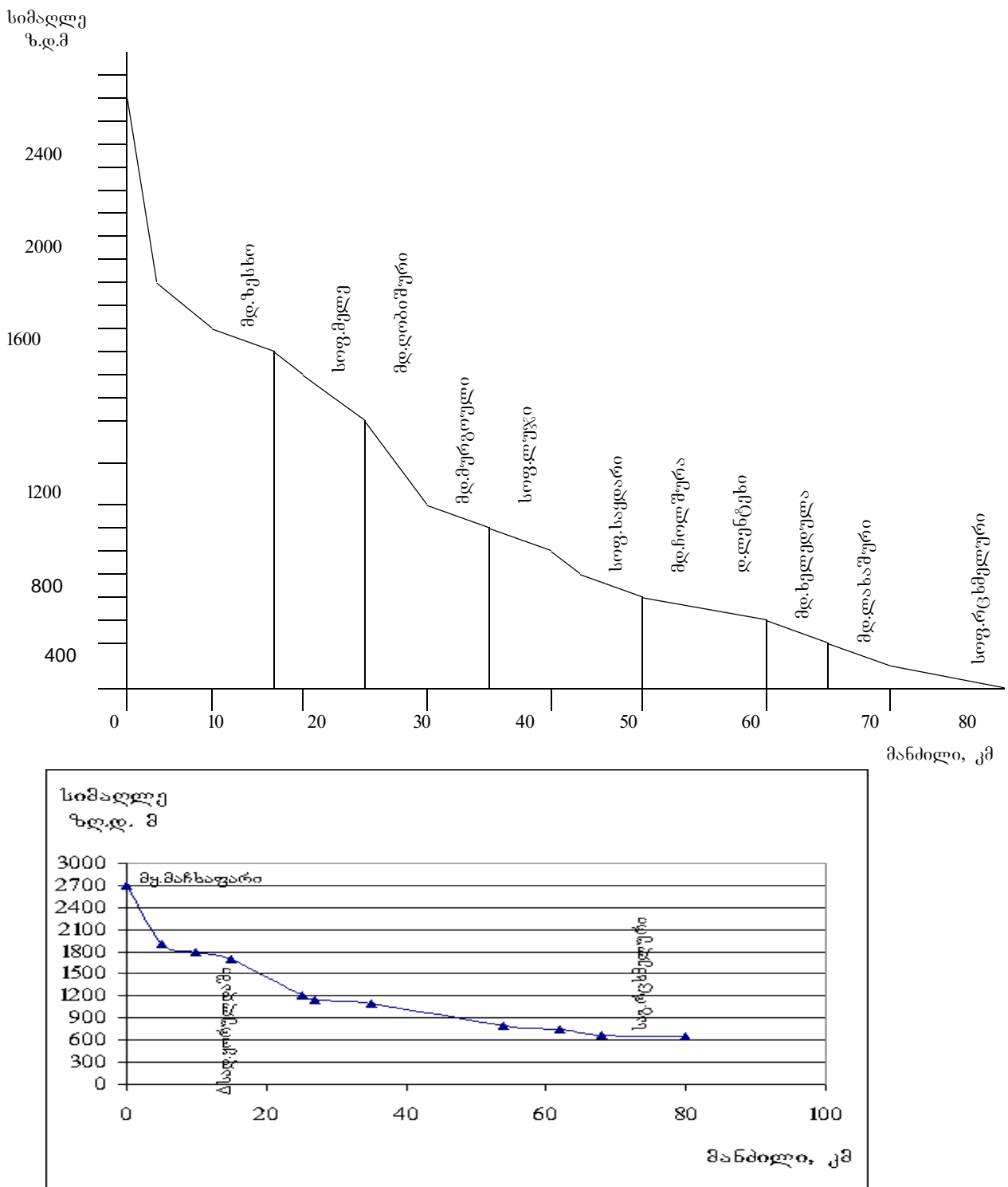
რებზე პარის ტემპერატურის, ნალექთა ჯამების და ჩამონადენის დინამიკა, აგებულია შესაბამისი ტრენდები; განსაზღვრულია პარამეტრების ცვლილების საშუალო სიჩქარე განხილულ პერიოდში; მოცემულია აღნიშნული პარამეტრების ცვლილების ემპირიულ-სტატისტიკური და წყალბალანსური ტიპის მოდელები; შეფასებულია და შედარებულია ერთმანეთთან ჩამონადენის მგრძნობიარობა ნალექებისა და ტემპერატურის ცვლილებათა მიმართ; შედგენილია ჩამონადენის შესაძლო ცვლილების წინასწარი პროგნოზი, წყალშემკრებზე პარის ტემპერატურისა და ნალექთა ჯამების ცვლილებათა ტენდენციების შენარჩუნების პირობებში.

1.4.2.ქვემო სვანეთი, ლენტეხის რაიონი, მდ.ცხენისწყლის აუზის ზემო წელი

მდინარე ცხენისწყალი სათავეს იღებს კავკასიონის ცენტრალურ ნაწილში, შარივცეკის უდელტეხილის სამხრეთით 1.4 კილომეტრზე მდებარე მუინგარ მაჩხაფარიდან, ზღვის დონიდან 2700 მ სიმაღლეზე. მდინარის ძირითადი ჰიდროლოგიური მახასიათებლები მოცემულია ცხრ.1.1-ში. მდინარე ს.რცხმელურამდე მიედინება V-სეპრ ხეობაში რომლის ფსკერის სიგანე მერყეობს 30-დან - 80 მ-მდე, ხოლო ხეობის ზედა სიგანე იცვლება 200-დან - 300 მ-მდე. მდინარე კვეთს კარსტულ-კირქვიან მასივს და წარმოშობის ღრმა კლდოვან ხეობას, რომელიც ალაგ-ალაგ დაფარულია მორენებით. მდინარის სიგრძე 76 კმ-ია, საშუალო დახრილობა შეადგენს 15% (იხ.ნახ.1.1). აუზის საშუალო სიმაღლეა 2040 მ. ხეობაში მცენარეული საფარი ზონალური განაწილებით ხასიათდება. 700–800 მ სიმაღლეზე გვხდება ფოთლოვანი ტყე (მუხა, კაკალი, რცხილა და მურყანი), 800-დან – 2300 მ-მდე შერეული ტყე (მუხა, რცხილა, წიფელი, ნაძვი და სოჭი), 2300 მ-დან ზევით წყალშემკრების ტერიტორია დაფარულია მთაგორიანი პირობებისათვის დამახასიათებელი სხვადასხვა ბალახოვანი საფარით.

ცხრილი 1.1.მდ.ცხენისწყლის – საგ.რცხმელურთან ძირითადი ჰიდროლოგიური მახასიათებლები [47]

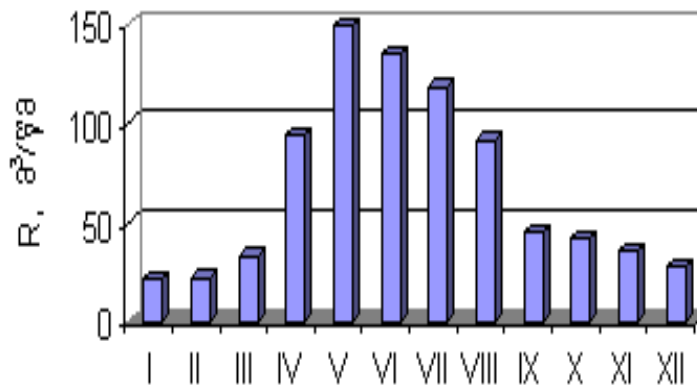
შენაკადი	სად ჩაედინება							
ცხენისწყალი – კვეთი საგ.რცხმელურთან	რიონი	2040	1450	219	76	0.47	62.8	12.9
ზესხო	ცხენისწყალი	2500	150	223	19	0.96	7.65	3.4
ქორულდაში	ზესხო	2557	77	226	11	0.62	1.16	2.8
ღობიშური	ცხენისწყალი	–	–	–	12	–	–	0.9
ლასკადურა	ცხენისწყალი	–	–	–	20	–	–	1.2
ხელედულა	ცხენისწყალი	2000	315	230	34	0.73	11.1	0.3
ლექთარეში	ცხენისწყალი	–	–	–	24	–	–	1.3
ჯანაულა	ცხენისწყალი	–	–	–	21	–	–	0.9
მუხრა	ცხენისწყალი	2351	53	228	13	0.83	2.46	0.6



ნახ.1.1.მდ.ცხენისწყლის გრძივი პროფილი

ლენტების რაონის ფარგლებში მდ.ცხენისწყლისა და მისი ძირითადი შენაკადების პიდროლოგიური მახასიათებლები, ცნობარის მიხედვით [47], მოყვანილია ცხრ. 1.1-ში ამ ცხრილში განხილულია მხოლოდ მყინვარული კვების მდინარეები. გარდა ამისა, მდ.ცხენისწყალს გააჩნია კიდევ მრავალი არამყინვარული საზრდოობის შენაკადები (დევაში, ხოფური, ხეშეური, ტუხადი და სხვ.), რომელთა კვება განპირობებულია წვიმებითა და მიწისქვეშა წყლებით. ამის შედეგად მდ.ცხენისწყალი ხასიათდება ჩამონადენის მაქსიმუმით გაზაფხულ-ზაფხულში

და მინიმუმით – ზამთარში. მდ.ცხენისწყლის (საგ. რცხმელურთან) მრავალწლიური საშუალო თვიური ჩამონადენის განაწილება თვეების მიხედვით ნაჩვენებია ნახ.1.2-ზე.

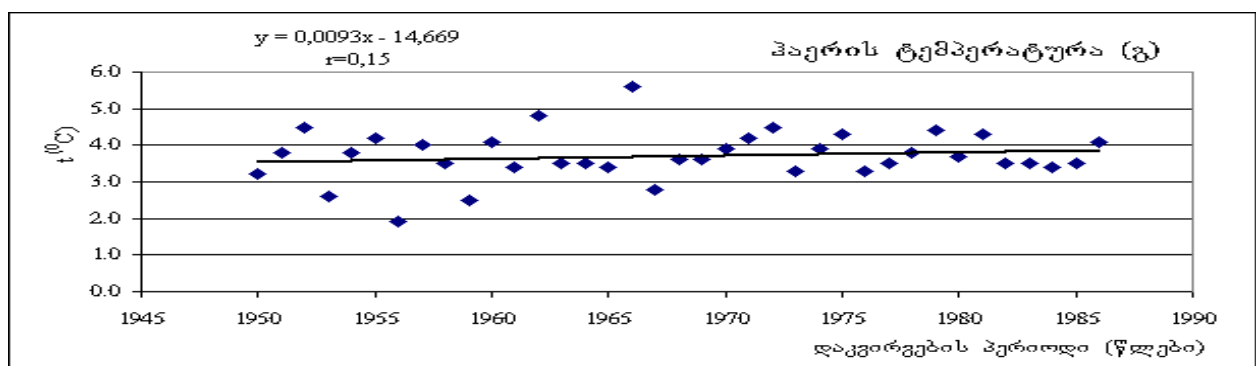
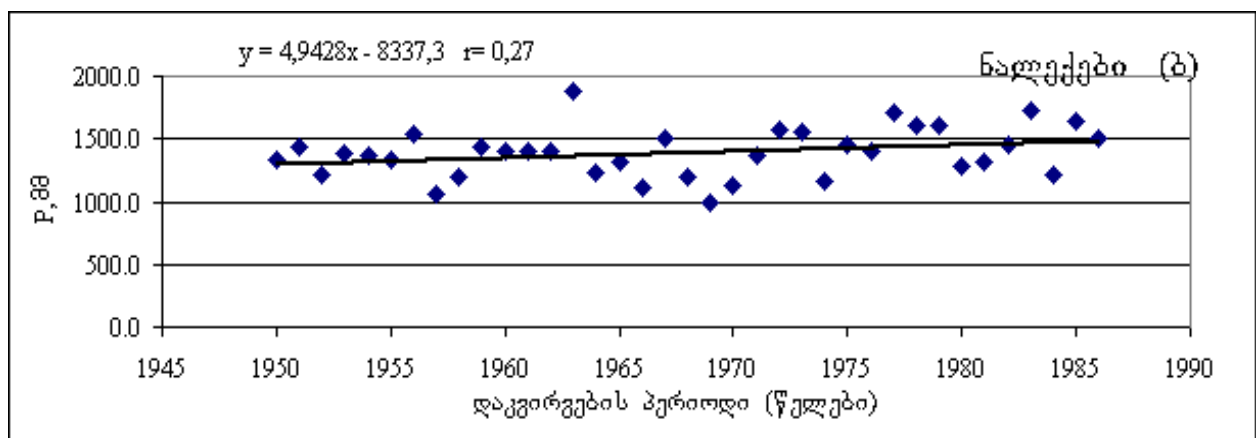
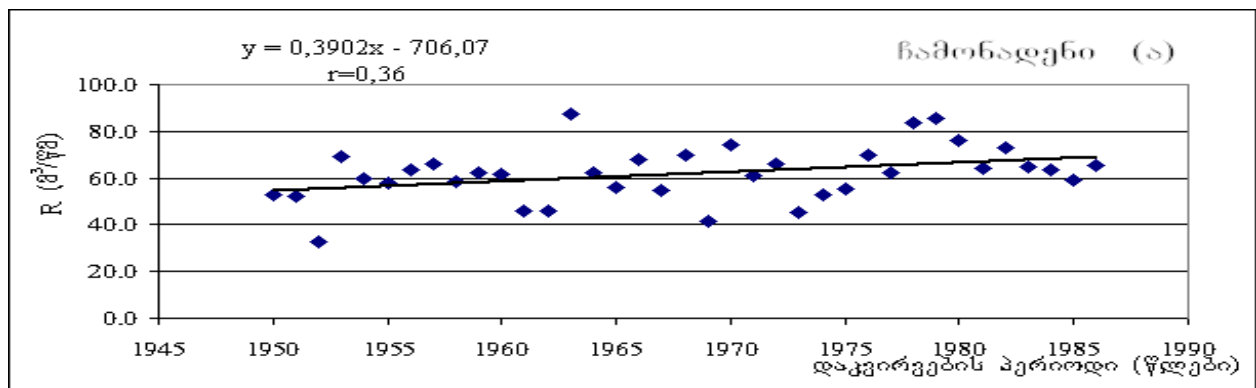


თვე

ნახ.1.2. მდ.ცხენისწყლის – საგ. რცხმელურთან მრავალწლიური საშუალო თვიური ჩამონადენის რყევის გრაფიკი (1950-1986 წ.წ.)

ლენტების რაიონის ტერიტორიაზე გასულ საუკუნეში დაფიქსირებულ კლიმატურ ცვლილებებთან მდ.ცხენისწყლის ჩამონადენის დასაკავშირებლად გაანალიზებულ იქნა საგ. რცხმელურის ჩამპეტ კვეთში 1950–1986 წლებში ჩატარებული ჰიდროლოგიური გაზომვებისა და ზემოთ ხსენებულ მეტეოსადგურ ყორულდაშიე პაერის ტემპერატურასა და ატმოსფერულ ნალექებზე დაკვირვების მონაცემები. ორივე სადგურისთვის განხილულ იქნა საშუალო წლიური მნიშვნელობები. სადგური ყორულდაში შერჩეული იქნა იმის გამო, რომ მისი სიმაღლე (1943 მ) ახლოსაა მდ.ცხენისწყლის აუზის საშუალო სიმაღლესთან (2040 მ). ნახ.1.3.-ზე წარმოდგენილია მდ.ცხენისწყლის საშუალო წლიური ჩამონადენის, ნალექთა წლიური ჯამებისა და პაერის საშუალო წლიური ტემპერატურის დინამიკა 1950–1986 წლების პერიოდში, აგებულია აღნიშნული მახასიათებლების ცვლილების ტენდენციის დამახასიათებელი ტრენდები, მოცემულია შესაბამისი რეგრესიის განტოლებები და კორელაციის კოეფიციენტის მნიშვნელობები.

როგორც ვხედავთ, სამივე პარამეტრისათვის მიღებულია ცვლილების დადგებითი ტრენდი, რომლის მიხედვით დაიკვირვება ნალექთა ჯამების და ჩამონადენის საგრძნობი ზრდა, ხოლო ტემპერატურის – შედარებით მცირე მატება. ცხრ.1.2-ში მოცემულია განხილულ პერიოდში პარამეტრების ცვლილების სიჩქარის გასაშუალოებული მნიშვნელობები სხვადასხვა დროითი ინტეგრალისათვის. მაგალითად, 1950–1986 წლების პერიოდის ყოველ ათწლეულში ჩამონადენის ზრდა შეადგენდა დაახლოებით 4 მ³/წმ, რაც ნორმის 6%-ზე მეტია, ნალექთა ჯამების მატება ტოლია 48 მმ, ანუ შეადგენს ნორმის 3.5%, ხოლო პაერის ტემპერატურის ცვლილება ხასიათდება 0.09 °C-ით ზრდის ტენდენციით, რაც ნორმის 2%-ს აღემატება.



ნახ.1.3. 1950–1986 წლებში (ა) მდ.ცხენისწყლის წლიური ჩამონადენის (R),
(ბ) წყალშემკრებზე მოსულ ნალექთა წლიური ჯამების (P), (გ) აუზში
პაერის ტემპერატურის (t) დინამიკა და შესაბამისი ტრენდები

ცხრილი 1.2. მდ.ცხენისწყლის აუზისათვის 1950–1986 წლებში ჩამონადენის, ნალექებისა და ტემპერატურის ცვლილების საშუალო სიჩქარის სიდიდეები, მიუვანილი 1-, 10-, 37-, 100 –წლიან პერიოდებამდე

ჩამონადენის გამოთვლილი მნიშვნელობები R , $\text{mm}^3/\text{წ}$	R_0 $\text{mm}^3/\text{წ}$	ჩამონადენის ცვლილება $\Delta R=R_1-R_2 \text{ mm}^3/\text{წ}$				ნორმის მიმართ ფარდობითი ცვლილება, $\Delta R/R_0 \%$			
		1	10	37	100	1	10	37	100
$R_1=0,3902 \times 1986 - 706,07 = 68,87$	61.9	0.38	3.8	11.05	38	0.6	6.14	22.7	61.4
$R_2=0,3902 \times 1950 - 706,07 = 51,82$									
ნალექების გამოთვლილი მნიშვნელობები P , mm	P_0 mm	ნალექების ცვლილება $\Delta P=P_1-P_2 \text{ mm}$				ნორმის მიმართ ფარდობითი ცვლილება, $\Delta P/P_0 \%$			
$P_1=4,9428 \times 1986 - 337,3 = 1479,10$		1.8	48.1	177.94	481	0.35	3.5	12.8	35
$P_2=4,9428 \times 1950 - 337,3 = 1301,16$									
ტემპერატურის ამოთვლილი მნიშვნელობები t , $^{\circ}\text{C}$	t_0 $^{\circ}\text{C}$	ტემპერატურის ცვლილება $\Delta t=t_1-t_2 \text{ }^{\circ}\text{C}$				ნორმის მიმართ ფარდობითი ცვლილება, $\Delta t/t_0 \%$			
$t_1=0,0093 \times 1986 - 14,669 = 3,80$		3.7	0.009	0.09	0.33	0.9	0.24	2.4	9.0
$t_2=0,0093 \times 1950 - 14,669 = 3,47$									

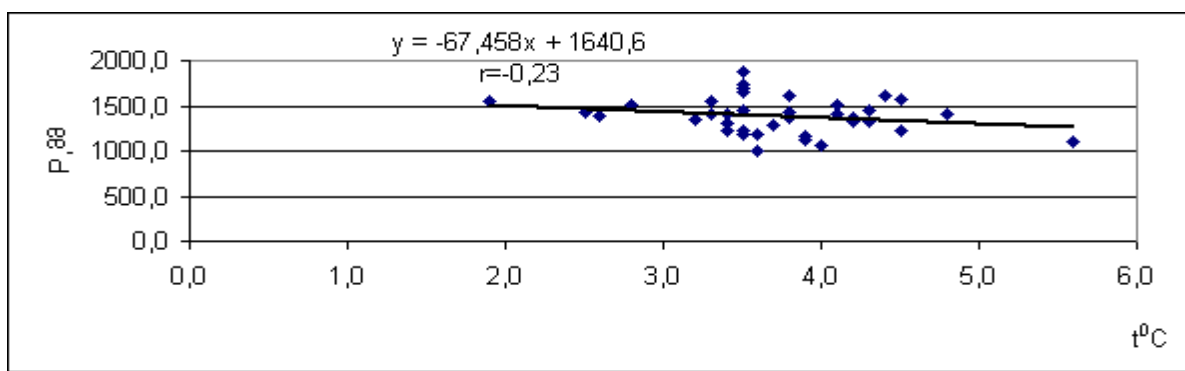
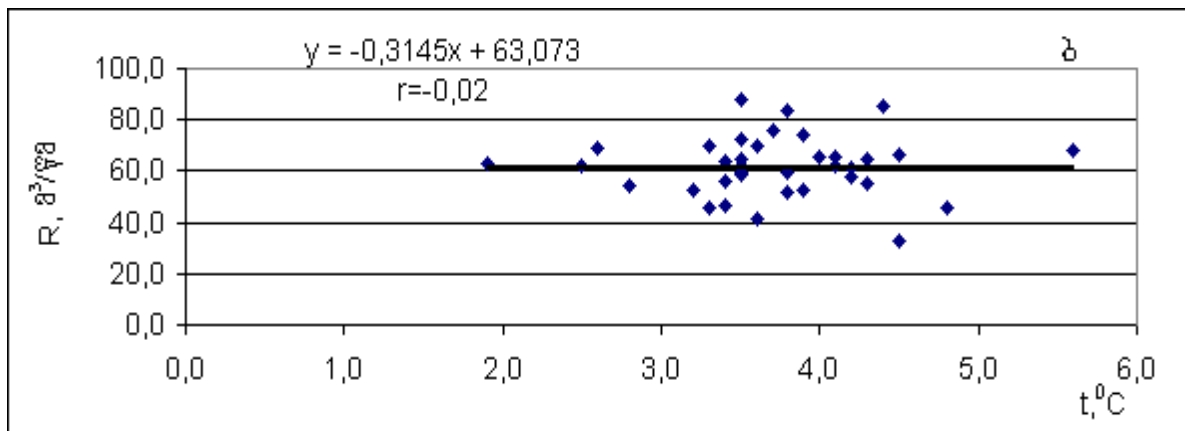
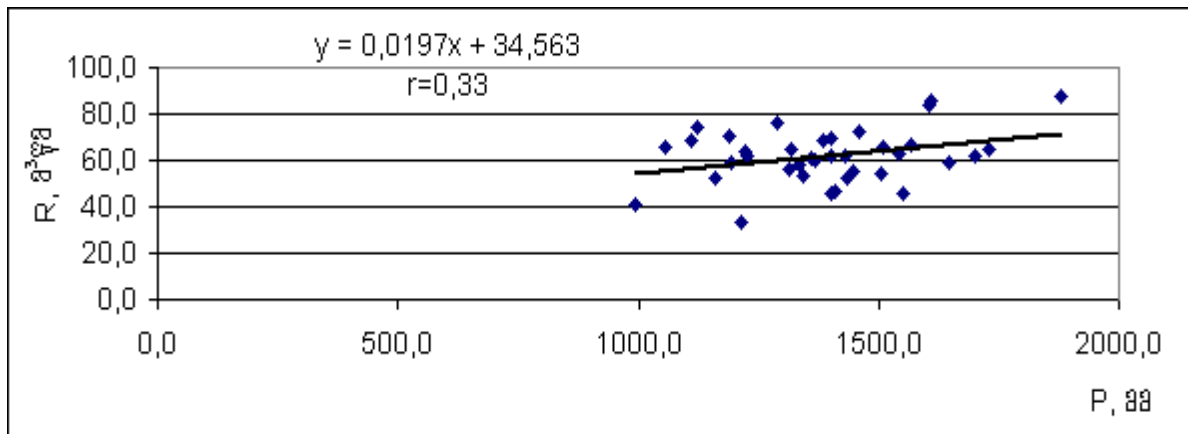
თუ ზრდის ეს სიჩქარეები შენარჩუნებული იქნება XXI საუკუნის 50-იან წლებამდე, მაშინ საუკუნეობრივმა ცვლილებამ შეიძლება მიაღწიოს: ჩამონადენის ზრდის მაჩვენებელმა 40 $\text{mm}^3/\text{წ}$ (ნორმის 60%), ნალექთა ჯამების ზრდამ შეადგინოს 480 mm (35%) და ტემპერატურის მატებამ – $0.9 \text{ }^{\circ}\text{C}$ (დაახლოებით ნორმის 25%).

შემდეგ ეტაპზე გამოკვლეული იქნა მდ.ცხენისწყლის ჩამონადენის კავშირი ნალექთა ჯამებთან, აგრეთვე ჩამონადენისა და ნალექების სტატისტიკური დამოკიდებულებანი ჰაერის ტემპერატურაზე, რაც საფუძვლად დაედო ჩამონადენის ფორმირების ემპირიულ-სტატისტიკურ და წყალბალანსურ მოდელებს.

კვლევის შედეგების მიხედვით, რომლებიც მოცემულია ნახ.1.4-ზე, წყალშემკრებზე ნალექთა ჯამების ზრდა იწვევს ჩამონადენის ზრდასაც (კორელაციის კოეფიციენტი $r=0.33$), რაც ფიზიკურად გამართლებულია. ამავე დროს, ჩამონადენი ფაქტიურად არ არის დამოკიდებული ტემპერატურის ცვლილებაზე ($r=0.02$), ხოლო ნალექთა ჯამებისათვის დაფიქსირებულია მათი შემცირება ტემპერატურის მატებისას ($r=0.23$). უკვე ამ შედეგებიდან გამომდინარე შეიძლება დავასკვნათ, რომ განხილული წყალშემკრებისათვის ჩამონადენი მეტად მგრძნობიარეა ნალექთა ცვლილების მიმართ და პრაქტიკულად არ რეაგირებს ტემპერატურის ცვლილებაზე. ამ პროცესების რაოდენობრივი შეფასებისათვის გამოვიყენოთ ნალექებთან და ტემპერატურასთან ჩამონადენის კავშირის ამსახველი ორცვლადიანი რეგრესიის განტოლებები (იხ.ნახ.1.4-ის (ა) და (ბ)), რომელთა შეკრებით ვდებულობთ განტოლებას, წარმოდგენილ ცხრ.1.3-ში. აქვე მოცემულია კორელაციის კოეფიციენტის (r), ჩამონადენის გამოთვლილ მნიშვნელობათა რიგისათვის საშუალო კვადრატული გადახრისა (S_R) და რეგრესიის განტოლების აბსოლუტური ცდომილების (S_R) სიდიდეები. როგორც ვხედავთ, განხილული პერიოდისათვის აგებული ჩამონადენის ემპირიულ-სტატისტიკური მოდელის გამოცდამ (იხ.ცხრ.1.3) მოგვცა დამაკმაყოფილებელი შედეგი: განტოლების აბსო-

ლუტური ცდომილება შეადგენს 8,5 მ³/წ, ფარდობითი ცდომილება კი – 15%, რაც თანხვედრაშია $S_R=11$ მ³/წ-ის მნიშვნელობასთან.

δ



ნახ.1.4. (ა) კავშირი მდ.ცხენისწყლის (ს.რცხმელურთან) ჩამონადენსა და ნალექებს (ს.ყორულდაში) შორის, (ბ) ჩამონადენსა და ჰაერის ტემპერატურას შორის, (გ) ნალექებსა და ჰაერის ტემპერატურას შორის

ცხრილი 1.3. მდ.ცხენისწყლის წლიური ჩამონადენის ფორმირების ემპირო-
ულ-სტატისტიკური მოდელები

მიღებულია ორცვლადიანი რეგრესიის განტოლებათა შეკრებით $R=0,010 P - 0,157 t + 48,818$ $r=0,34; \sigma_R=11,23; S_R=10,56.$							მიღებულია სამცვლადიანი რეგრესიის განტოლებით $R=0,021P+1,068t+28,75$ $r=0,34; \sigma_R=11,71; S_R=11,01.$			
n	წელი	ჩამონადენი – საგ.რცხვ- ლური, R გ/წელ	ნალექები – საგ.ყორულდაში, P გმ	ტემპერატურა – საგ.ყორულდაში t, °C	ჩამონადენის გამოთ- ვლილი მნიშვნელობა, R გ/წელ	აბსოლუტური ცდომილება, $ \Delta R $	ჩამონადენით გამომილება, $ \Delta R /R \%$	აბსოლუტური ცდომილება, $ \Delta R $	ფარდობითი ცდომილება, $ \Delta R /R \%$	
1	1950	53.0	1341.6	3.2	61.6	8.6	16.2	60.3	7.3	13.9
2	1951	52.0	1436.4	3.8	62.4	10.4	20.1	63.0	11.0	21.1
3	1952	32.9	1215.6	1.5	60.1	27.2	82.8	59.1	26.2	79.6
4	1953	68.9	1383.6	2.6	62.1	6.8	9.9	60.6	8.3	12.0
5	1954	59.7	1366.8	3.8	61.8	2.1	3.4	61.5	1.8	3.0
6	1955	58.1	1331.4	1.2	61.4	3.3	5.6	61.3	3.2	5.4
7	1956	63.3	1542.0	1.9	63.8	0.5	0.8	63.2	0.1	0.2
8	1957	65.8	1056.0	1.0	58.6	7.2	10.9	55.2	10.6	16.1
9	1958	58.8	1191.6	3.5	60.1	1.3	2.2	57.5	1.3	2.2
10	1959	62.2	1430.4	2.5	62.6	0.4	0.6	61.5	0.7	1.1
11	1960	61.8	1402.8	1.1	62.1	0.3	0.4	62.6	0.8	1.3
12	1961	46.2	1407.6	3.4	62.2	16.0	31.7	61.9	15.7	31.1
13	1962	45.9	1401.6	1.8	61.9	16.0	31.9	63.3	17.4	37.9
14	1963	87.6	1880.4	3.5	66.9	20.7	23.6	72.0	15.6	17.8
15	1964	62.0	1227.6	3.5	60.4	1.6	2.6	58.3	3.7	6.0
16	1965	56.2	1312.8	3.4	61.3	5.1	9.0	60.0	3.8	6.7
17	1966	68.2	1110.0	5.6	58.9	9.3	13.6	58.0	10.2	15.0
18	1967	51.5	1501.8	2.8	63.3	8.8	16.1	63.3	8.8	16.2
19	1968	70.1	1189.2	3.6	60.0	10.1	11.4	57.6	12.5	17.8
20	1969	41.2	992.4	3.6	58.1	16.9	41.0	53.4	12.2	29.7
21	1970	71.3	1121.4	3.9	59.3	15.0	20.2	56.5	17.8	21.0
22	1971	60.8	1359.6	1.2	61.6	0.8	1.3	61.8	1.0	1.6
23	1972	66.3	1569.6	1.5	63.6	2.7	1.1	66.5	0.2	0.3
24	1973	45.3	1549.2	3.3	63.6	18.3	40.5	61.8	19.5	43.1
25	1974	52.6	1161.6	3.9	59.7	7.1	13.5	57.3	1.7	9.0
26	1975	55.3	1446.0	1.3	62.5	7.2	12.9	63.7	8.4	15.2
27	1976	69.8	1401.6	3.3	62.2	7.6	10.9	61.7	8.1	11.6
28	1977	62.2	1701.6	3.5	65.1	2.9	1.7	68.2	6.0	9.7
29	1978	83.8	1605.6	3.8	61.1	19.7	23.5	66.5	17.3	20.6
30	1979	85.6	1610.4	1.4	61.1	21.5	25.1	67.3	18.3	21.4
31	1980	76.1	1288.8	3.7	61.0	15.1	19.8	59.8	16.3	21.4
32	1981	61.3	1320.0	1.3	61.2	3.1	1.8	61.1	3.2	5.0
33	1982	72.8	1458.0	3.5	62.7	10.1	13.9	63.1	9.7	13.3
34	1983	61.5	1731.6	3.5	65.4	0.9	1.4	68.9	1.4	6.7
35	1984	63.7	1221.6	3.4	60.4	3.3	5.2	58.0	5.7	8.9
36	1985	59.1	1647.6	3.5	61.6	5.5	9.3	67.1	8.0	13.5
37	1986	65.6	1509.6	1.1	63.1	2.5	3.8	61.8	0.8	1.2
საშ.		61.9	1390.1	3.7	62.0	8.5	15.1	61.9	8.7	15.2

მიღებული შედეგების საიმედოობის დასადგენად იმავე ცხრ.1.3-ში მოცემულია წლიური ჩამონადენის ფორმირების მეორე ემპირიულ-სტატისტიკური მოდელი, რომელსაც საფუძვლად დაედო სამცვლადიანი რეგრესიის განტოლება. მისი გამოცდის შედეგები პრაქტიკულად იდენტურია პირველი მოდელის შემოწმებასთან. ამ შემთხვევაში განტოლების საშუალო აბსოლუტური ცდომილება 8.7 მ³/წმ-ის ტოლია, ხოლო ფარდობითი ცდომილება 15%-ს შეადგენს.

ასეთივე შედეგი მიიღება ჩამონადენის ფორმირების წყალბალანსური ტიპის ლ.ტიურკის მოდელით, რომლის გამოცდის მონაცემები შესულია ცხრ.1.4-ში.

ცხრილი 1.4. მდ.ცხენისწყლის წლიური ჩამონადენის ფორმირების წყალბალანსური (ლ.ტიურკის) მოდელი

n	წელი	ჩამონადენის წლიური ფასის სიმაღლე საგ.რცხმელუ- რი, R მმ	ტემპერატურის ფუნქციის მნიშ- ვნელობები, L=300+25t+0,05t ³	ჩამონადენის ფასის სიმაღლის გამოთვლილი მნიშვნელობები, R მმ	აბსო- ლუ- ტური ცდომი- ლება, ΔR მმ	ფარდო- ბითი ცდო- მილება, ΔR /R %
1	1950	1153.6	381.6	1299.4	145.9	12.6
2	1951	1131.8	397.7	1391.3	259.5	22.9
3	1952	716.1	417.1	1177.4	461.3	61.4
4	1953	1499.6	365.9	1340.1	159.5	10.6
5	1954	1299.4	397.7	1323.8	21.4	1.9
6	1955	1261.6	408.7	1292.5	27.9	2.2
7	1956	1377.8	347.8	1493.5	115.8	8.4
8	1957	1432.2	403.2	1022.8	409.4	28.6
9	1958	1279.8	389.6	1151.2	125.7	9.8
10	1959	1353.8	363.3	1385.5	31.6	2.3
11	1960	1345.1	405.9	1358.7	13.6	1.0
12	1961	1005.6	387.0	1363.4	357.8	35.6
13	1962	999.0	425.5	1357.6	358.5	35.9
14	1963	1906.7	389.6	1821.3	85.4	1.5
15	1964	1349.5	389.6	1189.0	160.4	11.9
16	1965	1223.2	387.0	1271.5	48.3	1.0
17	1966	1481.4	448.8	1075.1	409.3	27.6
18	1967	1186.2	371.1	1457.5	271.3	22.9
19	1968	1525.8	392.3	1151.8	373.9	21.5
20	1969	896.7	392.3	961.2	61.5	7.2
21	1970	1617.2	400.5	1089.1	528.1	32.7
22	1971	1323.3	408.7	1316.9	6.5	0.5
23	1972	1443.1	417.1	1520.3	77.2	5.4
24	1973	986.0	381.3	1500.5	511.5	52.2
25	1974	1141.9	400.5	1125.1	19.8	1.7
26	1975	1203.6	411.5	1400.6	196.9	16.4
27	1976	1519.2	381.3	1357.6	161.7	10.6
28	1977	1353.8	389.6	1648.1	291.3	21.7
29	1978	1821.0	397.7	1555.1	268.8	11.7
30	1979	1863.1	411.3	1559.8	303.3	16.3
31	1980	1656.4	395.0	1248.3	408.1	21.6
32	1981	1399.5	411.5	1278.5	121.0	8.6
33	1982	1581.5	389.6	1412.2	172.4	10.9
34	1983	1403.9	389.6	1677.2	273.3	19.5
35	1984	1386.5	387.0	1183.2	203.3	11.7
36	1985	1286.3	389.6	1595.8	309.5	21.1
37	1986	1427.8	405.9	1462.2	31.3	2.4
საშ.		1347.4	395.6	1346.4	210.7	16.6

ლ.ტიურკის მოდელით განისაზღვრება ყოველწლიური ჩამონადენის ფენის სიმაღლე (მმ), რომლის შედარება გაზომილ მნიშვნელობასთან განხილული პერიოდისათვის გვაძლევს საშუალო აბსოლუტურ ცდომილებას 211 მმ და ფარდობითი ცდომილების მნიშვნელობას დაახლოებით 17%-ის ტოლს. ამ შეფასების შედეგები უმნიშვნელოდ გაუარესებულია ემპირიულ-სტატისტიკური მოდელების შემოწმებასთან შედარებით.

გამომდინარე გამოცდის შედეგებიდან, ჩამონადენის მოწყვლადობის შეფასებისათვის ძირითადად გამოვიყენებოთ პირველ ემპირიულ-სტატისტიკურ მოდელს.

ჩამონადენის ფორმირების მოდელების გამოყენებით და (1.40) და (1.41) გამოსახულებათა გათვალისწინებით მდ.ცხენისწყლის აუზის ზემო წელისათვის (ჩამკეტი კვეთი – საგ.რცხმელური) ვდებულობთ:

- ჩამონადენის მოწყვლადობის სიდიდე წყალშემკრებზე მოსულ ნალექთა ცვლილების მიმართ ტოლია

$$n_1 = \frac{1390,1}{61,9} \times 0,010 = 0,2246;$$

- ჩამონადენის მოწყვლადობის სიდიდე წყალშემკრებისათვის დამახასიათებელ ტემპერატურის ცვლილებისას ტოლია

$$n_2 = \frac{3,7}{61,9} \times 0,157 = 0,0094;$$

- მოწყვლადობათა შეფარდება ტოლია

$$n = \frac{n_1}{n_2} = \frac{0,2246}{0,0094} \approx 24.$$

ამრიგად შეიძლება დავასკვნათ, რომ განხილული აუზისათვის წლიური ჩამონადენის მოწყვლადობა ნალექთა წლიური ჯამების ცვლილების მიმართ დაახლოებით 24-ჯერ მეტია ჩამონადენის მოწყვლადობაზე წყალშემკრებისათვის დამახასიათებელი საშუალო წლიური ტემპერატურის ცვლილებისას. ეს შეფასება მიღებულია II ემპირიულ-სტატისტიკური მოდელის საფუძველზე. თუ გამოვიყენებოთ I მოდელს, მაშინ მოწყვლადობათა შეფარდებისათვის მივიღებთ ისე.

განვსაზღვროთ ჩამონადენის მოსალოდნელი ცვლილება გლობალური დათბობის პირობებში შემდეგი კლიმატური სცენარის მიხედვით: ტემპერატურის მატება შეადგენს 3°C , ხოლო ნალექების ჯამების შემცირება - ნორმის 5-10%.

გამოვდივართ მდ.ცხენისწყლის-კვეთი რცხმელურისათვის მიღებული ემპირიულ-სტატისტიკური მოდელიდან

$$R=0.010P-0.157t+48.818.$$

გვექნება

$$dR=0.01dP-0.157dt,$$

$$(dR)_1=0.01x(-1390.1x0.05)-0.157x3=-1.166\approx-1.2 \text{ } \text{dm}^3/\text{წმ}, \text{ რაც შეადგენს ნორმის - 2\%};$$

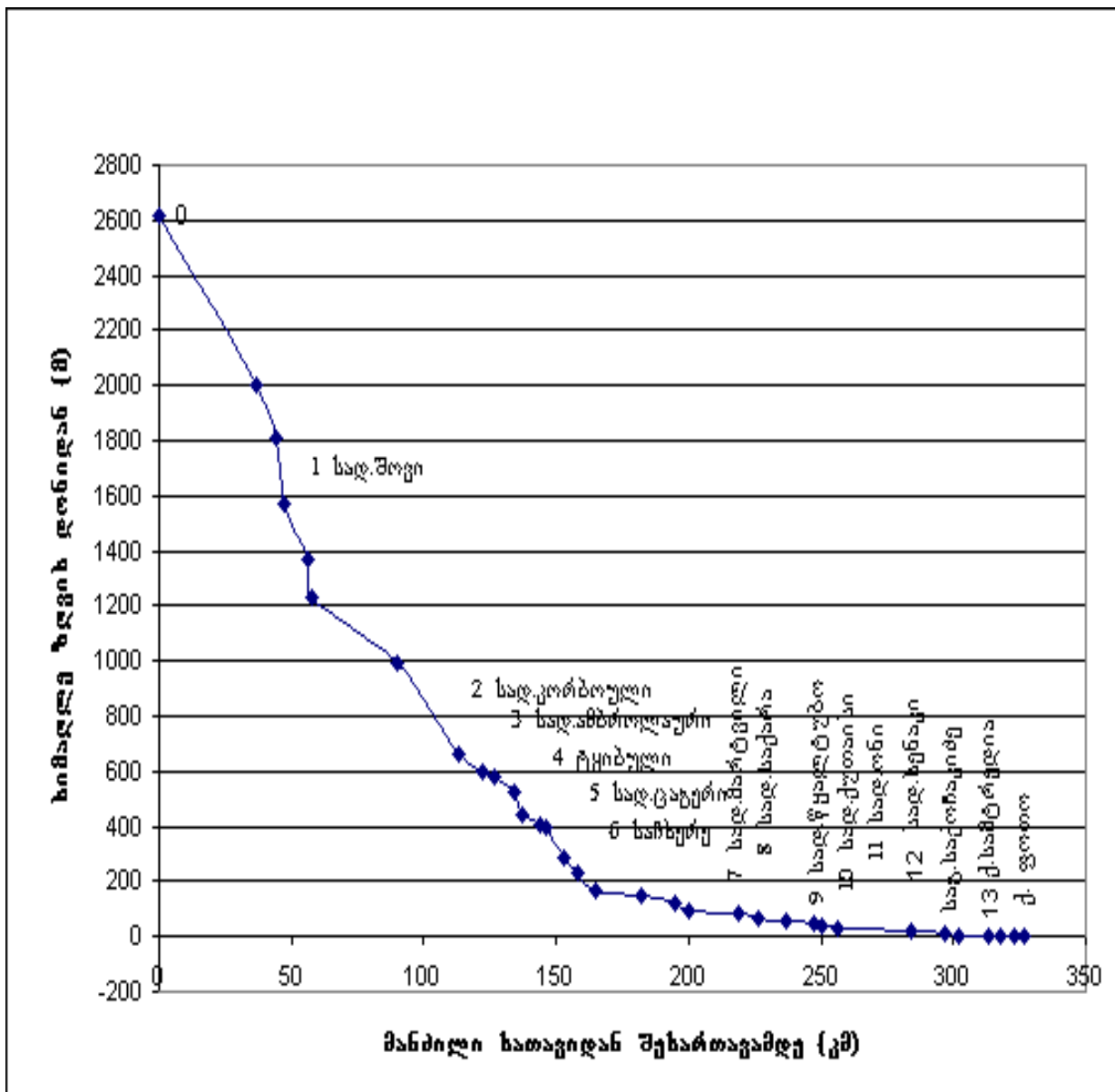
$$(dR)_2=0.01x(-1390.1x0.1)-0.157x3=-1.86\approx-1.9 \text{ } \text{dm}^3/\text{წმ} (-3\%).$$

ამრიგად, აღნიშნული კლიმატური სცენარის პირობებში მდ.ცხენისწყლის-ს.რცხმელური ჩამონადენი პრაქტიკულად არ განიცდის მნიშვნელოვან ცვლილებას - იგი მცირდება მხოლოდ 2-3%-ით.

1.4.3.მდ.რიონის დელტა, მდ.რიონი – ს.ალპანას კვეთი

მდ.რიონი სათავეს იღებს კავკასიონის სამხრეთ ფერდობზე, ფასის მთის მახლობლად, ზღვის დონიდან 2620 მ. სიმაღლეზე და ქ.ფოთთან ერთვის შავ ზღვას. მდინარის სიგრძე 327 კმ-ია, წყალშემკრები აუზის ფართობი ტოლია 13400 კმ², ზღვის დონიდან მისი საშუალო სიმაღლეა 1084 მ (იხ.ნახ.1.5). მდინარის აუზში

პიდრომეტეოროლოგიური დაკვირვებები სხვადასხვა დროს ტარდებოდა 11 წყალსაზომ საგუშაგოზე და 21 მეტეოროლოგიურ სადგურზე, რომელთაგან დღეს ფუნქციონირებს 3 პიდროლოგიური და 13 მეტეოროლოგიური პუნქტი (იხ.ცხრ.1.5 და ნახ.1.5).

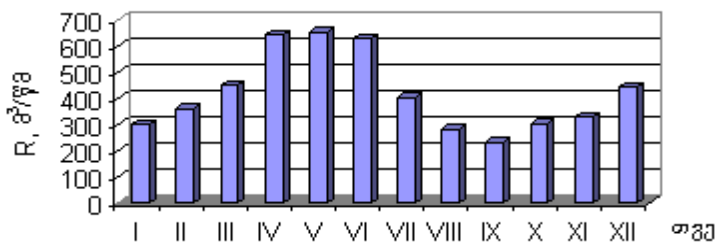


ნახ.1.5. მდ.რიონის გრძივი პროფილი

რიონი მთის მდინარეს წარმოადგენს. მისი აუზის 81% განლაგებულია კავკასიონის (68%) და აჭარაიმერეთის ქედის (13%) სამხრეთ ფერდობებზე, ხოლო 19% მდებარეობს კოლხეთის დაბლობზე. როგორც ცხრ.1.5-დან ვხედავთ მდ.რიონს 600-მდე შენაკადი ერთვის, რომელთაგან უკელაზე მნიშვნელოვანია მდ.ყვირილა, ხანისწყალი და ცხენისწყალი. მდინარის ჩამონადენი ხასიათდება გაზაფხულ-ზაფხულის მაქსიმუმით და შემოდგომა-ზამთრის მინიმუმით (იხ.ნახ.1.6)

ცხრილი 1.5. მდ.რიონის წყალშემკრებ აუზში განლაგებული მეტეოროლოგიური სადგურები

№	სადგური	სიმაღლე ზღვის დონიდან	საშუალო წლიური	
			ტემპერატურა, t °C	ნალექი, მმ
1	შოვი	1600	-2.4	1148
2	კორბოული	793	10.0	1205
3	ამბროლაური	544	11.2	983
4	ტყიბული	535	12.2	1890
5	ცაგერი	474	11.4	1235
6	საჩხერე	441	11.7	830
7	მარტვილი	176	13.8	1879
8	საქარა	148	13.9	1190
9	წყალტუბო	121	11.6	1692
10	ქ'ეთაისი	114	11.5	1380
11	ონი	114	10.0	790
12	სენაკი	40	11.3	1669
13	სამტრედია	25	11.4	1375



ნახ.1.6. მდ.რიონის – საგ.საქონაკიძესთან მრავალწლიური საშუალო თვიური ჩამონადენის რყევის გრაფიკი (1940-1986 წ.).

ცხრილი 1.6. მდ.რიონის – სად.საქონაკიძესთან ძირითადი ჰიდროლოგიური მახასიათებლები [47]

მდინარე და მისი შენაკადები	სად. ჩავთვების სიმაღლე, მ	აუზის სიმაღლე, მ	წყალშემცირები აუზის ფართისა, გ ²	აუზის მდგრადი მარტვილი	გდინარის სიგრძე, კ	ტემპერატურის მდგრადი მარტვილი	განვითარებული მდგრადი მარტვილი	განვითარებული მდგრადი მარტვილი	განვითარებული მდგრადი მარტვილი	
რიონი	შავი ზღვა	1084	13400	600	327	1.04	407	1600	10050	100
ყვირილა	რიონი	1320	3630	167	140	1.45	87.4	-	1815	-
ცხენისწყალი	რიონი	2040	1450	219	76	0.47	62.8	12.9	1000	30
ხანისწყალი	რიონი	1180	914	202	57	0.94	22.8	-	807	-

პიდროგრაფიული ქსელი კარგად არის განვითარებული, რასაც ემატება წყალშემკრებ აუზში განლაგებული წყალსაცავები (იხ.ცხრ.1.7)

გეოლოგიური აგებულების მხრივ მაღლივ ზონაში ჭარბობს კრისტალური ქანები (გრანიტი, გნაისები და ფიქალები), რომლებსაც მდინარის მარჯვენა სანაპიროზე ენაცვლება ქვიშები.

ცხრილი 1.7. მდ.რიონის წყალშემკრებ აუზში განლაგებული წყალსაცავები

№	წყალსაცავი	სარკის ფართობი, კმ ²	წყლის მოცულობა, მლნ.მ ³	სიღრმე, მ	
				საშ.	მაქ.
1	შაორი	9.2	90.6	9.8	11.5
2	ლაჯანური	1.6	50	30.0	70.0
3	გუმათი	2.4	39.0	—	24
4	ტყიბული	12.1	81.0	6.9	12.5

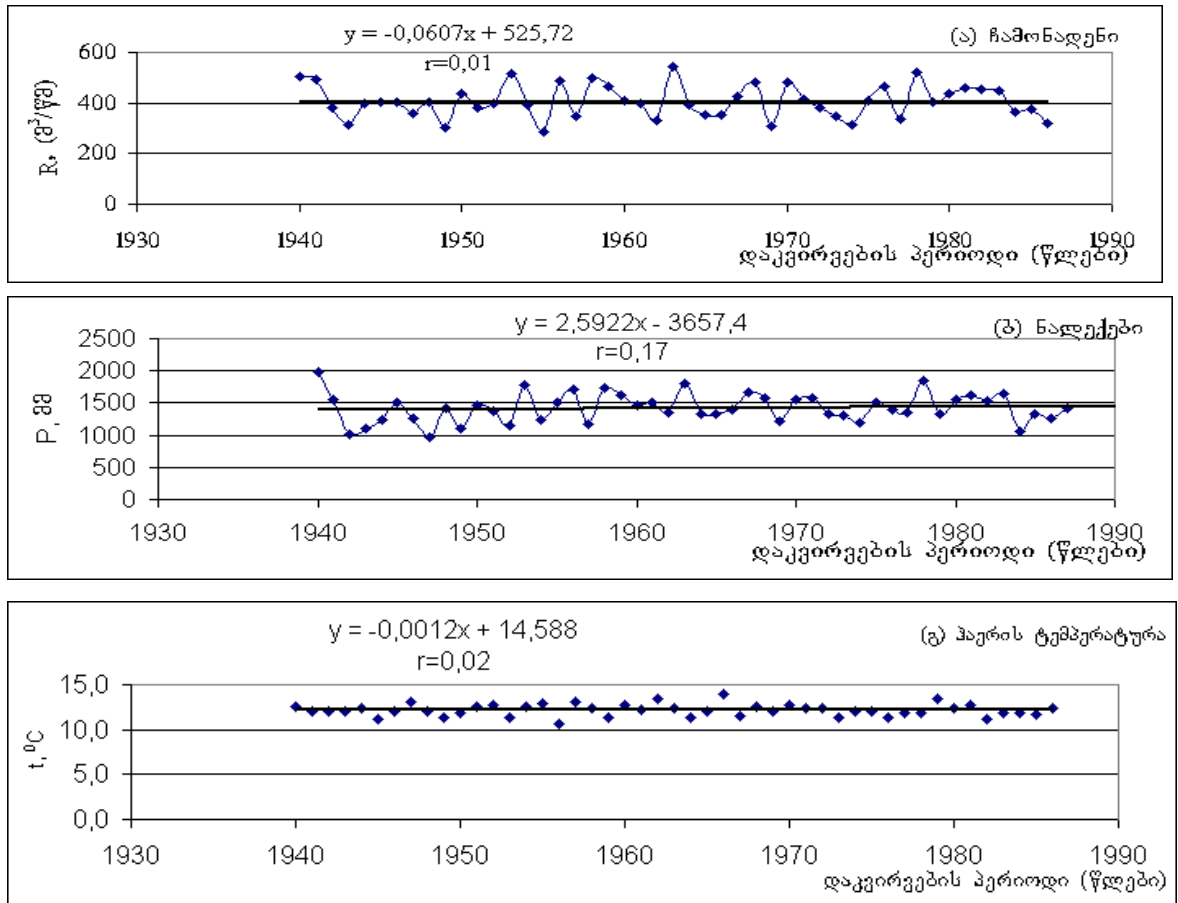
მდ.რიონის აუზში გამოიყოფა ალპური ზონის პრიმიტიული მცირე სისქის კორდიან-ტორფიანი მთა-მდელოთა ნიადაგები, კორდიანი და კორდიანი მთა-მდელოთა ნიადაგები (მაღალმთიან ზონაში). მთა-ტყეთა ზონაში განვითარებულია ტყის ზედა სარტყელის ღია და დაეწერებული ტყის ყომრალი ნიადაგები. მთისწინეთის ზონაში წითელმიწა და გაეწერებული ნიადაგები და ყვითელმიწა ნიადაგები. დაბლობის ზონაში, მდ.ყვირილას მარჯვენა მხარეს ძლიერი და საშუალო ეწერი ნიადაგები. ჭაობიან ზონაში განვითარებულია ჭაობის ლამიანი და ტორფიან-ჭაობიანი ნიადაგები.

ანალოგიური ზონალობა გააჩნია მცენარეულ საფარსაც. კერძოდ, მაღალმთიან ზონაში ალპური მცენარეულობაა განვითარებული. ალპური ზონის სამხრეთი ვრცელდება ჯერ წიწვოვანი და შემდგომ ფოთლოვანი ტყის ზოლი, რომელიც კოლხეთის დაბლობში იცვლება კოლხეთის ტიპის ტყეებით. ჭაობიან ნაწილში გავრცელებულია ჭაობის ტყე და ჭაობის მცენარეულობა. მთლიანად აუზში ტყიანობის ფართი დაახლოებით მთელი აუზის 70–75% შეადგენს (9380–10050 კმ²).

გასული საუკუნის მეორე ნახევარში კლიმატური ელემენტებისა და მდ.რიონის რიონის წყლიანობის რეჟიმის ცვალებადობას შორის კავშირების შესასწავლად ნახ.1.7-ზე წარმოდგენილია მდ.რიონის – საგ.საქონაკიძესთან საშუალო წლიური ჩამონადენის, წყალშემკრებზე ნალექთა წლიური ჯამებისა და ჰაერის საშუალო წლიური ტემპერატურის დინამიკა 1940–1986 წლებში (47 წლიანი პერიოდისთვის). აღნიშნული კლიმატური მახასიათებლები ჰაერის ტემპერატურა და ნალექთა ჯამები გამოთვლილი იყო ცხრ.1.8-ში შესული 13 მეტეოსადგურის მონაცემთა გასაშუალოებით. აქვე ნახაზზე მოცემულია აღნიშნული მახასიათებლების ცვლილების ტენდენციის დამახასიათებელი ტრენდები, შესაბამისი რეგრესიის განტოლებები და კორელაციის კოეფიციენტის მნიშვნელობები. როგორც ვხედავთ წყალშემკრებზე პრაქტიკულად უცვლელი ტემპერატურისა და ნალექთა ჯამების მცირე მატების პირობებში დაფიქსირებულია ჩამონადენის უმნიშვნელო შემცირება. ამ პროცესების რაოდენობრივი მახასიათებლები მოცემულია ცხრ.1.8-ში. კერძოდ, 1940–1986 წლების ყოველ 10-წლიან ინტერვალში ჩამონადენის შემცირება შეადგენს სულ რაღაც 0.6 მ³/წმ, რაც ნორმის დაახლოებით 0.2%-ის ტოლია.

ამრიგად, ისევე როგორც აუზში ჰაერის ტემპერატურა, ჩამონადენიც ფაქტიურად არ შეცვლილა. რაც შეეხება ნალექთა ჯამებს, 10-წლიან ინტერვალში მათი ზრდა შეადგენდა 22 მმ-ზე ოდნავ მეტს, რაც ნორმის დაახლოებით 2%-ია. თუ ცვლილებათა ეს სიჩქარეები შენარჩუნდება XX საუკუნის ბოლოსათვის და XXI საუკუნეში, მაშინ 50-იანი წლების დონისათვის მოსალოდნელია ჩამონადენის უმნიშვნელო შემცირება 6 მ³/წმ-ით (ნორმის დაახლოებით 2%), აუზში ჰაერის პრაქტიკულად უცვლელი ტემპერატურისა (საუკუნეობრივი შემცირება შეადგენს მხოლოდ

0.1 °C) და ნალექთა ჯამების 253 მმ-ით (ნორმის დაახლოებით 20%-ით) შედარებით შესამჩნევი ზრდის პირობებში.



ნახ.1.7. მდ.რიონის აუზისათვის 1940 – 1986 წლებში (ა) ჩამონადენის (R), (ბ) ნალექების წლიური ჯამების (P), (გ) ჰაერის ტემპერატურის (t) დინამიკა და შესაბამისი ტრენდები

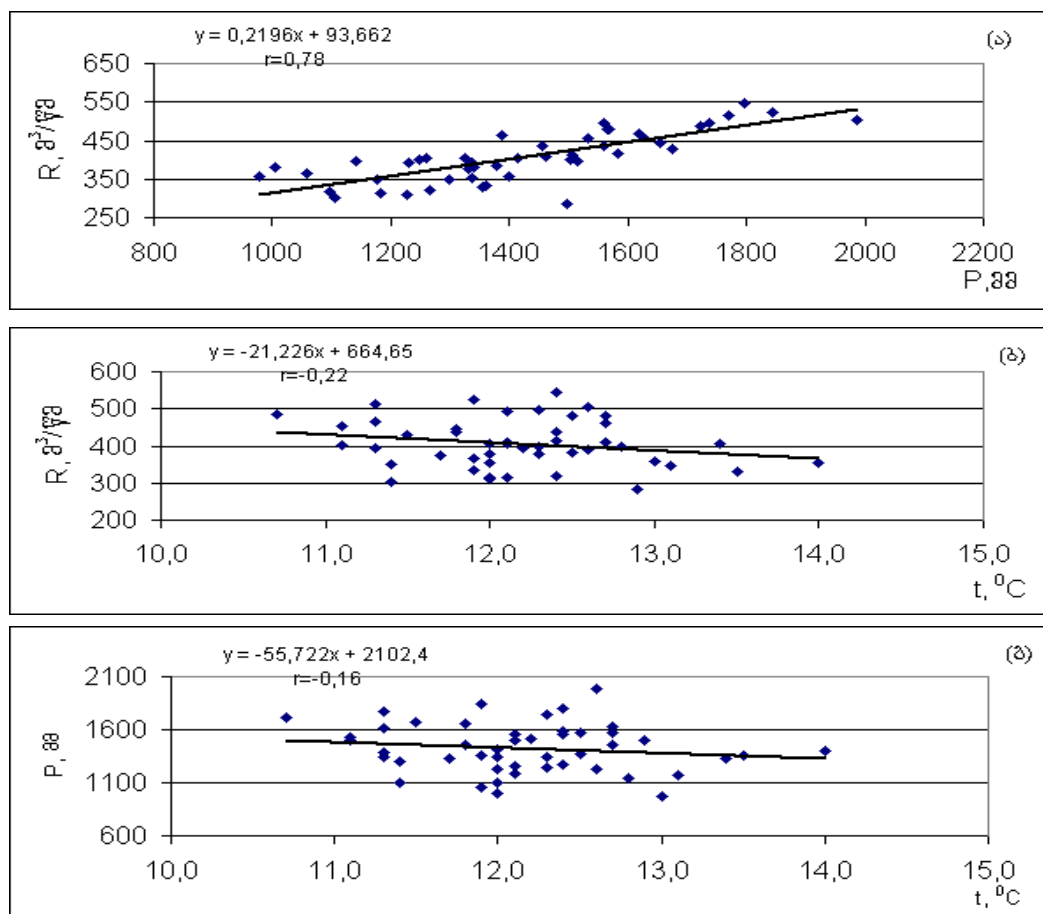
ცხრ.1.8. 1940–1986 წლებში მდ.რიონის ჩამონადენის, წყალშემკრებზე საშუალო წლიური ნალექებისა და ტემპერატურის ცვლილების სიჩქარის სიდიდეები, მიუვანილი 1-, 10-, 47-, 100-წლიან პერიოდებამდე

ჩამონადენის გამოთვლილი მნიშვნელობები R, მმ/წელა	R_0 მმ/წელა	ჩამონადენის ცვლილება $\Delta R=R_2-R_1$ მმ/წელა				ნორმის მიმართ ფარდობითი ცვლილება, $ \Delta R /R_0$ %			
		1	10	47	100	1	10	47	100
$R_2 = -0.0607 \times 1986 + 525.72 = 405$	407	-0.06	-0.64	-3.00	-6.38	0.016	0.16	0.74	1.57
$R_1 = -0.0607 \times 1940 + 525.72 = 408$									
ნალექების გამოთვლილი მნიშვნელობები P, მმ	P_0 მმ	ნალექების ცვლილება $\Delta P=P_2-P_1$ მმ				ნორმის მიმართ ფარდობითი ცვლილება, $ \Delta P /P_0$ %			
$P_2 = 2.5922 \times 1986 - 3657.4 = 1491$	1425	1	10	47	100	1	10	47	100
$P_1 = 2.5922 \times 1940 - 3657.4 = 1372$		2.53	25.3	119.0	253.0	0.18	1.80	8.36	17.75
ტემპერატურის გამოთვლილი მნიშვნელობები t, °C	t_0 °C	ტემპერატურის ცვლილება $\Delta t=t_2-t_1$ °C				ნორმის მიმართ ფარდობითი ცვლილება, $ \Delta t /t_0$ %			
$t_2 = -0.0012 \times 1986 + 11.59 = 12.21$	12.2	1	10	47	100	1	10	47	100
$t_1 = -0.0012 \times 1940 + 11.59 = 12.26$		-0.001	-0.01	-0.05	-0.11	0.008	0.08	0.41	0.90

როგორ შეიძლება ავხსნათ ეს, პირველი შეხედვით, წინააღმდეგობრივი შედეგი. საქმე იმაშია, რომ ნალექთა ჯამების ზომიერი მატების პირობებში, მაღალ-

მთიან და მთიან ზონებში საქმაოდ დიდი გატყიანება (მთელი ტერიტორიის 70–75%), პიდროგრაფიული და წყალსაცავთა განვითარებული ქსელი, ასევე კოლხეთის დაბლობზე ჭაობიანი ზონის არსებობა, ქმნიან პირობებს ერთის მხრივ, ჭაობებში და მიწისქვემა ჰორიზონტებში წყლის მარაგის დაგროვებისათვის, მეორეს მხრივ, ტყის ნარგავები (ვარჯი) ხელს უწყობს ატმოსფერული ნალექების ძლიერ დაკავებას. ამიტომ, ყოველივე აღნიშნული განაპირობებს სუსტ გავლენას ზედაპირულ ჩამონადენზე.

ნახ.1.8-ზე გრაფიკულად წარმოდგენილია მდ.რიონის – ჩამკეტ კვეთში საგ.საქონაკიძესთან წლიური ჩამონადენის სტატისტიკური დამოკიდებულება წყალშემკრებზე მოსულ საშუალო წლიურ ნალექთა ჯამებზე, ასევე ჩამონადენისა და ნალექთა ჯამების დამოკიდებულება აუზში საშუალო წლიურ ტემპერატურაზე. აქვე მოცემულია შესაბამისი ორცვლადიანი რეგრესიის განტოლებები და კორელაციის კოეფიციენტის მნიშვნელობები. როგორც ვხედავთ, ნალექების ზრდა მდ.რიონის აუზში იწვევს ჩამონადენის მომატებას, ხოლო ტემპერატურის ზრდა – ნალექებისა და ჩამონადენის კლებას. კვლევის ეს შედეგები აისახა მდ. რიონის – საგ.საქონაკიძესთან წლიური ჩამონადენის ფორმირების ემპირიულ–სტატისტიკურ და წყალბალანსურ მოდელებში, რომლებიც წარმოდგენილი არიან ცხრილებში 1.9 და 1.10. მოდელების გამოცდის შედეგებიც მოცემულია ამ ცხრილებში. მათი გათვალისწინებით ვდებულობთ, რომ ორცვლადიანი რეგრესიის განტოლებათა შეკრებით მიღებული და წყალბალანსური მოდელების ფარდობითი ცდომილებები ემთხვევა ერთმანეთს და შეადგენს 10%.



ნახ.1.8. (ა) კავშირი მდ.რიონის (საგ.საქონაკიძესთან) ჩამონადენსა და წყალშემკრებზე მოსულ წლიურ ნალექებს შორის; (ბ) ჩამონადენსა და აუზში ჰაერის საშუალო წლიურ ტემპერატურას შორის; (გ) ნალექებსა და ჰაერის ტემპერატურას შორის

ცხრილი 1.9. მდ.რიონის წლიური ჩამონადენის ფორმირების ემპირიულ—სტატისტიკური მოდელები

პიდრომეტეოროლოგიურ დაპვირვებათა მონაცემები					ემპირიულ—სტატისტიკური მოდელები მიღებული						
					ორცელადიანი რეგრესიის განტოლებათა შეკრებით $R=0,11 P - 10,6 t + 379,2$ $r=0,78; \sigma_R=27.33; S_R=17.10$			სამცვლადიანი რეგრესიის განტოლებით $R=0,22 P - 8.98 t+208.3$ $r=0.78; \sigma_R=27.33; S_R=17.10$			
n	დაცვირვების წლები	ჩამონადენი მდ.რიონი – საბაზოზე, R მ³/წელ	მდ.რიონის აუცილებელი წლიური ნალექები P, მმ	მდ.რიონის აუცილებელი წლიური ტემპერატურა t, °C	მდ.რიონის ჩამონადენის გამოზღვილი მდ.რიონის გამოზღვილი R მ³/წელ	აბსოლუტური ცდომილება, $ \Delta R $ მ³/წელ	გარდობითი ცდომილება, $ \Delta R /R\%$	მდ.რიონის ჩამონადენის გამოზღვილი მდ.რიონის გამოზღვილი R მ³/წელ	აბსოლუტური ცდომილება, $ \Delta R $ მ³/წელ	გარდობითი ცდომილება, $ \Delta R /R\%$	
1	2	3	4	5	6	7	8	9	10	11	
1	1940	503	1985	12,6	464	39	7,8	532	29	5,8	
2	1941	494	1559	12,1	422	72	14,5	443	51	10,3	
3	1942	380	1004	12,0	362	18	4,7	321	59	15,5	
4	1943	316	1097	12,0	372	56	17,7	342	26	8,2	
5	1944	400	1247	12,3	386	14	3,6	372	28	7,0	
6	1945	401	1504	11,1	427	26	6,5	440	39	9,7	
7	1946	406	1259	12,1	389	17	4,1	377	29	7,1	
8	1947	357	977	13,0	349	8	2,3	307	50	14,0	
9	1948	405	1413	12,0	407	2	0,5	411	6	1,5	
10	1949	302	1105	11,4	380	78	25,8	349	47	15,6	
11	1950	436	1455	11,8	414	22	5,1	422	14	3,2	
12	1951	383	1377	12,5	398	15	3,9	399	16	4,2	
13	1952	397	1141	12,8	369	28	7,1	344	53	13,4	
14	1953	514	1771	11,3	454	60	11,7	496	18	3,5	
15	1954	392	1230	12,6	381	11	2,9	366	26	6,6	
16	1955	284	1498	12,9	407	123	43,3	422	138	48,6	
17	1956	487	1721	10,7	455	32	6,6	491	4	0,8	
18	1957	348	1177	13,1	370	22	6,3	350	2	0,6	
19	1958	497	1736	12,3	440	57	11,6	480	17	3,4	
20	1959	466	1619	11,3	437	29	6,2	463	3	0,6	
21	1960	409	1461	12,7	405	4	1,0	416	7	1,7	
22	1961	396	1515	12,2	416	20	5,1	432	36	9,1	
23	1962	331	1356	13,5	385	54	16,3	385	54	16,3	
24	1963	546	1797	12,4	445	101	18,5	492	54	9,9	
25	1964	394	1338	11,3	406	12	3,0	401	7	1,8	
26	1965	354	1337	12,0	399	45	12,7	395	41	11,6	
27	1966	356	1399	14,0	384	28	7,9	390	34	9,6	
28	1967	428	1676	11,5	441	13	3,0	474	46	10,7	
29	1968	481	1568	12,5	419	62	12,9	441	40	8,3	
30	1969	310	1227	12,0	387	77	24,8	370	60	19,4	
31	1970	481	1565	12,7	417	64	13,4	439	42	8,7	
32	1971	415	1582	12,4	422	7	1,7	445	30	7,2	
33	1972	380	1339	12,3	396	16	4,2	392	12	3,2	
34	1973	350	1298	11,4	401	51	14,6	391	41	11,7	
35	1974	314	1183	12,1	381	67	21,3	360	46	14,6	
36	1975	411	1507	12,1	417	6	1,5	431	20	4,9	

ცხრილი 1.9-ს გაგრძელება										
37	1976	465	1387	11,3	412	53	11,4	412	53	11,4
38	1977	334	1361	11,9	403	69	20,7	401	67	20,1
39	1978	524	1845	11,9	456	68	13,0	507	17	3,2
40	1979	405	1324	13,4	383	22	5,5	379	26	6,4
41	1980	436	1558	12,4	419	17	3,9	440	4	0,9
42	1981	460	1625	12,7	423	37	8,0	452	8	1,7
43	1982	454	1534	11,1	430	24	5,3	446	8	1,8
44	1983	446	1655	11,8	436	10	2,2	466	20	4,5
45	1984	365	1059	11,9	369	4	1,1	334	31	8,5
46	1985	375	1331	11,7	401	26	6,9	396	21	5,6
47	1986	320	1267	12,4	387	67	20,9	376	56	17,5
საშ.		407,00	1424,87	12,16	406,84	37,33	9,64	412,5 8	32,68	8,72

ცხრილი 1.10. მდ.რიონის წლიური ჩამონადენის ფორმირების წყალბალანსური
(ლ.ტურკის) მოდელი (კალიბრების მუდმივა $c=5,0885$)

n	დაკვირვების წლები	ჩამონადენი მდ.რიონი – საბ.საქონაკიძე, R გ³/წ	მდ.რიონის აუზში საშუალო წლიური ნალექები P, მმ	მდ.რიონის აუზში ჰაერის საშუალო წლიური ტემპერა- ტურა t, °C	მდ.რიონის საბ.საქონაკიძე ჩამონადენის წლიური ვენის სიმაღლე, R მმ	ტემპერატურის ფუნქციის მნიშ- ვნელობები, $L=300+25t+0,05 t^3$	ჩამონადენის ვენის სიმაღ- ლის გამოთვლილი მნიშ- ვნელობები, R მმ	აბსოლუტური ცდომილება, $ ΔR $ მმ	ფარდობითი ცდომილება, $ ΔR /R \%$
1	1940	503	1985	12,6	1184,68	715,02	1430,08	245,40	20,71
2	1941	494	1559	12,1	1163,48	691,08	1070,32	93,16	8,01
3	1942	380	1004	12,0	894,99	686,40	630,56	264,43	29,55
4	1943	316	1097	12,0	744,25	686,40	700,19	44,06	5,92
5	1944	400	1247	12,3	942,09	700,54	813,04	129,05	13,70
6	1945	401	1504	11,1	944,44	645,88	1040,10	95,65	10,13
7	1946	406	1259	12,1	956,22	691,08	824,80	131,43	13,74
8	1947	357	977	13,0	840,81	734,85	603,87	236,94	28,18
9	1948	405	1413	12,0	953,87	686,40	950,31	3,56	0,37
10	1949	302	1105	11,4	711,28	659,08	711,85	0,57	0,08
11	1950	436	1455	11,8	1026,88	677,15	987,96	38,92	3,79
12	1951	383	1377	12,5	902,05	710,16	914,08	12,03	1,33
13	1952	397	1141	12,8	935,02	724,86	726,20	208,83	22,33
14	1953	514	1771	11,3	1210,59	654,64	1268,21	57,63	4,76
15	1954	392	1230	12,6	923,25	715,02	796,42	126,83	13,74
16	1955	284	1498	12,9	668,88	729,83	1006,82	337,94	50,52
17	1956	487	1721	10,7	1146,99	628,75	1235,79	88,80	7,74
18	1957	348	1177	13,1	819,62	739,90	750,59	69,03	8,42
19	1958	497	1736	12,3	1170,55	700,54	1217,95	47,40	4,05
20	1959	466	1619	11,3	1097,53	654,64	1135,33	37,80	3,44
21	1960	409	1461	12,7	963,29	719,92	979,50	16,22	1,68
22	1961	396	1515	12,2	932,67	695,79	1031,78	99,11	10,63
23	1962	331	1356	13,5	779,58	760,52	884,40	104,82	13,45
24	1963	546	1797	12,4	1285,95	705,33	1268,92	17,04	1,33
25	1964	394	1338	11,3	927,96	654,64	898,44	29,51	3,18
26	1965	354	1337	12,0	833,75	686,40	888,40	54,65	6,55
27	1966	356	1399	14,0	838,46	787,20	911,84	73,38	8,75
28	1967	428	1676	11,5	1008,04	663,54	1181,09	173,06	17,17

29	1968	481	1568	12,5	1132,86	710,16	1071,25	61,61	5,44
----	------	-----	------	------	---------	--------	---------	-------	------

(3 ხრის 1.10-ის გაგრძელება)

1	2	3	4	5	6	7	8	9	10
30	1969	310	1227	12,0	730,12	686,40	800,69	70,57	9,67
31	1970	481	1565	12,7	1132,86	719,92	1065,44	67,42	5,95
32	1971	415	1582	12,4	977,42	705,33	1084,68	107,26	10,97
33	1972	380	1339	12,3	894,99	700,54	886,12	8,86	0,99
34	1973	350	1298	11,4	824,33	659,08	864,54	40,21	4,88
35	1974	314	1183	12,1	739,54	691,08	765,24	25,70	3,47
36	1975	411	1507	12,1	968,00	691,08	1026,68	58,68	6,06
37	1976	465	1387	11,3	1095,18	654,64	938,82	156,36	14,28
38	1977	334	1361	11,9	786,64	681,76	909,18	122,54	15,58
39	1978	524	1845	11,9	1234,14	681,76	1321,31	87,18	7,06
40	1979	405	1324	13,4	953,87	755,31	860,54	93,32	9,78
41	1980	436	1558	12,4	1026,88	705,33	1064,52	37,64	3,67
42	1981	460	1625	12,7	1083,40	719,92	1115,78	32,38	2,99
43	1982	454	1534	11,1	1069,27	645,88	1065,68	3,59	0,34
44	1983	446	1655	11,8	1050,43	677,15	1157,40	106,97	10,18
45	1984	365	1059	11,9	859,66	681,76	672,34	187,31	21,79
46	1985	375	1331	11,7	883,21	672,58	887,45	4,24	0,48
47	1986	320	1267	12,4	753,67	705,33	827,62	73,95	9,81
საშ.		407,00	1424,87	12,16	957,52	694,69	962,64	89,00	9,72

ოდნავ უკეთესი გამოცდის შედეგი ახასიათებს სამცვლადიან რეგრესიის მოდელს (კორელაციის კოეფიციენტი $r=0.78$). ამ შემთხვევაში აბსოლუტური ცდომილება ტოლია $33 \text{ მ}^3/\text{წ}\cdot\text{მ}$ (განხილულ პერიოდში ჩამონადენის ნორმა შეადგენს $407 \text{ მ}^3/\text{წ}\cdot\text{მ}$), ხოლო ფარდობითი ცდომილება დაახლოებით $9\%-ია$. ამიტომ მდ.რიონის ჩამონადენის მოწყველადობის შეფასებისათვის, ძირითადად, გამოვიყენებთ სამცვლადიანი რეგრესიის მოდელს.

ამრიგად, ჩამონადენის ფორმირების მეორე სტატისტიკურ-ემპირიული მოდელის გამოყენებით და (1.40) და (1.41) გამოსახულებათა გათვალისწინებით მდ.რიონის აუზისათვის (ჩამპეტი კვეთი – საგ.საქოჩაკიძე) ვღებულობთ:

- ჩამონადენის მოწყველადობის სიდიდე წყალშემკრებზე მოსულ ნალექთა ცვლილების მიმართ ტოლია

$$n_1 = \frac{1424.87}{407} \times 0.22 = 0.7702;$$

- ჩამონადენის მოწყველადობის სიდიდე წყალშემკრებისათვის დამახასიათებელ ტემპერატურის ცვლილებისას ტოლია

$$n_2 = \frac{12.16}{407} \times 8.98 = 0.2683;$$

- მოწყველადობათა შეფარდება ტოლია

$$n = \frac{n_1}{n_2} = \frac{0.7702}{0.2683} \approx 3.$$

ამრიგად შეიძლება დაგასკვნათ, რომ განხილული აუზისათვის წლიური ჩამონადენის მოწყველადობა ნალექთა წლიური ჯამების ცვლილების მიმართ დაახლოებით 3-ჯერ მეტია ჩამონადენის მოწყველადობაზე წყალშემკრებისათვის დამახასიათებელი საშუალო წლიური ტემპერატურის ცვლილებისას. აღსანიშნავია, რომ პირველი სტატისტიკურ-ემპირიული მოდელით ჩატარებული ჩამონადენის შეფასება უჩვენებს, რომ მოწყველადობები ცალცალკე ნალექთა ჯამების და ტემპერატურის ცვლილებათა მიმართ ფაქტიურად ემთხვევა ერთმანეთს ($n \approx 1$).

შევაფასოთ ჩამონადენის მოსალოდნელი ცვლილება გლობალური დათბობის პირობებში, როდესაც ტემპერატურის მატება შეადგენს 3°C , ხოლო ნალექთა ჯამები მცირდება ნორმის 5-10%-ით.

გვაქვს

$$R=0.22P-8.98t+208.3,$$

საიდანაც ვღებულობთ

$$dR=0.22dP-8.98dt.$$

მაშინ

$$(dR)_1=0.22x(-1425x0.05)-8.98x3=-42.6 \text{ } \text{მ}^3/\text{წმ}, \text{ რაც შეადგენს ნორმის - 10\%};$$

$$(dR)_2=0.22x(-1425x0.1)-8.98x3=-58.3 \text{ } \text{მ}^3/\text{წმ} \text{ ანუ ნორმის -14\%.}$$

ამრიგად, აღნიშნული კლიმატური სცენარის პირობებში მდ.რიონის საქონაკიძესთან მოსალოდნელია ჩამონადენის შემცირება 10-14%-ით.

მდრიონი – სალპანას კვეთი

ცხრ.1.10(ა)-ში მოცემულია მდინარე რიონი – პიდროლოგიური საგუშაგო ალპანას ჩამპეტ კვეთისათვის წყალშემკრებ ტერიტორიაზე განთავსებული მეტეორადგურების და საგუშაგოების მონაცემები, გამოყენებული გამოთვლებში. წყალშემკრების საერთო ფართობი შეადგენს $S_1=2830 \text{ } \text{კ}^2$, აუზის საშუალო სიმაღლეა $H_1=1740 \text{ } \text{მ}$. ცხრილის ბოლოს მოყვანილია ჩამონადენის ფორმირების მაღლივი ზონისათვის დამახასიათებელი მეტეორელემენტების მნიშვნელობები, რომლებიც მიღებულია $700-2700 \text{ } \text{მ}$ სიმაღლეებზე განლაგებული პუნქტების მონაცემთა გასაშუალოებით.

ცხრ.1.10(ა)-ში მოცემული მეტეორელემენტების მნიშვნელობათა ჩასმით ლ. ტიურკის მოდელის ფორმულებში, ვღებულობთ:

$$\text{კალიბრების მუდმივა } C=150.5; \frac{\partial R}{\partial P} = 0.923; \frac{\partial R}{\partial t} = 0.232 \frac{\text{მ}}{\text{გრად}}.$$

ამრიგად, ტიურკის მოდელის საფუძველზე გვაქვს

$$dR=0.923dP-0.232dt$$

როგორც ვხედავთ ჩამონადენის მგრძნობიარობები ნალექებისა და ტემპერატურის ცვლილებათა მიმართ საწინააღმდეგო ნიშის არიან. მაგალითად, ორივე ელემენტის ერთდროული ზრდა იწვევს ჩამონადენის მომატებას ნალექთა ცვლილებების მხრივ და მის შემცირებას, გამოწვეულს ტემპერატურის ზრდით. მაგრამ შეფარდება

$$n = \frac{P_0}{t_0} \frac{\frac{\partial R}{\partial P}}{\frac{\partial R}{\partial t}} = \frac{1225}{7.9} \cdot \frac{0.923}{0.232} = 616.9 \approx 617.$$

ე. ტიურკის მოდელით ჩამონადენის მგრძნობიარობა ნალექთა ცვლილების მიმართ 617-ჯერ მეტია, ვიდრე მისი მგრძნობიარობა ტემპერატურის ცვლილების მიმართ, ამიტომ ამ შემთხვევაში გადამწყვეტი მნიშვნელობა ჩამონადენის მოწყვლადობაში შეაქვთ ნალექთა ვარიაციებს. ამას ადასტურებს შემდგები კლიმატური სცენარების მიხედვით შესრულებული ჩამონადენის ცვლილების შეფასება.

სცენარი I: დავუშვათ, რომ მოსალოდნელია ნალექთა ჯამების მომატება 10%-ით, ე. ი. $dP=0.1xP_0=0.1x1224 \text{ } \text{მმ}=122.4 \text{ } \text{მმ}$, ტემპერატურის ზრდა კი შეადგენს $dt=1^{\circ}\text{C}$ (12.7%).

თანახმად (25)-ისა, გვაქვს

$$dR=0.923x122.4 \text{ } \text{მმ}-0.232 \text{ } \text{მმ/გრად} \times 1\text{გრად}=112.975-0.232=112.7 \text{ } \text{მმ}$$

ამრიგად, ჩამონადენის ცვლილება შეადგენს $dR=113 \text{ } \text{მმ}$, ან საწყისი მნიშვნელობის (ნორმის) 10%-ს.

სცენარი II: $dR=122.4 \text{ } \text{მმ}$ (10%); $dt=2^{\circ}\text{C}$ (25.3%)

$$dR=0.923x122.4 \text{ } \text{მმ}-0.232 \text{ } \text{მმ/გრად} \times 2 \text{ } \text{გრად}=112.975-0.464=112.5 \text{ } \text{მმ}$$

ჩამონადენის ცვლილება შეადგენს $dR=112.5$ მმ (10%).

სცენარი III: $dP=0.05 \times 1224=61.2$ მმ (5%); $dt=1^{\circ}\text{C}$ (12.7%)

$$dR=0.923 \times 61.2 - 0.232 \times 1 = 56.488 - 0.232 = 56.26 \text{ მმ}$$

ჩამონადენის ცვლილება შეადგენს $dR=56.3$ მმ (5%).

ცხრილი 1.10(ა).მდ.რიონი-ს.ალპანას ჩამკეტი კვეთის წყალშემკრებ ტერიტორიაზე განლაგებული მეტეოპუნქტებისა და პიდროლოგიურ საგუშაგოთა მონაცემები

N ^o	პიდროლოგიურობის დოკუმენტი	სამისონის ულ.	2854	-2.4	7.3	968*	4.6	1.4	0.63	0.53	216	11.1
2	შემერი	1750				1212					2430	1620
3	შოვი	1507	7.0	5.2	15.6	1264	7.5	2.9	0.62	0.47	627	28.0
4	ლები	1380				1332					2430	1420
5	საბლოლო – გლობა	1265				1252					707	30.6
6	ურაფი	1150				1335					2370	1364
7	ზედათლუბი	1150				1032						
8	ხერგა	1131	8.0	6.7	17.6	1350	8.6	3.2	0.56	0.36		
9	უწერა	981				1495						
10	პიპილეთი	960				1079					1060	43.6
11	ლაგვანთა	853		9.5	19.2	1265					2210	1295
12	ლაილაში	836				1093					2010	73.6
13	სორი	800				1120					1940	1153
14	ონი	788	12.0	10.0	20.4	1048	9.4	5.1	0.59	0.42		
15	ხიდიკარი	680				1106						
16	ამბოლაური	544	13.0	11.2	21.9	1075	10.7	5.0	0.61	0.36	2830	101
17	ჭრებალო	525	13.0	11.4	22.1	1088	11.0	5.0	0.61	0.38	1740	1126
18	ალპანა	336				1095						
მეტეოლოგიურების საშუალო მნიშვნელობები ჩამონადენის ფორმირების მაღლივ ზონისათვის			9.0	7.9	18.2	1224	8.5	3.7	0.59	0.42	1740	1126

*-ნალექთა ჯამების მნიშვნელობა მოცემულია შესწორების გარეშე.

სცენარი IV: $dP=0.01 \times 1224=12.24$ მმ (1%) $dt=1^{\circ}\text{C}$ (12.7%).

$$dR=0.923 \times 12.24 - 0.232 \times 1 = 11.298 - 0.232 = 11.1 \text{ მმ}$$

ჩამონადენის მომატება შეადგენს $dR=11.1$ მმ ან დაახლოებით 1%-ს.

სცენარი V: $dP=0$; $dt=-1^{\circ}\text{C}$ (-12.7%).

$$dR=0.923 \times 0 - 0.232 \times (-1) = 0.232 \text{ მმ}$$

ჩამონადენი თითქმის არ იცვლება.

სცენარი VI: $dP = -122.4 \text{ მმ} (-10\%); dt = -1^\circ\text{C} (-12.7\%)$.

$$dR = 0.923x(-122.4) - 0.232x(-1) = -122.975 + 0.232 = -112.7 \text{ მმ.}$$

ჩამონადენის შემცირება შეადგენს $dR = -113 \text{ მმ} (-10\%)$.

სცენარი VII: $dP = -122.4 \text{ მმ} (-10\%); dt = 1^\circ\text{C} (12.7\%)$.

$$dR = -112.975 - 0.232 = -113.2 \text{ მმ.}$$

ჩამონადენის შემცირება ამ შემთხვევაში შეადგენს $dR = -113.2 \text{ მმ} (-10\%)$.

შევაფასოთ ჩამონადენის ცვლილება გლობალური დათბობის პირობებში შემდეგი კლიმატური სცენარის მიხედვით: დასავლეთ საქართველოს რეგიონში ტემპერატურის მატება შეადგენს 3°C , ხოლო ნალექთა ჯამში მცირდება ნორმის $5\%-ით$.

გვექნება

$$(dR)_1 = 0.923x(-61.2) - 0.232x3 = -57.2 \text{ მმ, რაც შეადგენს ნორმის } 5\%-ს.$$

$$(dR)_2 = 0.923x(-122.4) - 0.232x3 = -113.7 \text{ მმ, } (-10\%).$$

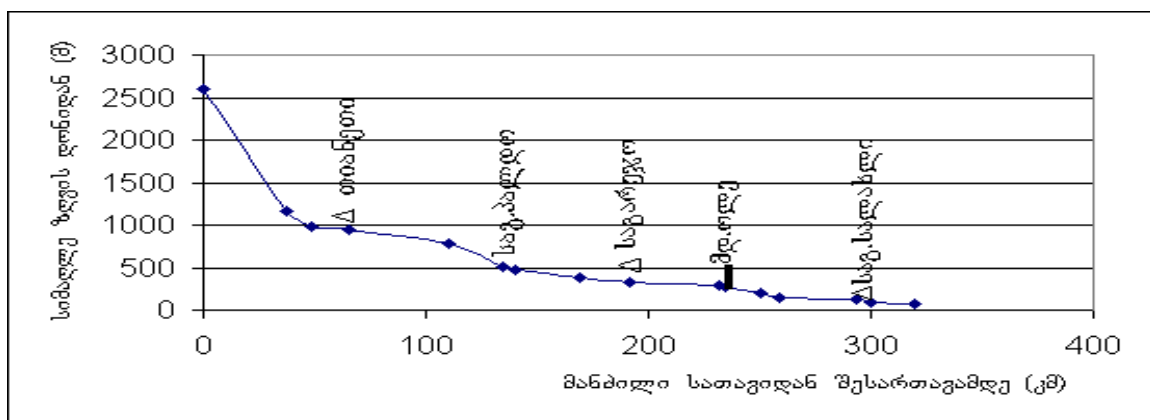
ამრიგად, გლობალური დათბობის აღნიშნული ძირითადი სცენარის მიხედვით მდ.რიონის-ს.ალპანას კვეთისთვის ჩამონადენის შემცირებამ შეიძლება შეადგინოს ნორმის $5\%-10\%$.

14.4.დედოფლისწყაროს რაიონი, მოსაზღვრე მდინარეების ალაზნისა და იორის აუზები

მესამე პრიორიტეტულ რეგიონში ჩამონადენის მოწყვლადობის შეფასება კლიმატის გამოვლენილ ცვლილებათა მიმართ განხილულია აღმოსავლეთ საქართველოს ორი უმთავრესი მდინარის – იორის და ალაზნის აუზებისათვის. მათი წყალშემკრების რაიონი ჩრდილოეთი პირიქითა და თუშეთის ალაზნისაგან გამოყოფილია კახეთის კავკასიონით, სამხრეთით – ქვემო ქართლის გაკისაგან საგურამო-იალნოს ქედით და მდინარე იორის და მტკვრის წყალგამყოფით, დასავლეთით – შიდა ქართლის ვაკისაგან ქართლის ქედით, ხოლო აღმოსავლეთით გაჰყება საქართველო – აზერბაიჯანის საზღვარს.

14.4.1.მდ.იორის აუზი

მდ.იორი სათავეს იღებს კავკასიონის ქედის სამხრეთ ფერდობიდან 2600 მ სიმაღლეზე ზღვის დონიდან (იხ.ნახ.1.9). ჩაედინება მინგეჩაურის წყალსაცავში. მდინარის სიგრძე 320 კმ-ია, წყალშემკრები აუზის ფართი შეადგენს 4650 კმ² (იხ.ცხრ.1.11). მდინარის აუზში პიდრომეტეოროლოგიური დაკვირვებები სხვადასხვა დროს ტარდებოდა 5 წყალსაზომ საგუშაგოზე და 3 მეტეოროლოგიურ სადგურზე, რომელთაგან დღეს ფუნქციონირებს 3 წყალსაზომი და 2 მეტეოროლოგიური კუნქტი (იხ.ცხრ.1.12).



ნახ.1.9. მდ.იორის გრძივი პროფილი

ცხრილი 1.11. მდ.იორის – საგ.სალახელი ძირითადი პიდროლოგიური მახასიათებლები [47]

მდინარე და მისი შენაკადი	სად ჩაედინება	საფუძვლის საკარის ტემპერატურა	ტემპერატურის გართობი, °C	ტემპერატურის რაოდინი, °C	გეოდეზიური მდგრადი	ტემპერატურის მინიმუმი	ტემპერატურის მაქსიმუმი
იორი – საგ.სალახელი	მინგეჩაურის წყალსაცავი	780	4190	509	320	0.38	17.4
ოლე	იორი	590	395	40	29	0.33	1.0

ცხრილი 1.12. მდ.იორის წყალშემკრებ აუზში განლაგებული მეტეოროლოგიური სადგურები

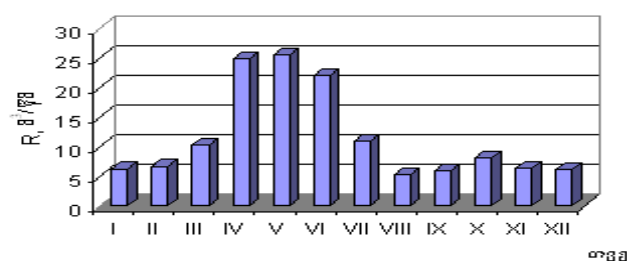
№	სადგური	სიმაღლე ზღვის დონიდან	საშუალო წლიური	
			ტემპერატურა, t, °C	ნალექი, Pmm
1	თიანეთი*	1099	7,5	795
2	საგარეჯო*	802	11,0	768
3	შიორავი	555	10,3	501

შენიშვნა * – მოქმედი მეტეოროლოგიური სადგურები

მდინარის აუზი, მახასიათებლების და კალაპოტის შესაბამისად, იყოფა სამ მონაკვეთად: სათავე – სოფ. პალდო; სოფ.პალდო – მდ.ოლეს შესართავი და მდ.ოლეს შესართავიდან – მინგეჩაურის წყალსაცავამდე.

პირველ მონაკვეთში მდინარის ფერდობების უმეტესი ნაწილი დაფარულია ფოთლოვანი ტყით (მუხა, კაკალი, წიფელი და სხვ.) წყალგამყოფზე და მდინარის სათავეში (1800–2000 მ) გვხვდება ალპური მდელოები. მეორე მონაკვეთის დასაწყისში ფოთლოვანი მცენარეული საფარს მუხას, თელას და ტირიფს ცვლის ბუჩქოვანი და სტეპური ბალახები, რომლებიც მდინარის მესამე მონაკვეთისთვისაც დამახასიათებელია. მდინარის მთელ სიგრძეზე ფერდობების ქანები აგებულია თიხნარებით.

საზრდოობის კლასიფიკაციის შესაბამისად მდ.იორი მიეკუთვნება მყინვარული, თოვლის და წვიმის წყლებით საზრდოობის ტიპს. წყალდიდობები აქ იწყება მარტის ბოლოს, აპრილის და აშშისში, მაქსიმუმი დაიკვირვება აპრილ – მაისში და მთავრდება ივლის–აგვისტოს ბოლოს (იხ.ნახ.1.10).



ნახ.1.10. მდ.იორის – საგ.სალახელი მრავალწლიური საშუალო თვიური ჩამონადენის რეევის გრაფიკი (1941-1985 წ.).

მდ.იორის აუზის წყლის რესურსების გამოყენება რეგულირდება სიონის და თბილისის წყალსაცავების ბაზაზე ზემო და ქვემო მაგისტრალური არხების საშუალებით (იხ.ცხრ.1.13), რომელნიც სრულად ჯერ კიდევ ვერ უზრუნველყოფენ იორის აუზის ქვემო წელში განლაგებულ ეკონომიკურ რაიონებს.

ცხრილი 1.13. მდ.იორის სათავე ნაგებობები

№	დასახელება	ექსპლუატაციაში შესვლის წელი	წყალმოხმარება $\text{მ}^3/\text{წ}$	სარწყავი ფართი, ათასი ჰა
1	ზემო მაგისტრალური სარწყავი სისტემა (სათავე ნაგებობა სოფ.პალდოსთან)	1951-1952	13.0	15.0
2	ქვემო მაგისტრალური სარწყავი სისტემა მარჯვენა და მარცხენა ნაპირების მაგისტრალური არხებით	1956	31.0	58.4

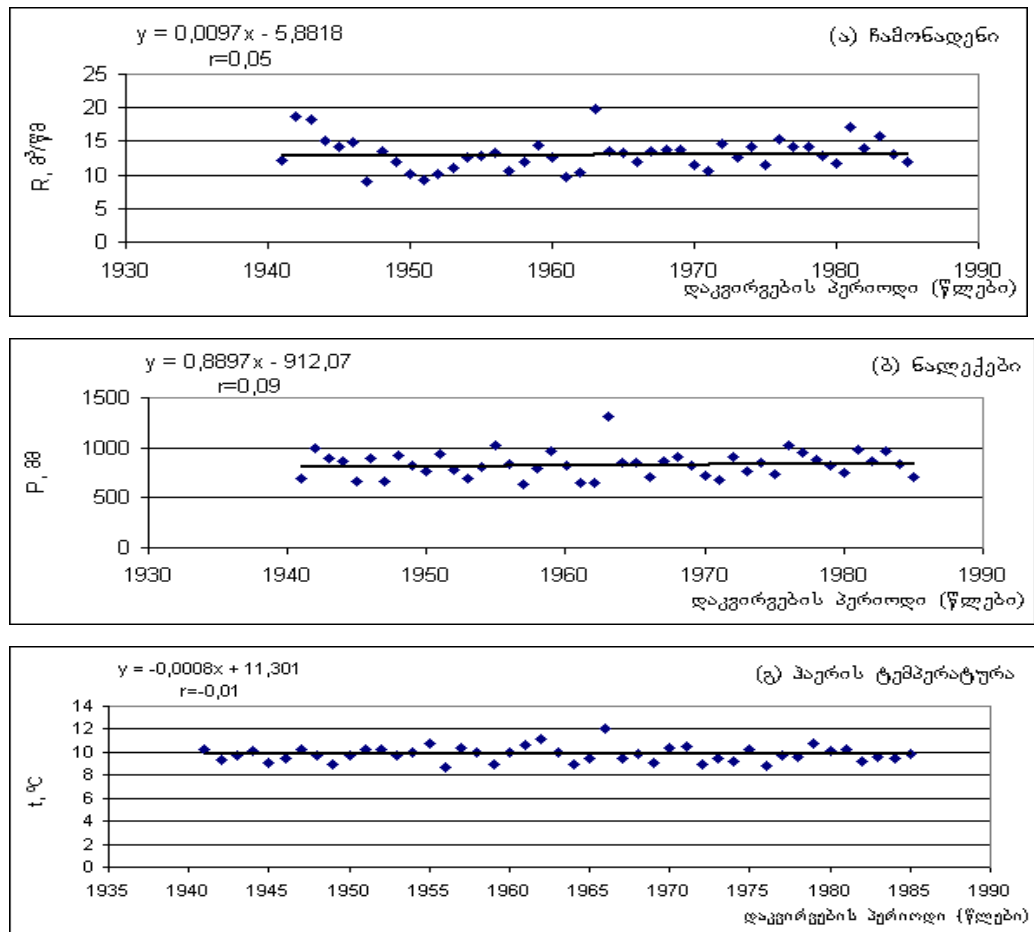
საკვლევ ტერიტორიაზე პიდროლოგიური გაზომვები წარმოებდა წყალშემკრები აუზის ჩამკეტ კვეთში (საგ.სალახლი), რომლის დაკვირვების პერიოდი 1941–1952 წლები (12 წელი) ემპირიულ–სტატისტიკური და წყალბალანსური გაანგარიშებისათვის და მოწყვლადობის შეფასებისათვის არასაკმარისია. აღნიშნულიდან გამომდინარე, საგ.სალახლის კვეთში ჩამონადენის რიგი 1953–1985 წლების პერიოდისათვის აღდგენილი იქნა:

- ა) საგუშაგოების ორხევი–სალახლის 1941–1952 წლებში არსებული ურთიერთკავშირებით (კორელაციის კოეფიციენტი $r=0,86$);
- ბ) 1941–1952 წლებში საგუშაგო სალახლის კვეთში ჩამონადენის კავშირით მდ.იორის აუზში ნალექთა წლიურ ჯამებთან (კორელაციის კოეფიციენტი $r=0,51$). აღმოჩნდა, რომ ასეთი მიღებომით მიღებული ჩამონადენის ორიგე რიგი დიდად არ განსხვავდება ერთმანეთისაგან – საშუალოები შესაბამისად ტოლია $\bar{R}_1 = 11,0 \text{ მ}^3/\text{წ}$ და $\bar{R}_2 = 13,1 \text{ მ}^3/\text{წ}$, ხოლო საშუალო კვადრატული გადახრები – $\sigma_{R_1} = 2,72 \text{ მ}^3/\text{წ}$ და $\sigma_{R_2} = 2,39 \text{ მ}^3/\text{წ}$, რაც მიუთითებს აღდგენის საიმედოობაზე. ბუნებრივია, რომ სიონის წყალსაცავის მშენებლობის შემდეგ 1953 წლიდან დაწყებულმა ჩამონადენის ყოველწლიურმა დარეგულირებამ გარკვეულწლად იმოქმედა საგ.ორხევის მონაცემებზე. ასევე, თბილისის წყალსაცავისა და სამგორის სარწყავი სისტემის ექსპლუატაციაში შესვლამ გავლენა მოახდინა საგ.სალახლის კვეთში გაზომილ წყლის ხარჯის მნიშვნელობებზე. ამიტომ, ბუნებრივი რიგის მიღების თვალსაზრისით, უპირატესობა მიენიჭა ჩამონადენის აღდგენას ნალექთა ჯამების მიხედვით, რამაც საშუალება მოგვცა საკვლევი აუზის საგ.სალახლის ჩამკეტ კვეთში დაკვირვებათა რიგი დაგვეგრძელებინა 1985 წლის ჩათვლით (45 წელი).

ამრიგად, 1941–1985 წლებში მდ.იორის აუზისათვის პაერის საშუალო წლიური ტემპერატურა გამოთვლილი იქნა მეტეოსადგურების თიანეთის, საგარეჯოს და შირაქის, ნალექთა წლიური ჯამების მნიშვნელობები კი მეტეოსადგურების თიანეთის და საგარეჯოს მონაცემების გასაშუალოებით (იხ.ცხრ.1.14), ხოლო საგ.სალახლის ჩამკეტ კვეთში შესაბამისი წლიური ჩამონადენის სიდიდე აღებული იქნა დაგრძელებული რიგიდან. ნახ.1.11-ზე წარმოდგენილია მათი დინამიკა, ცვლილების ტენდენციის ამსახველი ტრენდები, მოცემულია შესაბამისი რეგრესიის განტოლებები და კორელაციის კოეფიციენტის მნიშვნელობები.

ცხრ.1.14. 1941–1985 წლებში მდ.იორის ჩამონადენის, წყალშემკრებზე საშუალო წლიური ნალექებისა და ტემპერატურის ცვლილების სიდიდეები, მიუვანილი 1-, 10-, 45-, 100-წლიან პერიოდებამდე

ჩამონადენის გამოვლილი მნიშვნელობები R, $\text{mm}^3/\sqrt{\text{d}}$	R_0 $\text{mm}^3/\sqrt{\text{d}}$	ჩამონადენის ცვლილება				ნორმის მიმართ ფარდობითი ცვლილება, $ \Delta R /R_0 \%$			
		$\Delta R = R_2 - R_1 \text{ mm}^3/\sqrt{\text{d}}$							
		1	10	45	100	1	10	45	100
$R_2 = 0,0097 \times 1985 - 5,8818 = 13,37$	13,1	0,009	0,09	0,42	0,93	0,07	0,69	3,21	7,10
$R_1 = 0,0097 \times 1941 - ,8818 = 12,95$									
ნალექების გამოვლილი მნიშვნელობები P, mm	P_0, mm	ნალექების ცვლილება				ნორმის მიმართ ფარდობითი ცვლილება, $ \Delta P /P_0 \%$			
		$\Delta P = P_2 - P_1 \text{ mm}$				1	10	45	100
$P_2 = 0,8897 \times 1985 - 912,07 = 853,99$	834,5	0,87	8,70	39,15	87,00	0,10	1,04	4,69	10,43
$P_1 = 0,8897 \times 1941 - 912,07 = 814,84$									
ტემპერატურის გამოვლილი მნიშვნელობები t, $^{\circ}\text{C}$	$t_0, ^{\circ}\text{C}$	ტემპერატურის ცვლილება				ნორმის მიმართ ფარდობითი ცვლილება, $ \Delta t /t_0 \%$			
		$\Delta t = t_2 - t_1 \text{ } ^{\circ}\text{C}$				1	10	45	100
$t_1 = -0,0008 \times 1985 + 11,301 = 9,713$	9,8	0,0008	0,008	0,04	0,08	0,008	0,08	0,36	0,79
$t_2 = -0,0008 \times 1941 + 11,301 = 9,748$									



ნახ.1.11. მდ.იორის აუზისათვის 1941 – 1985 წლებში (ა) ჩამონადენის (R), (ბ) ნალექების წლიური ჯამების (P), (გ) ჰაერის ტემპერატურის (t) დინამიკა და შესაბამისი ტრენდები

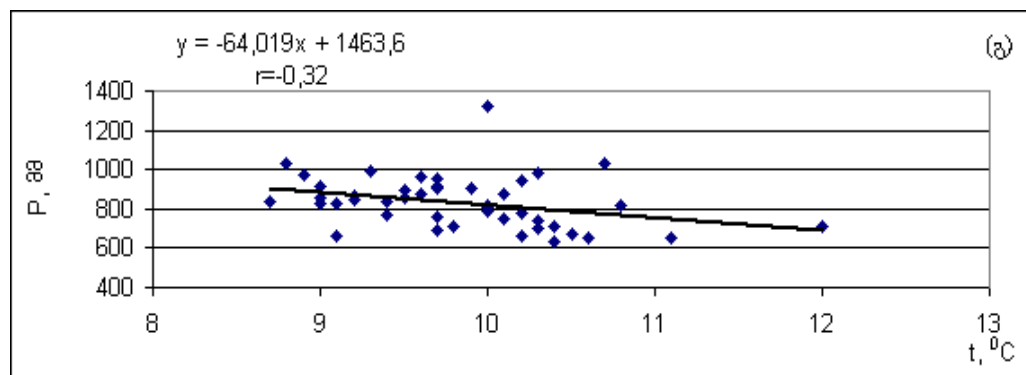
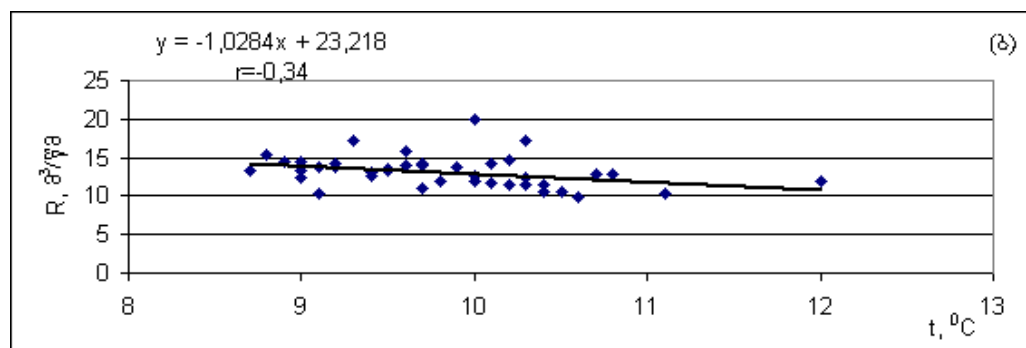
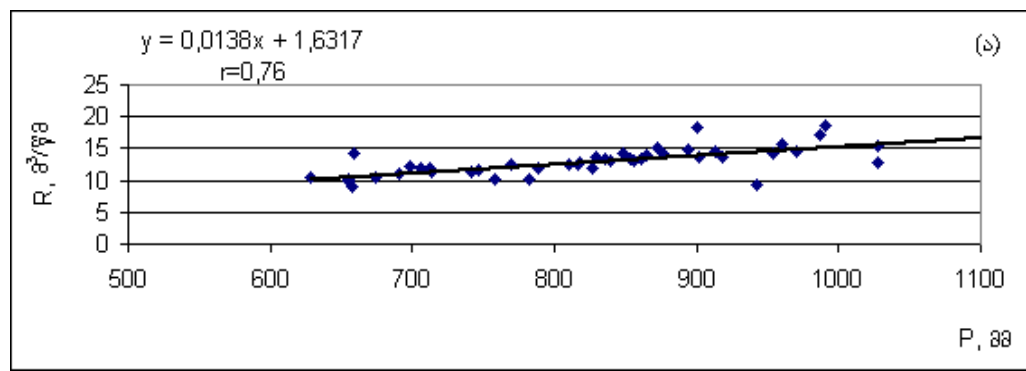
ამ მონაცემების საფუძველზე შეფასდა მდ.იორის წლიური ჩამონადენის, წყალშემკრებზე საშუალო წლიურ ნალექთა ჯამების და ჰაერის საშუალო წლიური ტემპერატურის ცვლილების სიჩქარეები (იხ.ცხრ.1.14), რომლის მიხედვით განხილულ 45 – წლიან პერიოდში დაიკვირვებოდა ჩამონადენის მატება $0,42 \text{ mm}^3/\sqrt{\text{d}}$.

ით, რაც ნორმის დაახლოებით 3%-ის გოლია, წყალშემკრებზე ნალექთა ჯამების ზრდამ შეადგინა 39 მმ (ნორმის 5%), ხოლო ჰაერის ტემპერატურა პრაქტიკულად უცვლელი დარჩა – მისი მატება ხდება სულ რაღაც $0,04^{\circ}\text{C}$ -ით. აღნიშნულ სიჩქარეთა სიდიდეები, მიყვანილი 10-წლიან პერიოდამდე, გვაძლევენ შემდეგ შეფასებას: აუზში უცვლელი ტემპერატურის ფონზე დაფიქსირებულია ნალექთა ჯამების ზრდა დაახლოებით 9 მმ-ით (ნორმის 1%) და ჩამონადენის მატება $0,09 \text{ mm}/\text{წელი}$ (ნორმის 0,7%). თუ კლიმატური მახასიათებლებისა და ჩამონადენის ცვლილების ეს ტენდენციები შენარჩუნდა, მაშინ მიმდინარე საუკუნის 50-იანი წლებისთვის უნდა ვივარაუდოთ მდიორის აუზში ნალექთა ზრდა $87 \text{ mm-ით} (10\%)$ და ჩამონადენის მატება დაახლოებით $1 \text{ mm}/\text{წელი}$ სიდიდით (7%) ფაქტიურად უცვლელი ჰაერის ტემპერატურის პირობებში (მომატება შეადგენს დაახლოებით $0,1^{\circ}\text{C}$).

როგორც აღნიშნული იყო, საგ.სალახლის კვეთში ჩამონადენის რიგის აღდგენა მოხერხდა 1941–1952 წლების მონაცემებით, როცა არ არსებობდა სიონის და თბილისის წყალსაცავები და მათი მკვებავი სამგორის ზემო და ქვემო მაგისტრალური სარწყავი სისტემა. ამიტომ, ჩამონადენის აღდგენილი რიგი ბუნებრივს წარმოადგენს და იგი არ არის დამახინჯებული სამეურნეო წყალაღებით და კომუნალური წყალმომარაგებით. ამ პირობებში ჩამონადენის დაფიქსირებული მცირე მატება უნდა გამოწვეული იყოს კლიმატური ფაქტორებით – წყალშემკრებზე ნალექების ზრდით ჰაერის ტემპერატურის მუდმივობის ფონზე. რადგან მიღებულ რეგრესიის განტოლებებს (ტრენდებს) ახასიათებთ მეტად დაბალი სტატისტიკური უზრუნველყოფა – ჩამონადენის შემთხვევაში კორელაციის კოეფიციენტი $r=0,05$, ხოლო ნალექებისა და ტემპერატურის რხევათა წრფივი აპროქსიმაციისათვის, შესაბამისად, $r=0,09$ და $r=0,02$, ასეთ პირობებში ზემოთ მოცემული კლიმატური კრონოზი არადამაჯერებლად გამოიყურება.

მჭიდრო სტატისტიკური კაგშირით აღინიშნა მდიორის (საგ.სალახლი) ჩამონადენის დამოკიდებულება წყალშემკრებზე მოსულ ნალექთა ჯამებზე ($r=0,76$), შედარებით სუსტია ჩამონადენის კავშირი აუზში ჰაერის საშუალო წლიურ ტემპერატურასთან ($r=-0,34$), აგრეთვე, ნალექების დამოკიდებულება ტემპერატურაზე ($r=-0,32$). ამ კავშირების ამსახველი გრაფიკები, რეგრესიის განტოლებები და კორელაციის კოეფიციენტის მნიშვნელობები მოცემულია ნახ.1.12-ზე.

დაკვირვებათა რიგების სტატისტიკური ანალიზის საფუძველზე მიღებული ემპირიულ-სტატისტიკური და წყალბალანსური მოდელები, ასევე მათი გამოცდის შედეგები წარმოდგენილია ცხრილებში 1.15 – 1.16. აღსანიშნავია, რომ ზოგიერთ შემთხვევაში – ცალკეულ წლებში, წყალბალანსური მოდელით გამოთვლილი ჩამონადენის მნიშვნელობები უარყოფითია, რაც ფიზიკურად მიუღებელია. ეტყობა ჩამონადენის წყალბალანსური მოდელი მეტად მგრძნობიარე აღმოჩნდა კომპლექსის “ტემპერატურა – ნალექები” რეალურ მდგრმარეობასთან შეუსაბამობის მიმართ. კერძოდ, შედარებით მცირე ნალექებისა და ტემპერატურის ფუნქციის მაღალი მნიშვნელობებისათვის მიღება ჩამონადენის უარყოფითი სიდიდეები. აღნიშნული შეუსაბამობა შეიძლება გამოწვეული იყოს ჩამონადენის ფორმირების სიმაღლებრივ ზონაში განლაგებული არასაკმარისი რაოდენობის მეტეოროლოგურების მონაცემებთან წყლის ხარჯების აღდგენილი რიგის შეუთავსებლობით.



ნახ.1.12. (ა) კავშირი მდ.იორის (საგ.სალახლი) ჩამონადენსა და წყალშემკრებზე მოსულ წლიურ ნალექებს შორის; (ბ) ჩამონადენსა და აუზში პაერის საშუალო წლიურ ტემპერატურას შორის; (გ) ნალექებსა და პაერის ტემპერატურას შორის

ცხრილი 1.15. მდ.იორის წლიური ჩამონადენის ფორმირების ემპირო-
ულ-სტატისტიკური მოდელების გამოცდის შედეგები

პარამეტრები					თრცვლადიანი რეგრესიის განტოლებათა შეკრებით მიღებული მოდელი R=0,007P-0,514t+12,425; r=0,61; σ_R=0,23; S_R=0,18.			სამცვლადიანი რეგრესიის განტოლებით მიღებული მოდელი R=0,009P-0,749t+12,93; r=0,61; σ_R=0,23; S_R=0,18.		
n	დააქცირების წლები	ჩამონადენი მდ.იორი – საბ.სალახელი (1953 წლიდან – აღდანებილი), R გვ/წ	მდ. იორის აუზში საშუალო წლიური ნალექები P, მმ აღწერა t,C	მდ.იორის აუზში საშუალო ხაშუალო წლიური ტემპერა- ტურა t,C	მდ.იორის ჩამონადენის გამ- ოთვლილი მინიჭნებლის, R გვ/წ	აბსოლუტური ცვლილება ΔR გვ/წ	გარღობითი ცვლილება, ΔR/R %	მდ.იორის ჩამონადენის გამ- ოთვლილი მინიჭნებლის, R გვ/წ	აბსოლუტური ცვლილება ΔR გვ/წ	გარღობითი ცვლილება, ΔR/R %
1	2	3	4	5	6	7	8	9	10	11
1	1941	12,1	698,0	10,3	12,02	0,08	0,66	11,50	0,60	4,96
2	1942	18,7	990,5	9,3	14,58	4,12	22,03	14,88	3,82	20,43
3	1943	18,2	901,0	9,7	13,75	4,45	24,45	13,77	4,43	24,34
4	1944	15,1	872,0	10,1	13,34	1,76	11,66	13,21	1,89	12,52
5	1945	14,3	658,5	9,1	12,36	1,94	13,57	12,04	2,26	15,80
6	1946	14,8	894,5	9,5	13,80	1,00	6,76	13,87	0,94	6,35
7	1947	8,9	658,0	10,2	11,79	2,89	32,45	11,21	2,31	25,98
8	1948	13,6	918,0	9,7	13,87	0,27	1,95	13,93	0,33	2,40
9	1949	11,9	826,5	9,0	13,58	1,68	14,16	13,63	1,73	14,52
10	1950	10,2	757,5	9,7	12,74	2,54	24,92	12,48	2,28	22,37
11	1951	9,24	942,5	10,2	13,78	4,54	49,13	13,77	4,53	49,06
12	1952	10,2	782,0	10,2	12,66	2,46	24,08	12,33	2,13	20,86
13	1953	11,01	691,0	9,7	12,28	1,27	11,50	11,88	0,87	7,94
14	1954	12,54	810,5	10,0	12,96	0,42	3,34	12,73	0,19	1,55
15	1955	12,75	1028,0	10,7	14,12	1,37	10,75	14,17	1,42	11,12
16	1956	13,39	835,5	8,7	13,80	0,41	3,07	13,93	0,54	4,06
17	1957	10,59	629,0	10,4	11,48	0,89	8,43	10,80	0,21	2,00
18	1958	12,04	788,0	10,0	12,80	0,76	6,32	12,53	0,49	4,09
19	1959	14,49	970,5	8,9	14,64	0,15	1,06	15,00	0,51	3,51
20	1960	12,57	816,5	10,0	13,00	0,43	3,42	12,79	0,22	1,74
21	1961	9,76	654,5	10,6	11,56	1,80	18,42	10,88	1,12	11,49
22	1962	10,26	655,5	11,1	11,31	1,05	10,22	10,52	0,26	2,49
23	1963	19,85	1319,0	10,0	16,52	3,33	16,78	17,31	2,54	12,80
24	1964	13,41	853,5	9,0	13,77	0,36	2,71	13,87	0,46	3,43
25	1965	13,20	855,5	9,5	13,53	0,33	2,50	13,51	0,31	2,38
26	1966	11,90	706,0	12,0	11,20	0,70	5,88	10,30	1,60	13,45
27	1967	13,43	861,0	9,5	13,57	0,14	1,03	13,56	0,13	0,99
28	1968	13,65	902,0	9,9	13,65	0,00	0,00	13,63	0,02	0,15
29	1969	13,70	829,0	9,1	13,55	0,15	1,09	13,58	0,12	0,88
30	1970	11,39	714,0	10,4	12,08	0,69	6,04	11,57	0,18	1,58
31	1971	10,50	674,0	10,5	11,75	1,25	11,87	11,13	0,63	6,01
32	1972	14,55	913,5	9,0	14,19	0,36	2,47	14,41	0,14	0,96
33	1973	12,55	770,0	9,4	12,98	0,43	3,45	12,82	0,27	2,15
34	1974	14,27	848,5	9,2	13,64	0,63	4,41	13,68	0,59	4,13
35	1975	11,40	741,5	10,3	12,32	0,92	8,08	11,89	0,49	4,29
36	1976	15,39	1027,5	8,8	15,09	0,30	1,95	15,59	0,20	1,28
37	1977	14,23	953,5	9,7	14,11	0,12	0,84	14,25	0,02	0,11
38	1978	14,10	876,5	9,6	13,63	0,47	3,33	13,63	0,47	3,33

ცხრილი 1.15-ის გაგრძელება

39	1979	12,90	818,0	10,8	12,60	0,30	2,33	12,20	0,70	5,43
40	1980	11,62	746,0	10,1	12,46	0,84	7,19	12,08	0,46	3,95
41	1981	17,10	987,0	10,3	14,04	3,06	17,89	14,10	3,00	17,54
42	1982	13,87	864,5	9,2	13,75	0,12	0,87	13,82	0,05	0,36
43	1983	15,76	960,5	9,6	14,21	1,55	9,84	14,38	1,38	8,76
44	1984	12,99	839,5	9,4	13,47	0,48	3,69	13,44	0,45	3,50
45	1985	11,87	712,0	9,8	12,37	0,50	4,23	12,00	0,13	1,08
		13,1	834,46	9,83	13,2	1,2	9,4	13,1	1,1	8,2

ცხრილი 1.16. მდ.იორის წლიური ჩამონადენის ფორმირების წყალბალანსური
(ლ.ტიურკის) მოდელის გამოცდის შედეგები (კალიბრების მუდმივა $c = -0,78$)

n	დაკვირვების წლები	ჩამონადენი მდ.იორის – საბ.სალაბლი, R მ3/წ'გ	მდ.იორის აუზში საშუალო წლიური ნალექები P, მმ	მდ.იორის აუზში ჰაერის საშუალო წლიური ტემპერატურა t, °C	მდ.იორის საბ.სალახლი ჩამონადენის წლიური ვენის ხმალება, R მმ	ტემპერატურის ფუნქციის მნიშვნელობები, L=300+25+0,05t³	ჩამონადენის ვენის ხმალება გამოვლილი მნიშვნელობები, R მმ	აბსოლუტური ცდომილება, ΔR მმ	ცარილობითი ცდომილება, ΔR R %
1	2	3	4	5	6	7	8	9	10
1	1941	12,1	698,0	10,3	91,1	612,14	–	–	–
2	1942	18,7	990,5	9,3	140,9	572,72	324,38	183,53	130,30
3	1943	18,2	901,0	9,7	137,1	588,13	181,22	44,13	32,19
4	1944	15,1	872,0	10,1	113,7	604,02	108,44	-5,30	-4,66
5	1945	14,3	658,5	9,1	107,7	565,18	–	–	–
6	1946	14,8	894,5	9,5	111,5	580,37	186,34	74,86	67,15
7	1947	8,9	658,0	10,2	67,0	608,06	–	–	–
8	1948	13,6	918,0	9,7	102,4	588,13	204,70	102,26	99,83
9	1949	11,9	826,5	9,0	89,6	561,45	124,72	35,09	39,14
10	1950	10,2	757,5	9,7	76,8	588,13	–	–	–
11	1951	9,24	942,5	10,2	69,6	608,06	202,58	132,98	191,07
12	1952	10,2	782,0	10,2	76,8	608,06	–	–	–
13	1953	11,01	691,0	9,7	82,9	588,13	–	–	–
14	1954	12,54	810,5	10,0	94,5	600,00	17,55	-76,91	-81,42
15	1955	12,75	1028,0	10,7	96,0	628,75	280,87	184,83	192,46
16	1956	13,39	835,5	8,7	100,9	550,43	158,73	57,87	57,38
17	1957	10,59	629,0	10,4	79,8	616,24	–	–	–
18	1958	12,04	788,0	10,0	90,7	600,00	–	–	–
19	1959	14,49	970,5	8,9	109,1	557,75	323,17	214,03	196,10
20	1960	12,57	816,5	10,0	94,7	600,00	27,85	-66,83	-70,59
21	1961	9,76	654,5	10,6	73,5	624,55	–	–	–
22	1962	10,26	655,5	11,1	77,3	645,88	–	–	–
23	1963	19,85	1319,0	10,0	149,5	600,00	663,80	514,28	343,97
24	1964	13,41	853,5	9,0	101,0	561,45	163,69	62,69	62,06
25	1965	13,20	855,5	9,5	99,4	580,37	130,62	31,19	31,38
26	1966	11,90	706,0	12,0	89,6	686,40	–	–	–
27	1967	13,43	861,0	9,5	101,2	580,37	138,69	37,53	37,10
28	1968	13,65	902,0	9,9	102,8	596,01	168,04	65,23	63,44
29	1969	13,70	829,0	9,1	103,2	565,18	121,12	17,93	17,37

ცხრილი 1.16-ის გაგრძელება									
30	1970	11,39	714,0	10,4	85,8	616,24	—	—	—
31	1971	10,50	674,0	10,5	79,1	620,38	—	—	—
32	1972	14,55	913,5	9,0	109,6	561,45	244,99	135,40	123,54
33	1973	12,55	770,0	9,4	94,5	576,53	1,45	-93,08	-98,47
34	1974	14,27	848,5	9,2	107,5	568,93	142,45	34,97	32,53
35	1975	11,40	741,5	10,3	85,9	612,14	—	—	—
36	1976	15,39	1027,5	8,8	115,9	554,07	397,38	281,46	242,80
37	1977	14,23	953,5	9,7	107,2	588,13	252,17	144,98	135,27
38	1978	14,10	876,5	9,6	106,2	584,24	153,76	47,55	44,78
39	1979	12,90	818,0	10,8	97,2	632,99	—	—	—
40	1980	11,62	746,0	10,1	87,5	604,02	—	—	—
41	1981	17,10	987,0	10,3	128,8	612,14	255,34	126,54	98,25
42	1982	13,87	864,5	9,2	104,5	568,93	165,34	60,87	58,26
43	1983	15,76	960,5	9,6	118,7	584,24	267,83	149,12	125,62
44	1984	12,99	839,5	9,4	97,8	576,53	114,37	16,52	16,89
45	1985	11,87	712,0	9,8	89,4	592,06	—	—	—
საშუალო		13,1	834,46	9,83	98,80	593,76	197,20	297,51	77,99

მოდელების გამოცდის საფუძველზე შერჩეული იქნა ემპირიულ-სტატისტიკური მოდელი, აგებული სამცვლადიანი რეგრესიის განტოლებაზე. მას ახასიათებს კორელაციის კოეფიციენტი $r=0,61$, აბსოლუტური ცდომილების სიდიდე $|\Delta R|=1.1 \text{ } \text{dm}^3/\text{m}^3$ და ფარდობითი ცდომილება $|\Delta R|/R \approx 8\%$.

ამრიგად, მდ.იორის აუზისათვის – ჩამკეტი კვეთი საგ.სალახლი, ვდებულობთ:

- ჩამონადენის მოწყვლადობის სიდიდე წყალშემკრებზე მოსულ ნალექთა ჯამების ცვლილებისას ტოლია

$$n_1 = \frac{834,5}{13,1} \times 0,009 = 0,57;$$

- ჩამონადენის მოწყვლადობის სიდიდე წყალშემკრებისათვის დამახასიათებელ ტემპერატურის ცვლილებისას ტოლია

$$n_2 = \frac{9,8}{13,1} \times 0,749 = 0,56;$$

- მოწყვლადობათა შეფარდება ტოლია

$$n = \frac{n_1}{n_2} = \frac{0,57}{0,56} \approx 1.$$

ეს იმას ნიშნავს, რომ მდ.იორის აუზისათვის წლიური ჩამონადენის მოწყვლადობა მოსულ ნალექთა წლიური ჯამების ცვლილებისას ტოლია მოწყვლადობისა წყალშემკრებზე საშუალო წლიური ტემპერატურის ცვლილების მიმართ. აღსანიშნავია, რომ პირველი ემპირიულ-სტატისტიკური მოდელის მიხედვითაც აღნიშნული მოწყვლადობები ასევე ერთმანეთის ტოლია.

შევაფასოთ ჩამონადენის მოსალოდნელი ცვლილება გლობალური დათბობის პირობებში, როდესაც აღმოსავლეთ საქართველოს რეგიონში ტემპერატურის მატება შეადგენს 4°C , ხოლო ნალექთა ჯამების შემცირება ხდება ნორმის 10%-ით.

გვაქვს შემდეგი სტატისტიკურ-ემპირიული მოდელი:

$$R=0.009P-0.749t+12.93,$$

საიდანაც

$$dR=0.009dP-0.749dt.$$

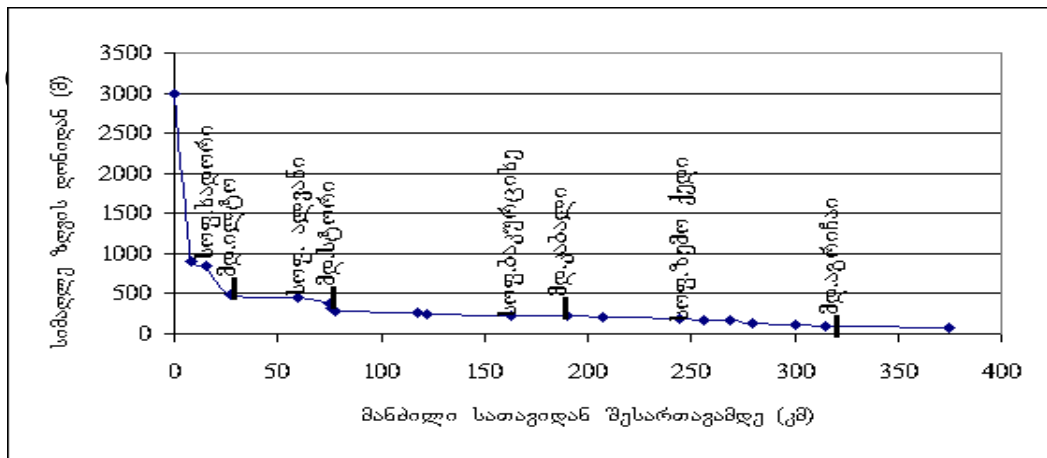
ამიტომ

$$dR=0.009(-834.5 \times 0.1) - 0.749 \times 4 = -3.75 \approx -3.8 \text{ } \text{dm}^3/\text{m}^3, \text{ რაც შეადგენს ნორმის - 29\%}.$$

ამრიგად აღნიშნული კლიმატური სცენარის პირობებში მდ.იორის-ს.სადახლის კვეთისათვის ჩამონადენის შემცირებამ შეიძლება შეადგინოს 29%.

1.4.4.2. მდ.ალაზნის აუზი

მდ.ალაზნის სათავეს იღებს კავკასიონის სამხრეთ ფერდობიდან მთა ბორბალოს ძირის მახლობლად, ზღვის დონიდან 3000 მ სიმაღლეზე (იხ.ნახ. 1.13). ჩაედინება მინგეჩაურის წყალსაცავში. მდინარის სიგრძე 375 კმ-ია, წყალშემკრები აუზის ფართი შეადგენს 11800 (განსახილველ კვეთამდე 11600) კმ² (იხ.ცხრ.1.17). მდინარის აუზში პიდრომეტეოროლოგიური დაკვირვებები სხვადასხვა დროს ტარდებოდა 5 წყალსაზომ საგუშავოზე და 6 მეტეოროლოგიურ სადგურზე, რომელთაგან დღეს ფუნქციონირებს 2 პიდროლოგიური და 3 მეტეოროლოგიური პუნქტი (იხ.ცხრ.1.18).



ნახ.1.13. მდ.ალაზნის გრძივი პროფილი

ცხრილი 1.17. მდ.ალაზნის – საგ.მდ.აგრიჩაის შესართავიდან 2 კმ-ში ძირითადი პიდროლოგიური მახასიათებლები [47]

მდინარე და მისი შენაკადი	სად ჩაედინება	მინგეჩაურის წყალსაცავი	მდ.ალაზნის წყალდონის ფართი (კმ ²)	მდ.ალაზნის წყალდონის მარტივი მარაგი (მ)	მდინარის სიმაღლე (მ)	მდ.ალაზნის წყალდონის მარტივი მარაგი (მ)	მდ.ალაზნის წყალდონის მარტივი მარაგი (მ)
მდ.ალაზნის – საგ.მდ.აგრიჩაის შესართავიდან 2 კმ-ში	მინგეჩაურის წყალსაცავი	900	11600	1803	351	0.48	112
ილტო	ალაზანი	1250	337	115	43	0.79	6.50
სტორი	ალაზანი	1610	281	12	38	0.71	9.55
ჩელთა	ალაზანი	1420	144	10	28	0.82	3.74
დურუჯი	ალაზანი	1350	91	3	26	0.72	-
კაბალა	ალაზანი	850	391	100	48	0.87	-

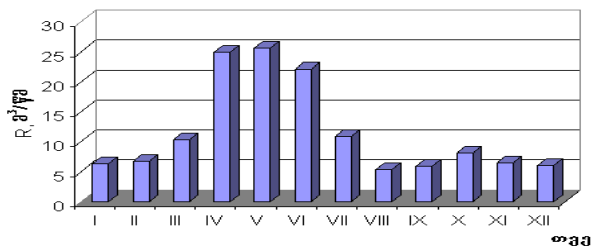
მდ.ალაზნის წყლიანობის რეჟიმი გაზაფხულ-ზაფხულის წყალდიდობით და წვიმის წყალმოვარდნებით ხასიათდება, მდინარის კვება წლის განმავლობაში შერეული საზრდოობისაა (თოვლის და წვიმის წყლებით). წყალდიდობები აქ იწყება მარტის ბოლოს, აპრილის დასაწყისში, მაქსიმუმი დაიკვირვება აპრილ – მაისში და მთავრდება ივნის-აგვისტოს ბოლოს. 1941-1985 წლებში მდ.ალაზნის საშუალო მრავალწლიური ჩამონადენის განაწილება თვეების მიხედვით

მოცემულია ჩამპეტი კვეთისათვის, რომელიც განლაგებულია მდ.აგრიჩაის შესართავიდან 2 კმ-ით დაბლა (იხ.ნახ.1.14).

ცხრილი 1.18. მდ.ალაზნის წყალშემკრებზე განლაგებული მეტეოროლოგიური სადგურები

№	მეტეოროლო-გიური სადგური	სიმაღლე ზღვის დონიდან, მ	საშუალო წლიური	
			ჰაერის ტემპერატურა, $^{\circ}\text{C}$	ნალექები, P მმ
1	ახმეტა	567	11.6	788
2	თელავი*	568	11.8	770
3	ყვარელი	449	12.5	991
4	გურჯაანი	410	12.4	741
5	ლაგოდეხი*	362	12.6	1004

შენიშვნა * - მომქმედი პუნქტები



ნახ.1.14. მდ.ალაზნის – საგ. მდ.აგრიჩაის შესართავიდან 2 კმ-ში საშუალო მრავალწლიური ჩამონადენის განაწილება თვეების მიხედვით (1941-1985 წ.წ.)

მდინარის წყალშემკრების მახასიათებლებისა და კალაპოტის თავისებურებათა გათვალისწინებით აუზი შეიძლება დაიყოს სამ მონაკვეთად: სათავე – მდ. ილტოს შესართავამდე; მდ.ილტოს შესართავიდან – მდ.ალაზნის სარწყავი სისტემის სათავე ნაგობობამდე და სათავე ნაგებობიდან მდ.აგრიჩაის შესართავამდე.

პირველ მონაკვეთში მდინარის ფერდობების ნაწილი დაფარულია ალპური და სუბალპური მდელოებით, რომელსაც ცვლის ტყის ზონა. მას წყალშემკრები აუზის 46% უჭირავს და დაფარულია წიფლნარებით და მუხნარ-რცხილნარებით. მდინარის მეორე და მესამე მონაკვეთის მცენარეული საფარი ბუჩქოვანი და სტეპური ბალახებით ხასიათდება.

მდინარის მთელ სიგრძეზე ფერდობების ქანები აგებულია თიხნარებით.

მდ.ალაზნის წყლის რესურსები ძირითადად გამოიყენება შიდა კახეთის სასოფლო–სამეურნეო კულტურების მოსარწყავად (იხ.ცხრ. 1.19)

მდ.ალაზნის აუზში წლიური ჩამონადენის, წყალშემკრებზე მოსული ნალექთა ჯამებისა და ჰაერის საშუალო წლიური ტემპერატურის დინამიკა 1941-1985 წლებში დადგენილ იქნა 5 მეტეოროლოგიურის – ახმეტა, თელავი, გურჯაანი, ყვარელი, ლაგოდეხი – მონაცემების გასაშუალოებით (იხ.ცხრ.1.20), აგრეთვე, მდ.აგრიჩაის შესართავიდან 2 კმ-ში განლაგებული ჰაეროლოგიური საგუშავოს ჩამპეტი კვეთში გაზომილი წყლის წლიური ხარჯის მნიშვნელობებით. აღნიშნულ პრიორიტეტულ რე-

გიონში ზედაპირული წყლის რესურსების საბაზისო მდგომარეობის შესასწავლად, ასევე, ემპირიულ-სტატისტიკური და წყალბალანსური მოდელების ასაგებად და მოწყვლადობის შესაფასებლად, განხილულ ჩამქეტ კვეთისათვის შესრულდა ჰიდროლოგიურ დაკვირვებათა რიგის დაგრძელება მდ.იორის ჩამონადენის სინკრონულად. კერძოდ, 1950–1975 წლებში მდ.ალაზნის ჩამქეტ კვეთში გაზომილი წყლის წლიური ხარჯის არსებული მნიშვნელობები დაუკავშირდა აუზში მოსულ ნალექთა ჯამებს (კორელაციის კოეფიციენტი $r=0,73$), რამაც საშუალება მოგვაც საკვლევი ტერიტორიის დამახასიათებელი ნალექებით აღგვედგინა 1941–1985 წლების (45 წელი) შესაბამისი ჩამონადენის რიგი.

ცხრილი 1.19. შიდა კახეთის სარწყავი სისტემები

№	სარწყავი სისტემის და არხის დასახელება	საზრდოობის წყარო	სარწყავი ფართი (ჰა)
1	ალაზნის ქვემო სარწყავი სისტემა	მდ.ალაზანი	22000
2	ალაზნის მარცხენა არხი	—	—
3	ალაზნის ზემო სარწყავი სისტემა	—	—
4	ალაზნის მარჯვენა არხი	ზემო ალაზნის სისტემა	—
5	ჯოულა-მატანის არხი	მდ.ალაზანი	—
6	ალვანის არხი	—	960
7	წნორ-მილარის მექანიკური სისტემა	—	6000
8	ილტოს არხი	მდ.ილტო	—
9	ახმეტის არხი	—	—
10	მატანის არხი	—	—
11	თურდოს არხი	მდ.თურდო	—
12	ნაურდლის არხი	მდ.სტორი	9910
13	ლალისყურის არხი	—	1060
14	დიდიხევის არხი	მდ.დიდხევი	—
15	სანიორეს არხი	—	—
16	ვედრების არხი	მდ.ლოპოტა	—
17	ღურუჯის არხი	მდ.ღურუჯი	—
18	კაბალის არხი	მდ.კაბალი	1000
19	ლაგოდეხის არხი	მდ.ლაგოდეხის წყალი	—
20	ჩელთის არხი	მდ.ჩელთა	3000
21	აფენის არხი	მდ.აფენისწყალი	530
22	თელავის, ლაგოდეხის, ყვარლის წვრილი არხები	წყაროები, ხევები და დელები	—

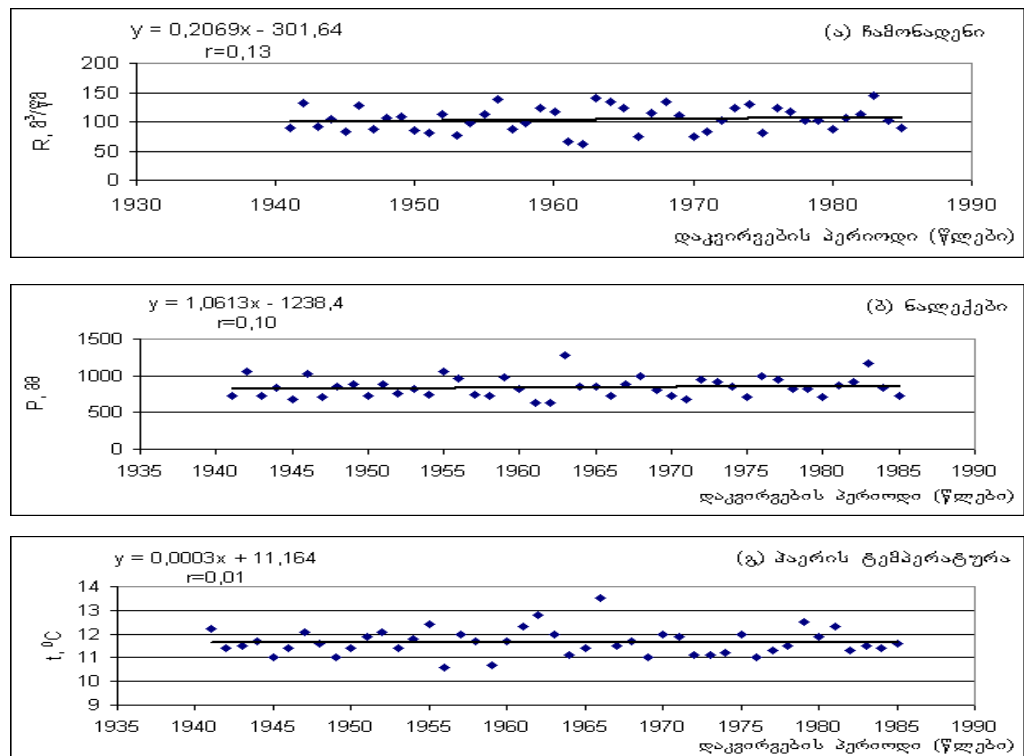
მდ.ალაზნის აუზში ჰაერის საშუალო წლიური ტემპერატურის, ნალექთა წლიური ჯამებისა და წლიური ჩამონადენის დინამიკა 1941–1985 წლებში მოცემულია ნახ.1.15-ზე. აქვე წარმოდგენილია ცვლილების ტენდენციის ამსახველი ტენდები, შესაბამისი რეგრესიის განტოლებები და კორელაციის კოეფიციენტის მნიშვნელობები.

როგორც ვხედავთ, სტატისტიკურად არანიშნადი კავშირების პირობებში (კორელაციის კოეფიციენტი $r=0,01-0,13$) განხილული 45 წლიანი პერიოდისათვის შეიძლება დავაფიქსიროთ წყალშემკრებზე უცვლელ ტემპერატურისა და ნალექთა ჯამების 47 მმ-ით (6%) სუსტი მატების ფონზე ჩამონადენის მცირე ზრდა 9 მ³/წმ სიდიდით, რაც ნორმის 9%-ია (იხ.ცხ.1.21). ცვლილების ეს სიჩქარეები, დაყვანილი 10-წლიან პერიოდამდე, ექვივალენტურია მუდმივი ტემპერატურისა და ნალექების 10 მმ-ით (1%) სუსტი მატების პირობებში ჩამონადენის მცირე ზრდისა 2 მ³/წმ-ით (ნორმის 2%). თუ აღნიშნული სიჩქარეები შენარჩუნე-

ბული იქნება განხილული პერიოდის დამთავრების შემდეგ უახლოეს ათწლეულებში, მაშინ, მიმდინარე საუკუნის 50-იანი წლებისათვის საუკუნეობრივმა ცვლილებამ შეიძლება მიაღწიოს: ტემპერატურის დაახლოებით $0,02^{\circ}\text{C}$ -ით უმნიშვნელო მატებისა და ნალექთა ჯამების 104 მმ-ით (ნორმის 12%) ზომიერი ზრდის ფონზე ჩამონადენის შესამჩნევ ზრდას 20 $\text{მ}^3/\text{წ}$ სიდიდით, რაც ნორმის 19%-ს შეადგენს. ისევე როგორც მდ.იორის აუზის შემთხვევაში, სტატისტიკურად არანიშნადი ტრენდების გამო ასეთი პროგნოზი არადამაჯერებელია.

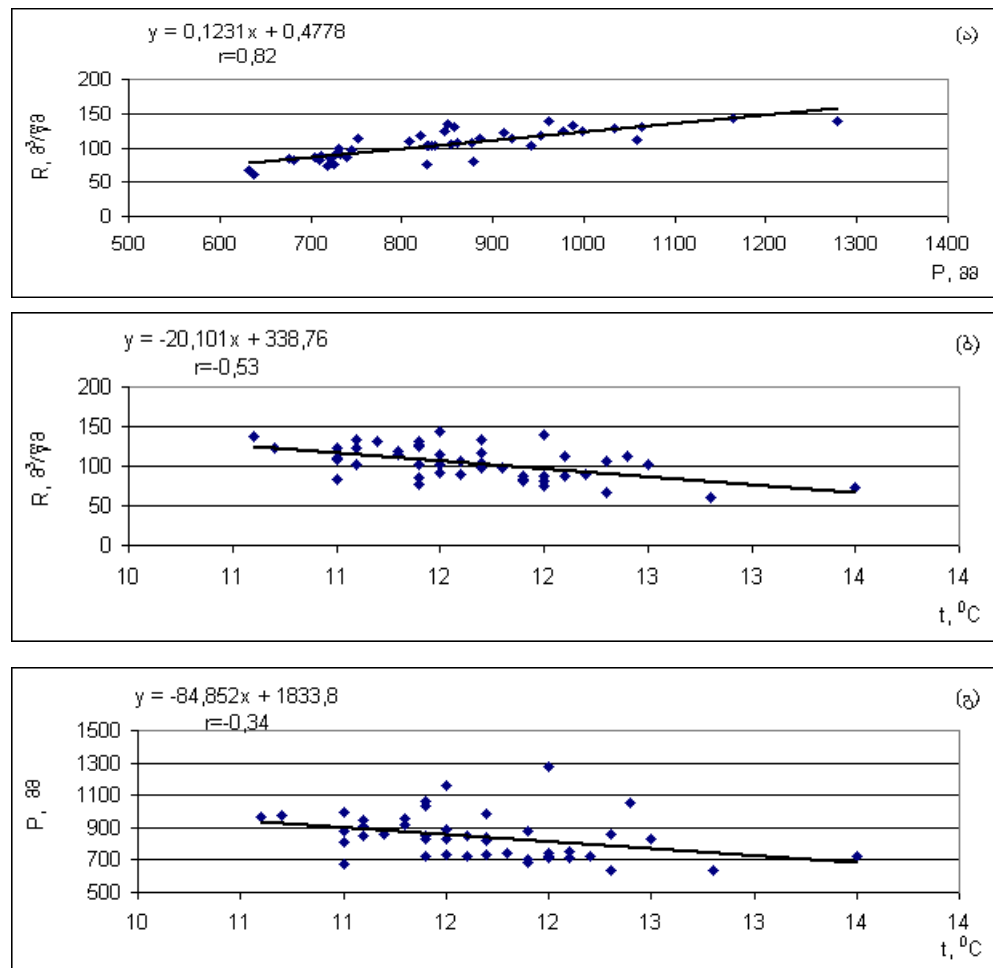
ცხრ.1.20. მდ.ალაზნის აუზში 1941–1985 წლებში ჩამონადენის, ნალექებისა და ტემპერატურის ცვლილების სიჩქარის სიდიდეები, მიუვანილი 1-, 10-, 45-, 100-წლიან პერიოდებამდე

ჩამონადენის გამოთვლილი მნიშვნელობები R , $\text{მ}^3/\text{წ}$	R_0 $\text{მ}^3/\text{წ}$	ჩამონადენის ცვლილება				ნორმის მიმართ ფარდობითი ცვლილება, $ \Delta R /R_0 \%$			
		$\Delta R=R_2-R_1$, $\text{მ}^3/\text{წ}$							
		1	10	45	100	1	10	45	100
$R_2=0,2069x1985-301,64=109,06$	104,5	0,20	2,02	9,11	20,24	0,19	1,94	8,72	19,37
$R_1=0,2069 \times 1941-301,64 = 99,95$									
ნალექების გამოთვლილი მნიშვნელობები P , მმ	P_0 , მმ	ნალექების ცვლილება				ნორმის მიმართ ფარდობითი ცვლილება, $ \Delta P /P_0 \%$			
		$\Delta P=P_2-P_1$, მმ							
		1	10	45	100	1	10	45	100
$P_2=1,0613x1985-1238,4=868,28$	844,8	1,04	10,38	46,70	103,78	0,12	1,23	5,53	12,28
$P_1=1,0613x1941-1238,4=821,58$									
ტემპერატურის გამოთვლილი მნიშვნელობები t , $^{\circ}\text{C}$	t_0 , $^{\circ}\text{C}$	ტემპერატურის ცვლილება				ნორმის მიმართ ფარდობითი ცვლილება, $ \Delta t /t_0 \%$			
		$\Delta t=t_2-t_1$, $^{\circ}\text{C}$							
		1	10	45	100	1	10	45	100
$t_1=0,0003 \times 1985 + 11,164 = 11,76$	11,7	0,0002	0,002	0,01	0,02	0,002	0,017	0,085	0,170
$t_2=0,0003 \times 1941 + 11,164 = 11,75$									



ნახ.1.15. მდ.ალაზნის აუზში 1941 – 1985 წლებში (ა) ჩამონადენის (R), (ბ) ნალექების წლიური ჯამების (P), (გ) ჰაერის ტემპერატურის (t) დინამიკა და შესაბამისი ტრენდები

განსხვავებით აღნიშნული ტრენდებისა, შედარებით მაღალი კორელაციური კავშირებით ხასიათდება მდ. აღაზნის ჩამონადენის დამოკიდებულება წყალშემკრებზე მოსულ ნალექთა ჯამებზე ($r=0,82$) და პაერის ტემპერატურაზე ($r=-0,53$), ასევე ნალექების დამოკიდებულება ტემპერატურაზე ($r=-0,34$). ამ კავშირების ამსახველი გრაფიკები, შესაბამისი რეგრესიის განტოლებები და კორელაციის კოეფიციენტის მნიშვნელობები წარმოდგენილია ნახ.1.16-ზე.



ნახ.1.16. (ა) კავშირი მდ.ალაზნის (საგ. მდ.აგრიჩის შესართავიდან 2 კმ-ში)
ჩამონადენსა და წყალშემკრებზე მოსულ წლიურ ნალექებს შორის; (ბ)
ჩამონადენსა და აუზში პაერის საშუალო წლიურ ტემპერატურას შორის; (გ)
ნალექებსა და პაერის ტემპერატურას შორის

გამოვლენილი კავშირების მისაღები სტატისტიკური უზრუნველყოფა უფრო საიმედოს ხდის მათზე აგებული მდ.ალაზნის წლიური ჩამონადენის ფორმირების ემპირიულ-სტატისტიკური და წყალბალანსური მოდელების გამოყენებას. ამ მოდელების აღმწერი რეგრესიის განტოლებები, მათი ზოგიერთი სტატისტიკური მახასიათებლების მნიშვნელობები და გამოცდის შედეგები მოყვანილია ცხრილებში 1.21 და 1.22. თანახმად ამ შედეგებისა, მდ.ალაზნის ჩამონადენის მოწყვლადობის შესაფასებლად შეიძლება გამოყენებული იქნას ორივე ემპირიულ-სტატისტიკური მოდელი. მოდელური გათვლების აბსოლუტური ცდომილება ტოლია $|\Delta R|=8-10 \text{ მ}^3/\text{წ}\text{წ}$, ხოლო ფარდობითი $|\Delta R|/R=8-10\%-ს$ შეადგენს.

ცხრილი 1.21. მდ.ალაზნის წლიური ჩამონადენის ფორმირების ემპირი-
ულ-სტატისტიკური მოდელების გამოცდის შედეგები

პარამეტრები					ორცვლადიანი რეგრესიის განტოლებათა შეკრებით მიღებული მოდელი R=0,0616P-10,0505t+169,62; $r=0.86; \sigma_R=0.69; S_R=0.58.$			სამცვლადიანი რეგრესიის განტოლებით მიღებული მოდელი R=0,108P-10,834t+139,59; $r=0.86; \sigma_R=0.69; S_R=0.58.$		
n	დაცვირების წლები	მდ.ალაზნის ჩამონადენი – ხაბამდაბრინის შესართავი- ლა, 2 კმ-ში, R გ/წ/გ	მდ.ალაზნის აუზის ხაზული წლიური ნალიგები P, მმ	მდ.ალაზნის აუზის ხაზული წლიური წლიური ტემპერა- ტურა t, °C	მდ.ალაზნის საზოგადო აზრისაინ შესართავიდან 2 კმ-ი, ჩამონადენის გამო- ყენით მათემატიკური, R, გ/წ/გ	აბანოლუმბური ცვლილება ΔR , გ/წ/გ	ვარიაციითი ცვლილება ΔR /R, %	მდ.ალაზნის საზოგადო აზრისაინ შესართავიდან 2 კმ-ი, ჩამონადენის გამო- ყენით მათემატიკური, R, გ/წ/გ	ვარიაციითი ცვლილება ΔR , გ/წ/გ	აბანოლუმბური ცვლილება ΔR /R, %
1	2	3	4	5	6	7	8	9	10	11
1	1941	90,0	727,2	12,2	91,80	1,80	2,00	85,95	4,05	4,50
2	1942	131,4	1063,5	11,4	120,56	10,84	8,25	130,94	0,46	0,35
3	1943	90,7	732,8	11,5	99,18	8,49	9,36	94,14	3,45	3,80
4	1944	103,4	836,2	11,7	103,54	0,12	0,12	103,14	0,27	0,27
5	1945	83,8	676,5	11,0	100,74	16,98	20,27	93,48	9,72	11,60
6	1946	127,7	1033,3	11,4	118,70	8,98	7,03	127,68	0,00	0,00
7	1947	88,1	711,7	12,1	91,85	3,76	4,27	85,36	2,73	3,10
8	1948	105,6	854,2	11,6	105,65	0,02	0,02	106,17	-0,54	-0,51
9	1949	108,4	876,7	11,0	113,07	4,67	4,31	115,10	6,70	6,18
10	1950	84,9	722,0	11,4	99,52	14,62	17,22	94,06	9,16	10,79
11	1951	80,9	878,0	11,9	104,10	23,20	28,68	105,49	24,59	30,40
12	1952	113,1	752,3	12,1	94,35	18,75	16,58	89,75	23,35	20,65
13	1953	76,2	827,7	11,4	106,03	29,83	39,15	105,47	29,27	38,41
14	1954	97,4	744,0	11,8	96,85	0,55	0,56	92,10	5,30	5,44
15	1955	112,4	1057,5	12,4	110,14	2,26	2,01	119,46	7,06	6,28
16	1956	138,2	962,0	10,6	122,34	15,86	11,48	128,65	9,55	6,91
17	1957	87,0	739,0	12,0	94,54	7,54	8,66	89,39	2,39	2,75
18	1958	98,3	730,7	11,7	97,04	1,26	1,28	91,75	6,55	6,67
19	1959	123,4	977,7	10,7	122,31	1,09	0,88	129,26	5,86	4,75
20	1960	117,0	819,7	11,7	102,52	14,48	12,38	101,36	15,64	13,37
21	1961	66,6	632,0	12,3	84,93	18,33	27,52	74,59	7,99	12,00
22	1962	61,2	636,8	12,8	80,20	19,00	31,05	69,69	8,49	13,87
23	1963	139,7	1278,5	12,0	127,77	11,93	8,54	147,66	7,96	5,70
24	1964	134,3	850,7	11,1	110,46	23,84	17,75	111,21	23,09	17,19
25	1965	124,3	847,0	11,4	107,22	17,08	13,74	107,56	16,74	13,47
26	1966	73,8	719,2	13,5	78,24	4,44	6,02	71,00	2,80	3,79
27	1967	114,1	886,0	11,5	108,62	5,48	4,80	110,69	3,41	2,99
28	1968	133,3	987,5	11,7	112,86	20,44	15,33	119,48	13,82	10,37
29	1969	110,5	809,0	11,0	108,90	1,60	1,45	107,79	2,71	2,45
30	1970	74,8	725,7	12,0	93,72	18,92	25,29	87,96	13,16	17,59
31	1971	82,5	681,7	11,9	92,01	9,51	11,53	84,29	1,79	2,17
32	1972	102,7	942,8	11,1	116,14	13,44	13,08	121,16	18,46	17,97
33	1973	123,0	911,3	11,1	114,20	8,80	7,15	117,75	5,25	4,27
34	1974	130,5	858,2	11,2	109,92	20,58	15,77	110,93	19,57	14,99
35	1975	81,8	710,3	12,0	92,77	10,97	13,41	86,29	4,49	5,49
36	1976	123,4	998,5	11,0	120,57	2,82	2,29	128,25	4,86	3,94
37	1977	117,8	953,0	11,3	114,75	3,04	2,58	120,09	2,29	1,94
38	1978	102,4	828,3	11,5	105,06	2,62	2,56	104,46	2,01	1,96
39	1979	102,5	828,7	12,5	95,04	7,46	7,28	93,66	8,83	8,61
40	1980	87,1	703,7	11,9	93,37	6,26	7,19	86,67	0,44	0,51

ცხრილი 1.21-ის გაგრძელება

41	1981	106,5	861,3	12,3	99,05	7,45	6,99	99,35	7,15	6,72
42	1982	113,8	920,7	11,3	112,76	1,05	0,92	116,60	2,78	2,44
43	1983	143,8	1164,2	11,5	125,75	18,04	12,55	140,73	3,06	2,13
44	1984	103,0	832,8	11,4	106,34	3,35	3,25	106,02	3,03	2,94
45	1985	90,0	727,2	11,6	97,83	7,83	8,70	92,45	2,45	2,72
		104,5	844,8	11,7	104,5	10,0	10,3	104,6	7,8	7,9

ცხრილი 1.22. მდ.ალაზნის წლიური ჩამონადენის ფორმირების წყალბალანსური
მოდელის გამოკვლეული შედეგები (კალიბრების მუდმივა $c=0,727$)

н	დაკვირვების წლები	მდ.ალაზნის ჩამონადენი – საგ.მდ.აგრონისის ("შესართავიდან 2 ქმ-ით დაბლა), R გ/წ/წ	მდ.ალაზნის აუზში სამონადენო წლიური ნალექები P, მმ	მდ.ალაზნის აუზში პატუალი ალო წლიური ტემპერატურა t, °C	მდ.ალაზნის ჩამონადენის ფენის სიმაღლე – სად.მდ.აგრონისის ("შეს- ართავიდან 2 ქმ-ით დაბლა), მმ	L=300+25t+0,05t ³	ჩამონადენის ფენის სიმაღლის გამოვლილი მნიშვნელობები, R მმ	აბსოლუტური ცდომილება, ΔR გმ	ფარდობითი ცდომილება, ΔR R %
1	1941	90,0	727,2	12,2	249,2	695,79	188,06	61,09	24,52
2	1942	131,4	1063,5	11,4	363,8	659,08	480,77	117,01	32,17
3	1943	90,7	732,8	11,5	251,1	663,54	207,58	43,48	17,32
4	1944	103,4	836,2	11,7	286,3	672,58	281,53	4,77	1,67
5	1945	83,8	676,5	11,0	231,9	641,55	177,63	54,24	23,39
6	1946	127,7	1033,3	11,4	353,5	659,08	454,31	100,84	28,53
7	1947	88,1	711,7	12,1	243,9	691,08	179,39	64,48	26,44
8	1948	105,6	854,2	11,6	292,4	668,04	298,39	5,96	2,04
9	1949	108,4	876,7	11,0	300,1	641,55	332,41	32,31	10,76
10	1950	84,9	722,0	11,4	235,0	659,08	201,90	33,14	14,10
11	1951	80,9	878,0	11,9	224,0	681,76	309,54	85,57	38,21
12	1952	113,1	752,3	12,1	313,1	691,08	208,24	104,87	33,49
13	1953	76,2	827,7	11,4	211,0	659,08	282,42	71,47	33,88
14	1954	97,4	744,0	11,8	269,6	677,15	209,04	60,61	22,48
15	1955	112,4	1057,5	12,4	311,2	705,33	444,38	133,21	42,81
16	1956	138,2	962,0	10,6	382,6	624,55	415,58	32,98	8,62
17	1957	87,0	739,0	12,0	240,9	686,40	200,91	39,95	16,59
18	1958	98,3	730,7	11,7	272,1	672,58	201,61	70,53	25,92
19	1959	123,4	977,7	10,7	341,6	628,75	426,39	84,77	24,81
20	1960	117,0	819,7	11,7	323,9	672,58	268,60	55,31	17,08
21	1961	66,6	632,0	12,3	184,4	700,54	122,87	61,51	33,36
22	1962	61,2	636,8	12,8	169,4	724,86	116,65	52,78	31,15
23	1963	139,7	1278,5	12,0	386,7	686,40	654,38	267,64	69,20
24	1964	134,3	850,7	11,1	371,8	645,88	308,51	63,29	17,02
25	1965	124,3	847,0	11,4	344,1	659,08	297,81	46,31	13,46
26	1966	73,8	719,2	13,5	204,3	760,52	154,37	49,94	24,44
27	1967	114,1	886,0	11,5	315,9	663,54	326,75	10,87	3,44
28	1968	133,3	987,5	11,7	369,0	672,58	405,88	36,85	9,99
29	1969	110,5	809,0	11,0	305,9	641,55	277,54	28,37	9,27
30	1970	74,8	725,7	12,0	207,1	686,40	191,40	15,68	7,57
31	1971	82,5	681,7	11,9	228,4	681,76	162,94	65,46	28,66
32	1972	102,7	942,8	11,1	284,3	645,88	385,09	100,77	35,44
33	1973	123,0	911,3	11,1	340,5	645,88	358,51	18,00	5,29

ცხრილი 1.22-ის გაგრძელება									
34	1974	130,5	858,2	11,2	361,3	650,25	312,02	49,26	13,63
35	1975	81,8	710,3	12,0	226,5	686,40	180,56	45,90	20,27
36	1976	123,4	998,5	11,0	341,6	641,55	435,85	94,24	27,59
37	1977	117,8	953,0	11,3	326,1	654,64	388,12	62,01	19,02
38	1978	102,4	828,3	11,5	283,6	663,54	280,37	3,23	1,14
39	1979	102,5	828,7	12,5	283,7	710,16	255,30	28,44	10,02
40	1980	87,1	703,7	11,9	241,1	681,76	178,08	63,06	26,15
41	1981	106,5	861,3	12,3	294,9	700,54	285,64	9,21	3,12
42	1982	113,8	920,7	11,3	315,1	654,64	360,90	45,80	14,53
43	1983	143,8	1164,2	11,5	398,1	663,54	567,40	169,32	42,53
44	1984	103,0	832,8	11,4	285,1	659,08	286,47	1,33	0,47
45	1985	90,0	727,2	11,6	249,2	668,04	201,28	47,87	19,21
		104,5	844,8	11,7	289,2	671,1	294,7	59,9	20,7

აღნიშნული მოდელების გამოყენებით მდ.ალაზნის ჩამონადენის მოწყვლადობისათვის ვდებულობთ:

- ჩამონადენის მოწყვლადობის სიდიდე წყალშემკრებზე მოსულ ნალექთა ჯამების ცვლილებისას ტოლია

$$n_1 = \frac{844,8}{104,5} \times 0,108 = 0,873;$$

- ჩამონადენის მოწყვლადობის სიდიდე წყალშემკრებისათვის დამახასიათებელ ტემპერატურის ცვლილებისას ტოლია

$$n_2 = \frac{11,7}{104,5} \times 10,834 = 1,213;$$

- მოწყვლადობათა შეფარდება ტოლია

$$n = \frac{n_2}{n_1} = \frac{1,213}{0,87} = 1,4 \approx 1.$$

ამრიგად, მდ.ალაზნის (საგ.მდ.აგრიჩაის შესართავიდან 2 კმ-ით ქვევით) ჩამონადენის მოწყვლადობის სიდიდე აუზში ტემპერატურის ცვლილებისას დაახლოებით იგივეა, რაც მოწყვლადობა წყალშემკრებზე მოსულ ნალექთა ჯამების ცვლილების მიმართ. რაც შეეხება პირველ ემპირიულ-სტატისტიკურ მოდელს, მისი გამოყენების შემთხვევაში აღნიშნული მოწყვლადობების შეფარდებისათვის მიიღება

$$n_1 = \frac{844,8}{104,5} \times 0,0616 = 0,498;$$

$$n_1 = \frac{11,7}{104,5} \times 10,0505 = 1,125;$$

$$n = \frac{n_2}{n_1} = \frac{1,125}{0,498} = 2,3 \approx 2,$$

რაც ბევრად არ განსხვავდება წინა შეფასებიდან.

განვითარებულ ჩამონადენის მოსალოდნელი ცვლილება შემდეგი კლიმატური სცენარის მიხედვით: ტემპერატურის მატება შეადგენს 4°C , ხოლო ნალექთა ჯამების შემცირება – ნორმის 10% -ს.

გამოვდივართ ჩამონადენის შემდეგი ემპირიულ-სტატისტიკური მოდელიდან

$$R=0,108P-10,834t+139,59,$$

საიდანაც ჩამონადენის ცვლილებისთვის გვექნება

$$dR=0,108dP-10,834dt.$$

მაშინ

$$dR=0,108(-845 \times 0,1)-10,834 \times 4=-52,47 \approx -52,5 \text{ მ}^3/\text{წმ}, \text{ რაც } \text{შეადგენს } \text{ნორმის } -50\%.$$

ამრიგად, გლობალური დათბობის
მოსალოდნელია მდ.ალაზნის-მდ.აგრიჩაის
ჩამონადენის შემცირება 50%-ით.

სცენარის აღნიშნულ პირობებში
შესართავთან 2 კმ-ის ქვევით

14.5.მდ.მტკვარის აუზი (ქობილისის კვეთი)

ცხრ.1.23-ში წარმოდგენილია მდინარე მტკვარი – საგუშაგო თბილისის ჩამქები კვეთის წყალშემკრებ ტერიტორიაზე განლაგებული ზოგიერთი პიდრომეტეოროლოგიური პუნქტის მონაცემი, გამოყენებული ჩამონადენის ცვლილების შეფასებაში. წყალშემკრების ფართობი შეადგენს $S_t=21200 \text{ კმ}^2$, აუზის საშუალო სიმაღლეა $H_t=1710 \text{ მ}$. ამიტომ, ამ შემთხვევაშიც, ჩამონადენის ფორმირების ზონად მიღებულია ზღვის დონიდან 700-2700 მ სიმაღლეების შესაბამისი მაღლივი ზოლი. განხილულია 6 ძირითადი შენაკადის (მდინარეები ფარავანი, ფოცხოვი, ბორჯომულა, დიდი და პატარა ლიახვი, ქსანი, არაგვი) და თვით მდ. მტკვარის აუზები. ცალ-ცალკე ამ აუზების ჩამონადენის ფორმირების მაღლივ ზონებში განლაგებული პუნქტების მონაცემთა გასაშუალოებით, შემდეგ კი მიღებული სიდიდეების საბოლოო გასაშუალოებით 7 აუზის მიხედვით, განსაზღვრულია ჩამონადენის ფორმირებისა და მისი ცვლილების მოდელის შემავალი პარამეტრები. ეს პარამეტრები მოცემულია ცხრ. 1.23-ის ბოლო სტრიქონში.

მდ. მტკვარის ჩამონადენის ფორმირების მაღლივი ზონისათვის დამახასიათებელი მეტეოროლოგიური მეტეოროლოგიური მეტეოროლოგიური მდებარეობა:

$$C = -0.082; \frac{\partial R}{\partial P} = 1.019; \frac{\partial R}{\partial t} = -33.228 \frac{\text{მმ}}{\text{გრად}}.$$

ჩამონადენის მგრძნობიარობებს, შესაბამისად ნალექებისა და ტემპერატურის ცვლილებათა მიმართ, ისევ ურთიერთ საწინააღმდეგო ნიშანი აქვთ, მაგრამ მდ. მტკვარის შემთხვევაში მგრძნობიარობა ნალექთა ვარიაციების მიმართ თითქმის 4-ჯერ მეტია, ვიდრე მგრძნობიარობა ტემპერატურის ცვლილების მიმართ

$$n = \frac{\frac{\partial R}{P_0}}{\frac{\partial P}{\frac{\partial R}{\partial t}}} = \frac{795}{6.7} \cdot \frac{1.019}{33.228} = 3.64 \approx 4 .$$

ამის გამო ჩამონადენის მოწყვლადობაში წვლილი შეაქვთ როგორც ნალექების, ასევე ტემპერატურის ცვლილებებს, თანაც, ტემპერატურის ვარირების ეფექტი იმავე რიგისა ხდება, რაც ნალექთა ცვლილებისა. ამრიგად, მდ. მტკვარის ჩამონადენის ცვლილებისათვის ვღებულობთ

$$dR = 1.019 dP - 33.228 dt .$$

სცენარი I: $dP = 0.1P_0 = 79.5 \text{ მმ (10\%)}$; $dt = 1^\circ\text{C (15\%)}$.

$$dR = 1.019 \times 79.5 - 33.228 \times 1 = 47.8 \text{ მმ (15.7\%).}$$

ამრიგად, თუ წყალშემკრებზე მოსალოდნელია ჯამური ნალექის გაზრდა 10%-ით (79.5 მმ) და ტემპერატურის მომატება 1°C -ით, მაშინ მდ. მტკვარის ჩამონადენი გაიზრდება 15.7%-ით (47.8 მმ).

სცენარი II: $dP = 79.5 \text{ მმ (10\%)}$; $dt = 2^\circ\text{C (30\%)}$.

$$dR = 1.019 \times 79.5 - 33.228 \times 2 = 14.6 \text{ მმ (4.8\%).}$$

სცენარი III: $dP = 39.75 \text{ მმ (5\%)}$; $dt = 1^\circ\text{C (15\%)}$.

$$dR = 1.019 \times 39.75 - 33.228 \times 1 = 7.3 \text{ მმ (2.4\%).}$$

სცენარი IV: $dP = 39.75 \text{ მმ (5\%)}$; $dt = 2^\circ\text{C (30\%)}$.

$$dR = 1.019 \times 39.75 - 33.228 \times 2 = 26 \text{ მმ (-8.5\%).}$$

ამრიგად წყალშემკრებზე ჯამური ნალექის 5%-ით (39.75 მმ) გაზრდისას და ტემპერატურის 2°C მომატების შემთხვევაში მოსალოდნელია ჩამონადენის შემცირება 26 მმ-ით, რაც შეადგენს ნორმის 8.5%-ს.

Եերօնու 123.մօ.մԾԿՎՐՈՒ-Հ-ԴԵԼՈՒՍԻՆ համբեցի
յացտու ՄԱԼՄԵԺԿՐԵՑ ԾԵՐՈՑՈՐՈՏԱԽԵ գանձագեծվու Խոցուցու ՏՈԴՐՈՄԵՑԵՐՈՌՈՎՈՎՈՐՈ ՏՄՆՔԵՑՈՒ մռնացմեծու

1	2	3	4	5	6	7	8	9	10	11	12	13	14	15	16	17	18
11	ხერთვისი	1124				498*										2276	18.6
															2140	258	
	მეტეოროლოგიური საშუალო მნიშვნელობები მდ.ფარაგნის აუზისათვის	5.5	3.2	13.8	663.7	6.6	3.0	0.56	0.40	0.60					51.9	2276	18.6
															653.5	2140	258
	მდ.ფოცხოვის აუზი																
12	აბასთუმანი მდ.ოცხე	1265	9.0	6.4	17.2	688	8.0	3.5	0.61	0.40	0.59				57.1	100	1.21
															720.4	1860	385
13	ადიგენი მდ.ქობლიანი	1185	10.0	8.0	18.7	594	8.1	4.7	0.58	0.43						499	11.8
															1920	745	
14	მლაშე მდ.ქობლიანი	1166				569										471	10.4
															1930	700	
15	სხვილისი მდ.ფოცხოვი															1729	21.9
															1860	400	
	მეტეოროლოგიური საშუალო მნიშვნელობები მდ.ფოცხოვის აუზისათვის	9.5	7.2	18.0	617	8.1	4.1	0.60	0.42	0.59					57.1	1729	21.9
															720.4	1860	400
	მდ.ბორჯომულას აუზი																
16	ბაკურიანი აგრო	1665	5.0	4.4	14.4	949	7.2	2.8	0.62	0.46	0.53						
17	ბაკურიანი ანდეზიტი	1538				712											
18	ცემი	1117	9.0	7.3	17.8	740	8.6	3.6	0.63	0.46							
19	ბორჯომი	789	10.0	9.1	19.8	653	9.7	3.9	0.63	0.46					65.1	165	2.44
															821.0	1800	465
	მეტეოროლოგიური საშუალო მნიშვნელობები მდ.ბორჯომულას აუზისათვის	8.0	6.9	17.3	763.5	8.5	3.4	0.63	0.46	0.53					65.1	165	2.44
															821.0	1800	465
	მდ.დიდი და პატარა ლიახვის აუზი																
20	ერმანი	2240	2.0	1.9	12.3	1208	5.5	2.7	0.58	0.43							
21	როკა	1795		3.6	13.8	1130	6.8	2.6	0.57	0.47							
22	ქვედა როკა	1400				1034											
23	ქვესლეთა	1750				1189											
24	ჯავა	1109	10.0	7.8	18.1	1042	8.5	4.0	0.53	0.36	0.55				629	18.2	
															2220	910	

25	კქმი	895				801										916	25.5
															2080	876	
26	ცხინვალი	862	12.0	9.5	20.3	696	9.1	5.0	0.61	0.42					65.1		
															821.0		
27	ვანათი მდ.პატ.ლიახვი	1020				834										412	9.79
															1930	750	
28	გრომი-მდ.მეჯუდა	800				732										183	2.37
															1480	408	
მეტეოროლოგიური მისამართის საშუალო მნიშვნელობები მდდიდრი და პატარა ლიახვის აუზისათვის			8.0	5.7	16.1	968.4	7.5	3.6	0.57	0.42	0.55				65.1		
															821.0		
მდ.ქსნის აუზი																	
29	კორინთა	908				745										549	10.8
															1810	617	
30	ახალგორი	760	12.0	9.6	20.3	727	9.5	4.7	0.58	0.51							
მეტეოროლოგიური მისამართის საშუალო მნიშვნელობები მდ.ქსნის აუზისათვის			12.0	9.6	20.3	736	9.5	4.7	0.58	0.51							
მდ.არაგვის აუზი																	
31	ქაზბეგი მ/მ	3635		-6.1	3.0	1404 **	3.0	1.5	0.56	0.41	0.57	203.3		0.55			
32	ჯვრის უდ.	2395	0	-0.2	10.5	1733	5.7	1.4									
33	გუდაური	2194	3.0	2.1	12.3	1585	6.1	2.3			0.53						
34	წინსაღეუ	1910		4.6	14.7	1380											
35	ბურსაჩილი	1760	5.0	4.3	14.5	1400	6.8	3.0									
36	ქავშეთი	1325		6.7	17.6	1292	8.1	3.6									
37	ბარისახო-მდ.ხევსურეთის არაგვი	1325	8.0	6.4	16.5	1136	8.2	3.3							238	7.91	
															2280	1045	
38	ფასანაური-მდ.თეთრი არაგვი	1070	9.0	7.8	18.5	999	8.7	3.8							319	12.4	
															2080	1225	
39	დუშეთი	922	11.0	9.7	20.2	739	9.4	4.6		0.56							
40	უნივერსი	727				740									1870	44.1	
															1900	743	
მეტეოროლოგიური მისამართის საშუალო მნიშვნელობები მდ.არაგვის აუზისათვის			6.0	5.2	15.6	1222.7	7.6	3.1			0.56						

მდ.მტკვრის აუზი																		
41	ხერთვისი	1124				498									4980	32.5		
42	ასპინძა	1098	12.0	9.4	20.0	469	8.2	5.6	0.52	0.37					2150	206		
43	ახალციხე	982	11.0	9.0	20.4	554	8.7	5.2	0.56	0.41					59.8			
44															753.9			
45	აწყური	970				529									8010	57.5		
46	რკონი-მდ.თებამი	760				612									2050	226		
47	სურამი-მდ.სურამულა	743		9.6	20.2	781									183	1.72		
48	ახალდაბა	724				965									1720	296		
49	ატენი-მდ.ტანა	716				475									45.8	0.91		
50	ზგედერი-მდ.ქამა	623				656									1000	626		
51	სკრა	607	12.0	10.2	21.3	581	10.1	5.0	0.57	0.44	0.59	180.7	56.1	0.23	84.0			
52	თბილისი	403	15.0	12.7	24.4	559	10.5	7.1	0.62	0.40	0.54	190.4	61.3	0.18	1058.9			
მეტეოროლოგიური საშუალო მნიშვნელობები მდ.მტკვრის აუზისათვის				11.6	9.3	20.2	593	8.5	5.4	0.54	0.39	0.57	170.6	58.2				
საშუალო მთლიანად წყალშემკრების მაღლივი ზონისათვის				8.6	6.7	17.3	795	8.0	3.9	0.58	0.43	0.57	181.5 ***	58.2 ***	0.21 ***	58.5	21100	204
															737.7 ***	1710	305	

* - ხერთვისის ნალექთა ჯამები გათვალისწინებულია მდ.მტკვრის აუზის მონაცემებში;

** - ყაზბეგი მ/მ-ის ნალექთა ჯამები მოცემულია შესწორების გარეშე;

*** - რადიაციული ბალანსის კომპონენტებისა და ალბედოს მნიშვნელობები მიღებულია ზონის გარეშე არისათვის, ხოლო ბალანსის სიდიდე – ჩამონადენის ფორმირების ზონისათვის.

სცენარი V: $dP=7.95$ მმ (1%); $dt=1^{\circ}\text{C}$ (30%).

$$dR=1.019x7.95-33.228x1=-25.1 \text{ მმ } (-8.2\%).$$

სცენარი VI: $dP=0$; $dt=2^{\circ}\text{C}$ (30%).

$$dR=-33.228x2=-66.5 \text{ მმ } (-21.8\%).$$

თუ წყალშემკრებზე ჯამური ნალექი არ შეიცვლება ტემპერატურის 2° -ით მომატების პირობებში, მაშინ მოსალოდნელია ჩამონადენის შემცირება 66.5 მმ-ით, ე.ი. დაახლოებით 22%-ით.

სცენარი VII: $dP=0$; $dt=2^{\circ}\text{C}$ (-30%).

$$dR=-33.228x(-2)=66.5 \text{ მმ } (21.8\%).$$

VI სცენარით შეფასების საწინააღმდეგოდ, თუ მოსალოდნელია ტემპერატურის დაცემა 2° -ით უცვლელ ნალექთა ფონზე, მაშინ ჩამონადენი უნდა გაიზარდოს 66.5 მმ-ით, ე.ი. 22%-ით.

სცენარი VIII: $dP=-79.5$ მმ (-10%); $dt=-1^{\circ}\text{C}$ (-15%).

$$dR=1.019x(-79.5)-33.228x(-1)=-47.8 \text{ მმ } (-15.7\%).$$

ამ შემთხვევაში მოსალოდნელია ჩამონადენის შემცირება 48 მმ-ით (-16%).

სცენარი IX: $dP=-79.5$ მმ (-10%); $dt=1^{\circ}\text{C}$ (15%).

$$dR=1.019x(-79.5)-33.228x1=-114.2 \text{ მმ } (-37.4\%).$$

ამ შემთხვევაში მოსალოდნელია ჩამონადენის შემცირება 114 მმ-ით, რაც შეადგენს არსებული ჩამონადენის (ნორმის) 37%-ს.

სცენარი X: $dP=-79.5$ მმ (-10%); $dt=2^{\circ}\text{C}$ (30%).

$$dR=1.019x(-79.5)-33.228x2=-147.5 \text{ მმ } (-48.4\%).$$

ამ შემთხვევაში, როდესაც მოსალოდნელია ტემპერატურის 2° -ით მომატების ფონზე წყალშემკრებზე ჯამური ნალექის შემცირება 10%-ით (-79.5 მმ), მდ. მტკვარის ჩამონადენი შემცირდება 48%-ით (-147.5 მმ).

შევაფასოთ ჩამონადენის ცვლილება გლობალური დათბობის პირობებში შემდეგი კლიმატური სცენარის მიხედვით: აღმოსავლეთ საქართველოს რეგიონში ტემპერატურის მატება შეადგენს 4°C , ხოლო ნალექთა ჯამები მცირდება ნორმის 10%-ით.

გვექნება

$$dR=1.019x(-79.5)-33.228x4=-81.0-132.9=-213.9 \text{ მმ}, \text{ რაც შეადგენს ნორმის 70\%-ს.}$$

ამრიგად, გლობალური დათბობის ამ ექსტრემალურ შემთხვევაში მდ.მტკვრიკ.თბილისის კვეთში მოსალოდნელია ჩამონადენის შემცირება 70%-ით.

1.5.დასკვნები

აუზში პაერის საშუალო წლიური ტემპერატურის, წყალშემკრებზე მოსულ ნალექთა წლიური ჯამებისა და მდინარის ჩამპეტ კვეთში საშუალო წლიური ჩამონადენის 37-47 – წლიანი (1940-1986 წ.წ.) სინქრონული რიგების სტატისტიკურ-კორელაციური ანალიზისა და წყალბალანსური გათვლების გამოყენებით მიღებულია წლიური ჩამონადენის ფორმირების ემპირიულ-სტატისტიკური და წყალბალანსური მოდელები. მოდელების საფუძველზე დადგენილია ჩამონადენის რეაქცია აუზში გამოვლენილ კლიმატურ ცვლილებებზე, შეფასებულია მდინარეთა ჩამონადენის მგრძნობიარობა (მოწყვლადობა) წყალშემკრებზე მიმდინარე კლიმატურ ცვლილებათა მიმართ. კვლევის ძირითადი შედეგები შეიძლება შემდეგი სახით ჩამოვაყალიბოთ (აუზის პიდრომეტეოროლოგიური მახასიათებლების ცვლილების სიჩქარეები მიუვანილია 100 – წლიან პერიოდამდე).

- დასავლეთ საქართველოს ძირითადი მდინარის – რიონის აუზში პრაქტიკულად უცვლელი პაერის ტემპერატურისა და ნალექთა ჯამების 253 მმ-ით (ნორმის 18%) ზომიერი მატების პირობებში დაფიქსირებულია საგუშაგო საქონაკიძის ჩამპეტ კვეთში ჩამონადენის დაახლოებით 6 მ³/წმ სიდიდის (ნორმის 2%) უმნიშვნელო შემცირება. ერთის მხრივ ისეთმა ბუნებრივმა ფაქტორებმა, როგორიცაა მდ.რიონის აუზის მთიანი ნაწილის დიდი გატყიანება (მთელი წყალშემკრები ტერიტორიის 70 – 75 %), კოლხეთის დაბლობზე ქვედა დინების, განსაკუთრებით კი დელტას რაიონში, ჭაობიანი ზონა, განვითარებული პიდროგრაფიული ქსელი, ხელი შეუწყვეს ტყით ატმოსფერული ნალექების შეგავებას, ჭაობებში და აუზის მიწისქვეშა პორიზონტებში წყლის მარაგის დაგროვებას. მეორეს მხრივ, ჩამონადენის ხელოვნურმა დარეგულირებამ აქ არსებული წყალსაცავების სისტემის მეშვეობით, განაპირობებს წყალშემკრებზე ნალექთა ზომიერი მატების მეტად სუსტი გავლენა დელტას რაიონში განლაგებულ საგუშაგო საქონაკიძეზე გაზომილი წყლის ხარჯის მნიშვნელობებზე.
- მდ.რიონის ზედა წელის ერთერთი შენაკადის მდ.ცხენისწყლის აუზში პაერის თითქმის 1⁰C-ით მატების ფონზე აღინიშნა ნალექთა ჯამების 481 მმ-ით (35%) და საგუშაგო რცხმელურთან ჩამონადენის დაახლოებით 40 მ³/წმ სიდიდით (60%) საუკუნეობრივი ზრდა. საგუშაგო რცხმელური განლაგებულია აუზის იმ ზონაში სადაც ფაქტიურად ხდება მდინარის ჩამონადენის ფორმირება. ჩამონადენის ასეთი საგრძნობი ნაზრდი შეიძლება აისხნას, ერთის მხრივ, წყალშემკრებზე შესამჩნევი ნალექთა ჯამების მომატებით, მეორეს მხრივ, მდინარე ცხენისწყლისათვის დამახასიათებელი მყინვარული საზრდოობის მატებით, გამოწყველს პაერის ტემპერატურის აღნიშნული ზრდის პირობებში მყინვარის დნობით.
- აღმოსავლეთ საქართველოს ორი ძირითადი მდინარის იორისა და ალაზნის აუზებისათვის დამახასიათებელი აღმოჩნდა პაერის ტემპერატურის ფაქტიურად უცვლელ ფონზე (მატება შეადგენს მხოლოდ 0,02 და 0,1 °C) ნალექების ზომიერი ზრდა შესაბამისად 87 მმ-ით (10%) და 104 მმ-ით (12%), რასაც მოჰყვა ჩამონადენის ზრდაც დაახლოებით 1 მ³/წმ-ით (7%) საგუშაგო სალახლის კვეთში და 20 მ³/წმ-ით (19%) – საგუშაგოზე მდ.აგრიჩაის შესართავიდან 2 კმ-ში.
- განხილული ყველა პრიორიტეტული რეგიონის მდინარეთა აუზებისათვის, როგორც დასავლეთ, ასევე აღმოსავლეთ საქართველოში, გამოიხატა პიდრომეტეოროლოგიურ პარამეტრებს შორის სტატისტიკური კავშირების საერთო კანონზომიერება – ჩამონადენის ზრდა წყალშემკრებზე ნალექთა ჯამების მატების პირობებში, ნალექებისა და ჩამონადენის შემცირება (ზოგჯერ სუსტი კლება, მაგალითად მდ.ცხენისწყლის ჩამონადენისათვის) აუზში პაერის ტემპერატურის მატებისას.
- დასავლეთ საქართველოში მდ.რიონის აუზი (საგ.საქონაკიძე) მოიცავს რეგიონის ტერიტორიის დიდ ნაწილს და წარმოდგენილია წყალშემკრების როგორც

მაღალმოიანი და მთიანი, ასევე მთისწინა და დაბლობი რაიონებით. ამიტომ, რეგიონის უხვნალექიან პირობებში საგ.საქონაკიძის ჩამპარებით კვეთისთვის დამახასიათებელია წლიური ჩამონადენის კოეფიციენტის შედარებით მაღალი მნიშვნელობები $K=0,60-0,90$, (საშუალო $\bar{K}=0,70$). ამან განაპირობა ის შედეგი, რომ წყალშემკრებზე ნალექთა ჯამების ცვლილების მიმართ ჩამონადენის მოწყვლადობა აღმოჩნდა რამდენჯერმე მეტი ($n=1 - 3$), ვიდრე ჩამონადენის მოწყვლადობა აუზში ჰაერის ტემპერატურის ცვლილებისას.

მდ.ცხენისწყლის (საგ.რცხმელური) შემთხვევაში წყალშემკრების აუზი ძირითადად განლაგებულია კავკასიონის მთიან მეტად უხვნალექიან რაიონში. წლიური ჩამონადენის კოეფიციენტის მნიშვნელობა აქ აღწევს სიდიდეს $K=0,80-0,90$ და ზოგჯერ აღემატება მას, რაც მიუთითებს დიდი დახრილობის შედარებით მცირე აუზებისათვის დამახასიათებელ ნალექების ჩამონადენში გარდაქმნის მაღალ ეფექტურობაზე. ასეთ პირობებში ჩამონადენის მოწყვლადობა ნალექთა ცვლილების მიმართ აღმოჩნდა ერთი რიგით მეტი მოწყვლადობაზე ტემპერატურის ცვლილებისას ($n=10 - 20$).

- აღმოსავლეთ საქართველოში ნახევრადარიდული და არიდული დედოფლისწყაროს რაიონის მოსაზღვრე მდინარეების წლიური ჩამონადენის კოეფიციენტის სიდიდე მნიშვნელოვნად კლებულობს დასავლეთ საქართველოს მდინარეთა ჩამონადენთან შედარებით. მდ.იორის აუზისათვის (საგ. სალახლი) იგი შეადგენს $K=0,07-0,15$ ($\bar{K}=0,12$), ხოლო მდ.ალაზნის (საგ. მდ.აგრიჩაის შესართავიდან 2 კმ-ში) შემთხვევაში $K=0,25-0,50$ ($\bar{K}=0,35$). ასეთ პირობებში მდ.იორისათვის ჩამონადენის მოწყვლადობა წყალშემკრებზე ნალექთა ჯამების ცვლილების მიმართ ფაქტიურად უტოლდება მოწყვლადობას აუზში ჰაერის ტემპერატურის ცვლილების შემთხვევაში ($n=1$), ხოლო მდ. ალაზნის ჩამონადენის მოწყვლადობის სიდიდე აუზის დამახასიათებელი ჰაერის ტემპერატურის ცვლილების მიმართ 1,5-2-ჯერ მეტია მოწყვლადობაზე ნალექთა ჯამების ცვლილებისას. ეს შეიძლება აიხსნას მდინარეთა პიდროგრაფიული ქსელის და ჩამონადენის საგრძნობი განსხვავებით.
- თუ მივიღებთ გლობალური დათბობის შემდეგ ორ ძირითად სცენარს, რომელთა მიხედვით: (1) დასავლეთ საქართველოს რეგიონში ჰაერის ტემპერატურის მატება შეადგენს 3°C , ხოლო ნალექთა ჯამები მცირდება ნორმის 5-10%-ით; (2) აღმოსავლეთ საქართველოს რეგიონში ტემპერატურა მოიმატებს 4°C -ით, ხოლო ნალექები შემცირდება 10%-ით, მაშინ შეფასებამ გვიჩვენა მდინარეთა ჩამონადენის შემდეგი შემცირებები

მდ.ცხენისწყლი-ს.რცხმელური – 2-3%;

მდ.რიონი-ს.ალაზანა – 5-10%;

მდ.რიონი-ს.საქონაკიძე – 10-15%;

მდ.იორი-ს.სალახლი – 30%-მდე;

მდ.ალაზნი-ს.მდ.აგრიჩაის შესართავთან – 50%;

მდ.მტკვარი-ქ.თბილისი – 70%.

როგორც ვხედავთ, მეტად მძიმე მდგომარეობა იქნება აღმოსავლეთ საქართველოს რეგიონში, სადაც გლობალური დათბობის გავლენით მოსალოდნელია მდინარეთა ჩამონადენის და შესაბამისად ზედაპირული წყლის რესურსების კატასტროფული შემცირება.

Л 0 Т ე რ ა ტ უ რ ა

1. კ.თავართქილაძე, თ.გზირიშვილი, ე. ელიზბარაშვილი, დ.მუმლაძე, ჯ.გაჩნაძე. მიწისპირა ტემპერატურული ველის ცვლილების ემპირიული მოდელი. სამეცნიერო სესიის “ჰავის თანამედროვე ცვლილება საქართველოში” მასალები, თბილისი, “მეცნიერება”, 1998, გვ.24-26.
2. კ.თავართქილაძე, ე. ელიზბარაშვილი, დ.მუმლაძე, ჯ.გაჩნაძე. საქართველოს მიწისპირა ტემპერატურის ცვლილების ემპირიული მოდელი. მონოგრაფია, გ.სვანიძის და ნ.ბეგალიშვილის რედაქციით. საქ. მეცნ. აკად. ჰიდრომეტეოროლოგიის ინსტიტუტი, თბილისი, 1999, 128 გვ.
3. საქართველოს პირველი ეროვნული შეტყობინება გარემოს კლიმატის ცვლილების ჩარჩო კონვენციაზე. კლიმატის კვლევის ეროვნული ცენტრი, თბილისი, 1999, 151 გვ.
4. ე. ელიზბარაშვილი, ლ.პაპინაშვილი. ატმოსფერული ნალექების მრავალწლიური ცვლილება საქართველოს ტერიტორიაზე. ჰმი-ს შრომები, ტ102, 2001, გვ.112-116.
5. ე.ელიზბარაშვილი, ლ.პაპინაშვილი, თ.ხელაძე. საქართველოს ტერიტორიაზე ატმოსფერული ნალექების მრავალწლიური ცვლილების გამოკვლევის წინასწარი შედეგები. კლიმატის კვლევის ეროვნული ცენტრის საინფორმაციო ბიულეტენი, №5, 1997, გვ. 35-41.
6. ნ.ბეგალიშვილი, კ.თავართქილაძე, ნ.ნებიერიძე, მ.ტატიშვილი, ლ.ჭურაშვილი. საქართველოს ტერიტორიაზე ატმოსფეროს მიწისპირა ფენაში სინოტივის ველის კვლევის ზოგიერთი შედეგი. ჰმი-ს შრომები, “ჰიდრომეტეოროლოგიისა და ეკოლოგიის პრობლემები”, ტ101, თბილისი, 1998, გვ.150-160.
7. ნ.ბეგალიშვილი, ნ.ნებიერიძე, ლ.ჭურაშვილი. ტენშემცველობა ატმოსფეროში და მისი ცვლილება საქართველოს ტერიტორიაზე. სამეცნიერო სესიის “ჰავის თანამედროვე ცვლილება საქართველოში” მასალები, თბილისი, “მეცნიერება”, 1998, გვ.11-12.
8. ნ.ნებიერიძე. საქართველოს ტერიტორიაზე სინოტივის მიწისპირა ველის ძირითადი მახასიათებლების საუკუნეობრივი ცვლილება. საქ. მეცნ. აკად. ჰიდრომეტეოროლოგიის ინსტიტუტის შრომების კრებული ”კლიმატოლოგიის პრობლემები”, ტ102, 2001, გვ.145-151.
9. გ.სვანიძე, კ.თავართქილაძე, ნ.ბეგალიშვილი. კლიმატის ცვლილების გავლენა წყალბაზე. სამეცნიერო სესიის “ჰავის თანამედროვე ცვლილება საქართველოში” მასალები. თბილისი, “მეცნიერება”, 1998, გვ.27-29.
10. **Болин Б.** Климат и наука, знание и понимание, необходимые для действия в условиях неопределенности. Тезисы докладов Всемирной конфер. по изменению климата. М., 2003, с.9-13.
11. **Манабе С., Везеролд Р.** Изменение водных запасов в масштабах столетия вследствие глобального потепления. Тезисы докладов Всемирной конфер. по изменению климата. М., 2003, с.14-15.
12. **Мата Л.** Улучшение нашего понимания изменения климата и проблем, связанных с водой. Тезисы докладов Всемирной конфер. по изменению климата. М., 2003, с.37-38.
13. **Мелешко В.П., Голицын Г.С., Говоркова В.А. и др.** Возможные антропогенные изменения климата России в 21-м веке: оценки по ансамблю климатических моделей. Тезисы докладов Всемирной конфер. по изменению климата. М., 2003, с.51-52.
14. **Хубларян М.Г., Добровольский С.Г., Найденов В.И.** Оценка возможных изменений речного стока вследствие изменений глобального климата. Тезисы докладов Всемирной конфер. по изменению климата. М., 2003, с.251.
15. **Шикломанов И.А., Георгиевский В.Ю.** Влияние климатических изменений на водные ресурсы и водный режим рек России. Тезисы докладов Всемирной конфер. по изменению климата. М., 2003, с.250.

16. გ.სვანიძე, ბ.ა.ბეგალიშვილი, გ.ცომაია, გ.ხმალაძე, რ.მესხია, ნ.ნ.ბეგალიშვილი. კლიმატის ცვლილების მიზართ წყლის რესურსების მოწყვლადობის შეფასება საქართველოს ტერიტორიაზე. კლიმატის ცვლილების ეროვნული პროგრამის ანგარიში. თბილისი, კლიმატის ცვლილების ეროვნული ცენტრის და საქ. მეცნ. აკად. პიდრომეტეოროლოგიის ინსტიტუტის ფონდები, 1998, 311 გვ.
17. **Алексеева А.К., Семенов В.А.** Региональные особенности реакции стока рек на изменение климатоформирующих факторов. Физические аспекты теории климата. Труды III Всесоюзного симпозиума. Л., Гидрометеоиздат, 1990, с.204-209.
18. **Варданян Т.Г.** Прогнозирование речного стока при разных сценариях глобального изменения климата. Тезисы докладов Всемирной конфер. по изменению климата. М., 2003, с.589.
19. **Косовец А.А., Вишневский В.И.** Долговременные изменения климатических условий на территории Украины и их влияние на гидрологический режим рек. Тезисы докладов Всемирной конфер. по изменению климата. М., 2003, с.257.
20. **Лурье П.М., Панов В.Д.** Речной сток Кавказа в условиях современного изменения климата. Тезисы докладов Всемирной конфер. по изменению климата. М., 2003, с.256.
21. **Семенов В.А.** Климатически обусловленные изменения стока рек северной и центральной Евразии. Тезисы докладов Всемирной конфер. по изменению климата. М., 2003, с.593
22. **Бегалишвили Н.А., Тавартиладзе К.А., Бегалишвили Н.А.** Оценка вековых изменений микроклимата и стока для некоторых водосборов рек Грузии. Труды Инст. гидрометеорологии АН Грузии «Проблемы гидрологии», т.№106, 2001, с.52-61.
23. **Георгиади А.Г., Милюкова И.П.** Гидрологические последствия глобальных изменений климата в бассейне р.Волги. Тезисы докладов Всемирной конфер. по изменению климата. М., 2003, с.581 .
24. **Голубцов В.В., Ли В.И., Скоцеляс И.И.** Об использовании модели формирования стока для оценки влияния антропогенных изменений климата на ресурсы поверхностных вод. Гидрометеорология и экология, №4, Изд. Казгидромета, Алматы, 1996, с.132-137.
25. **Ли В.И., Попова В.П.** Оценка влияния хозяйственной деятельности на сток рек с использованием математической модели его формирования. Гидрометеорология и экология, №4, Изд. Казгидромета, Алматы, 1996, с.138-143.
26. **Лю С., Ченг В.** Уязвимость системы водных ресурсов в северо-западном Китае. Тезисы докладов Всемирной конфер. по изменению климата. М., 2003, с.584-585.
27. **Мотовилов Ю.Г.** Моделирование влияния изменения климата на речной сток: определенности и неопределенности. Тезисы докладов Всемирной конфер. по изменению климата. М., 2003, с.622.
28. **Скоцеляс И.И., Голубцов В.В., Ли В.И.** Использование, уязвимость и возможные пути адаптации ресурсов поверхностных вод бассейна Ишима в условиях антропогенных изменений климата. Гидрометеорология и экология, №3, Изд. Казгидромета, Алматы, 1996, с.91-101.
29. **Binnie C.J.A.** Climate change and its potential effect on water resources in Asia. Aqua, v.46, N5, 1997, p.274-282.
30. **Kaczmarek Zd., Krasuski D.** Sensitivity of Water Balance to Climate Change and Variability. WP-91-047, NASA, Austria, 1991, 25p.
31. **Mimikon M., Kamelloponlon S., Baltas E.** Human implication of changes in hydrological regime due to climate change in Northern Greece. Glob. Environ. Change, v.9, n2, 1999, p.136-156.
32. **Kaczmarek Zd.** Impact of Climatic Variations on Storage Reservoir Systems. WP-90-020, NASA, Austria, 1990, 34 p.
33. **Долгих С.А., Пилифосова О.В.** О методах оценки ожидаемых изменений глобального климата и сценарии изменения климата Казахстана. Гидрометеорология и экология, №4, Изд. Казгидромета, Алматы, 1996, с.94-109.
34. **ბ.ბეგალიშვილი.** კლიმატის ცვლილების პრობლემებთან დაკავშირებული ტერმინოების მოკლე განმარტებითი დაქსიკონი. ჰმი გამომც., თბილისი, 2004, 74 გვ.

35. ნ.ნ.ბეგალიშვილი, ვ.ცომაია. საქართველოს გვალვიან რაიონებში მდინარეების ჩამონადენის მოსალოდნელ ცვლილებათა შეფასება. საქ. მეცნ. აკად. პიდრომეტეოროლოგიის ინსტ. შრომები “გვალვის და მასთან ბრძოლის პრობლემები”, გ.107, თბილისი, 2002, გვ.122-132.
36. გ.სვანიძე, ვ.ცომაია, ტ.მესხია. საქართველოს წყლის რესურსების მოწყვლადობა და ადაპტაციის ღონისძიებანი. საქ. მეცნ. აკად. პიდრომეტეოროლოგიის ინსტ. შრომები “პიდროლოგიის პრობლემები”, გ.106, თბილისი, 2001, გვ.11-30.
37. ნ.ნ.ბეგალიშვილი, ვ.ცომაია, ნ.ა.ბეგალიშვილი. კლიმატის ცვლილების პირობებში მდინარეული ჩამონადენის ცვლილების შეფასება მათემატიკური მოდელის საფუძველზე. საქ. მეცნ. აკად. პიდრომეტეოროლოგიის ინსტ. შრომები “გვალვის და მასთან ბრძოლის პრობლემები”, გ.107, თბილისი, 2002, გვ.133-138.
38. **Тюрк Д.** Баланс почвенной влаги. Л., Гидрометеоиздат, 1958, 227 с.
39. **Водные ресурсы Закавказья.** Под ред. Г.Г.Сванидзе, В.Ш.Цомая. Л., Гидрометеоиздат, 1988, 264 с.
40. **Владимиров Л.А., Шакарашвили Д.И., Габриадзе Т.И.** Водный баланс Грузии. изд. «Мецниереба», Тбилиси, 1974, 182 с.
41. **Владимиров Л.А., Гигинеишвили Г.Н., Джавахишвили А.И., Закареишвили Н.Н.** Водный баланс Кавказа и его географические закономерности. Изд. «Мецниереба», Тбилиси, 1991, 142 с.
42. **Будыко М.И.** Эволюция биосферы. Л., Гидрометеоиздат, 1984, 488 с.
43. **Климат Тбилиси.** Под ред. Г.Г Сванидзе и Л.К. Папинашвили.СПБ Гидрометеоиздат, 1992, 230 с.
44. **Матвеев Л.Т.** Курс общей метеорологии. Физика атмосферы. Л., Гидрометеоиздат, 1976, 640 с.
45. **Хргиан А.Х.** Физика атмосферы. Л., Гидрометеоиздат, 1964, 647 с.
46. **Ресурсы поверхностных вод СССР.** Т.9. Закавказье и Дагестан. Вып.1. Западное Закавказье. Под редакцией Г.Н.Хмаладзе, Л., Гидрометеоиздат, 1969, 312 с.
47. **Ресурсы поверхностных вод СССР.** Т.9. Закавказье и Дагестан. Вып.1. Западное Закавказье. Под редакцией В.Ш.Цомая, Л., Гидрометеоиздат, 1974, 578 с.
48. **Государственный водный кадастров.** Многолетние данные о режиме и ресурсах поверхностных вод суши. Т. 1. Грузинская ССР. Л., Гидрометеоиздат, 1987, 416 с.
49. **Апхазава И.С.** Озера Грузии. «Мецниереба», 1975.
50. **Метревели Г.С.** Водохранилища Закавказья (Армянская и Грузинская ССР). Л., Гидрометеоиздат, 1985, 132 с.
51. **Сванидзе Г.Г., Гагуа В.П., Сухишвили Э.В.** Возобновляемые энергоресурсы Грузии. Л., Гидрометеоиздат, 1987, 174 с.
52. **Колесников В.И.** Экология и водные отношения Грузии, Тбилиси, «Мецниереба», 1992, 192 с.
53. გ.ხმალაძე. საქართველოს წყლის რესურსები. საქართველოს სტრატეგიული კვლევისა და განვითარების ცენტრის ბიულეტენი, №1(2), თბილისი, 1997, გვ.2-56.

II. საქართველოში მდინარეთა მიწისძგვა ჩამონადენის გამოთვლა და გრუნტის ფყლების მარაბის შეზასება პლიმატის ცვლილების გათვალისწინებით

მიწისძგვა

მიწისძგვა წყლებს უწოდებენ ყველა სახის წვეთობრივ თხევად წყლებს, რომლებიც ავსებენ ზედაპირის სიღრმეში არსებული ნიადაგების ან ქანების ფორებსა და სიცარიელეებს, ფლობენ მთლიანობასა და აქვთ გამოდენის უნარი ბუნებრივად ან ხელოვნურად გაჭრილი ადგილებიდან [7,8,11].

მიწისძგვა წყლების შესწავლას აქვს არა მარტო თეორიული, არამედ კრაქტიკული მნიშვნელობა. ეს კარგათაა ცნობილი საქართველოს არსებობის მრავალი საუკუნოვანი ისტორიიდან. მიწისძგვა წყლებს იყენებდნენ წყალმომარაგებისათვის და მორწყვისათვის. დღესაც მრავლად შეხვდებით საოჯახო საქმიანობისათვის განკუთვნილ ჭებს, სადაც გროვდება მიწისძგვა წყლები; ბევრ ადგილას დაიკვირვება ჩამოქცეული, გაშიშვლებული ფერდობებიდან მიწისძგვა წყლების ნაკადები, რომლებიც გამოყენებულია სასმელად.

საერთოდ მიწისძგვა წყლებს დიდი გამოყენება აქვს სამეურნეო საქმიანობის ყველა დარგში. მაგალითად ჯანმრთელობის დაცვის სფეროში, სადაც სამკურნალო მიზნით იყენებენ თერმულ, თერმომარილიან და თერმოაირა წყლებს. გარდა ამისა მიწისძგვა წყლებს იყენებენ სხვადასხვა სახის სამკურნალო მარილების მისაღებად. განსაკუთრებით დიდია მიწისძგვა წყლების ზემოქმედების მასშტაბები ჰიდროტექნიკურ ნაგებობათა მშენებლობაში: მაგალითად, წყალსაცავების შექმნა ძირფესვიანად ცვლის მიმდებარე ტერიტორიის მიწისძგვა წყლების რეჟიმს; იზრდება წყლის შეკავების უნარი, რამაც შეიძლება გამოიწვიოს დასახლებული პუნქტებისა და სამეურნეო ტერიტორიის დატბორვა, დაჭაობება, ნიადაგის დამარილება, ნაგებობების ქვემოთ ნიადაგის დანესტიანება, სარდაფებში წყლის დაგროვება და სხვა.

ამიტომ საჭიროა მათი რეჟიმის და მარაგის შესწავლა. საჭირო საველე დაკვირვებების მასალები მრავლადაა მოქცეული მთელ რიგ შრომებში, რომელთა საფუძველზე შესაძლებელი მიწისძგვა წყლების მარაგის, მათი დროში და სივრცეში ცვალებადობის, მაფორმირებელ ფაქტორთან (ჩამონადენთან, ატმოსფერულ ნალექებთან და სხვა) კავშირების გამოკვლევა.

2.1. მიწისძგვა ფყლების ფარმოზოგის ზოგიერთი საპითხი

მიწისძგვა წყლები, რომლებიც დებულობენ მონაწილეობას წყლის ბრუნვაში, იყოფა დედამიწის ზედაპირულ და მაგმურ წყლებად. დღეისათვის მიღებულია მათი შემდეგი სახეები:

- უწეო (ზედაპირული) წყლები, რომლებიც მოქცეული არიან ნიადაგის ზედაპირულ განლაგებაში და მათ ზედა წყლებს უწოდებენ;
- დაწნევითი წყლები, რომლებიც მოქცეული არიან ტექტონიკურ ნაპრალებში. ეს არის მინერალური და თერმული წყლები.

მიწისძგვა წყლებს ყოფენ განლაგების მიხედვითაც, არჩევენ:

- ნიადაგის მიწისძგვა წყლებს, რომლებიც ჰიდრავლიკურად არიან დაკავშირებული უფრო დრმად განლაგებულ გრუნტის წყლებთან. ისინი ხასიათდებიან სეზონურობით და დამოკიდებული არიან მეტეოროლოგიურ პირობებზე. მათი გავრცელების არე ეთანხმება ზედაპირულ ჩამონადენის არეს და ისინი საზრდოობენ, მირითადად, ატმოსფერული ნალექებით და ორთქლის კონდენსაციით. ძლიერ განიცდიან პაერის ტემპერატურის გავლენასაც. მიწისძგვა წყლების ეს კომპონენტი ზაფხულობით თბება და ხშირად ორთქლდება. ზამთარში შეიძლება გაიყინოს. ასევე ძლიერ იცვლის ხარისხს.

მშრალ რაიონებში ნიადაგი ხშირად შეიცავს მარილიან წყალს და გამოშრობის დროს ხშირად კრისტალდება და წარმოქმნის მლაშე ნიადაგებს და მლაშობ მცენარეულ საფარს;

- გრუნტის უწნეო მიწისქვეშა წყლებს, რომლებიც განიცდიან დრენაჟს მდინარის კალაპოტისაგან ანუ გამოჩნდებიან ეროზიულ ქსელში, ან კიდევ რელიეფის დაწევით. მათი გავრცელება ხდება ქვემოთ განლაგებულ მკვრივ ქანობამდე, ისინი ფაქტობრივად აღწევენ წყალგაუმტარ ფენებს;
- ქანების წყებათა შორის განლაგებული უწნეო წყლებს, რომლებიც მოქცეული არიან წყალგამტარი ქანების ფენებში. ეს წყლები თითქმის იზოლირებულია ატმოსფერული ნალექებისაგან და მდინარის წყლებისაგან. მათთან დაკავშირებულია ეგრეთწოდებული გვერდითი საზრდოობა იმ ადგილებში, სადაც ზედაპირზე გამოდიან წყალშემცვლელი ქანები. ისინი ასევე გამოდიან ზღვის ან მდინარის ნაპირებიდან.

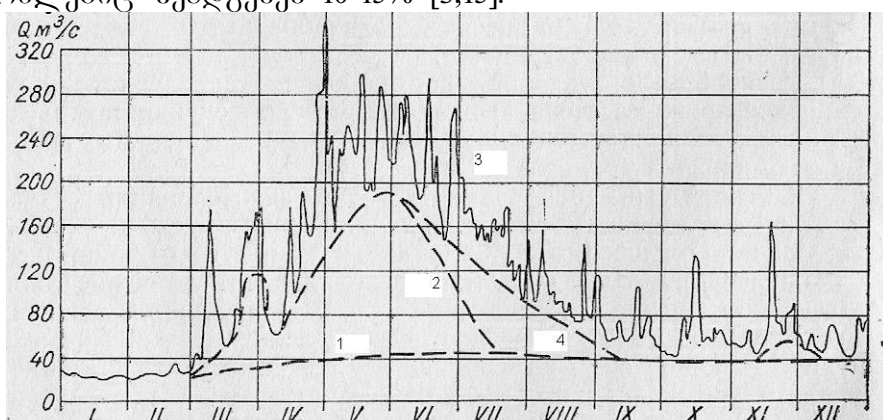
აღწერიდან ჩანს, რომ წინმდებარე ნაშრომში შესწავლის საგანს წარმოადგენს ნიადაგი-გრუნტის მიწისქვეშა წყლები, რომლთა მარაგი დამოკიდებულია მეტეოროლოგიურ პირობებზე.

2.2.მოწიმეთა წყლების გაანგარიშების (პრობოზის) საზუმბლები

მიწისქვეშა წყლები წარმოადგენენ მდინარეების საზრდოობის ერთ-ერთ წყაროს. მათ მარაგს განსაზღვრავენ მდინარის ჩამონადენის ჰიდროგრაფის დანაწევრებით. ასეთი სახის სამუშაოები ჩატარებულია მრავალი მკვლევარის მიერ და მათი განზოგადების საფუძველზე მიღებული შედეგები სისტემატიზებულია შრომებში [1,4,5,7,8,9], რომლებშიც მიწისქვეშა წყლების მარაგი შეფასებულია სხვადასხვა სიდიდით (მოცულობით). საერთო ჯამში მიწისქვეშა ჩამონადენი შეადგენს მთელი ჩამონადენის დაახლოებით 35%-ს რაც მიღებულია მდინარეთა ჩამონადენის განაწილების შესწავლისას დედამიწის ყველა კონტინენტისათვის [7]. ეს კი საიმედო არგუმენტიდ იმის დასტურად, რომ ამ მხრივ არსებული მასალა მიწისქვეშა წყლების შესახებ შეიძლება გამოყენებული იქნას მთელი რიგი თეორიული და პრაქტიკული საკითხების გადასაწყვეტად.

არსებული შრომებიდან მიწისქვეშა წყლების მარაგზე ინფორმაციის სიმრავლით გამოირჩევა პუბლიკაციებში [1,9], რომელთა შედარება მოცემულ ნაშრომში მიღებულ დასკვნებთან გვაძლევს საშუალებას გავაფართოვოთ ანალიზის შედეგები და მათი გამოყენების მასშტაბები.

საერთოდ უნდა აღინიშნოს, რომ ჰიდროგრაფების დანაწევრება მეტად შრომატევადი და რთული პროცესია. ეს კარგად ჩანს ნახ.2.1-ზე, სადაც გამოყოფილია გრუნტის (1), თოვლის დნობის (2), წვიმისა (3) და მყინვარების დნობის (4) წყლების საზრდოობა. ყველა გამყოფი ხაზი პირობითია და ადგილი აქვს სუბიექტურ ცდომილებებს, რომლებიც შეადგენენ 10-15% [3,15].



ნახ.2.1. მდ.რიონის - ს. ალპანასთან 1965 წლის წლიური ჩამონადენის ჰიდროგრაფი.

(1)გრუნტის, (2)თოვლის დნობის, (3)წვიმის, (4)მყინვარების დნობის წყლები.

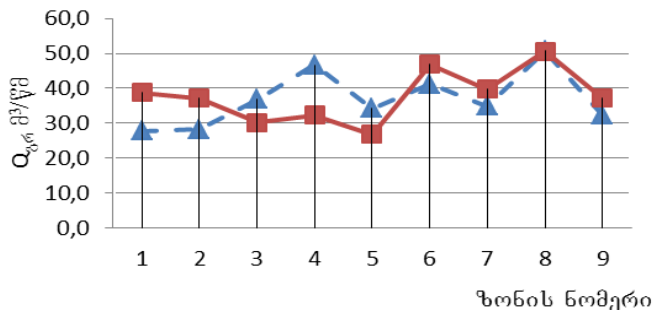
ჰიდროგრაფის დანაწევრების მეთოდის გამოყენება განსაკუთრებით რთულია წყალმოვარდნების ტიპის მდინარეებისათვის, სადაც ცდომილება მაღალია - 15-20% [1]. განხილულ ცდომილებებს ემატება სხვა ცდომილებებიც, რომლებიც დაკავშირებულია საშუალო წლის ჰიდროგრაფის შერჩევასთან. შერჩევა ხდება თვიური ჩამონადენის ნორმებთან შედარების გზით, მაგრამ აქაც ადგილი აქვს ცდომილებას 5-7%-ის ფარგლებში და საერთო ჯამში ცდომილებამ შეიძლება მიაღწიოს 25-30%-ს. ამიტომ მოცემულ ნაშრომში გამახვილდა ყურადღება სხვა უფრო საიმედო მახასიათებლების გამოყენებაზე, რომელიც აგვაცილებდა აღნიშნულ ცდომილებებს და ზემოთ აღნიშნულ სხვა ნაკლოვანებასაც. ასეთ პარამეტრად აღებული იქნა ზამთრის პერიოდის მინიმალური საშუალო თვიური წყლის ხარჯის ნორმა. ის ფიქსირდება უფრო მეტად იანვარში და თებერვალში. მაგრამ ზოგ შემთხვევაში (მაღალ მთიანი რაიონების მდინარეთა აუზებში) დაიკვირვება მარტში, ზოგ შემთხვევაში - სექტემბერშიც (დაბალი ზონის მდინარეებში) ან შეიძლება ორივე შემთხვევას ჰქონდეს ადგილი.

2.3.სხვადასხვა მეთოდით გიღებული გრუნტის ტყლების მარაბის შედარების შედეგები

ზემოთ აღნიშნულიდან ცხადია, რომ თვის საშუალო მინიმალური ჩამონადენი, როგორც მიწისქვეშა წყლების მახასიათებელი, ყოველთვის ნაკლები უნდა იყოს ჰიდროგრაფის დანაწევრებით მიღებულ მიწისქვეშა წყლის მარაგზე. მაგრამ ასეთ შედეგს ყოველთვის ადგილი არა აქვს, ზოგ შემთხვევაში ჰიდროგრაფის დანაწევრებით მიღებული სიდიდე მეტია ზამთრის თვეების მინიმალურ ჩამონადენზე (21,6%), ზოგ შემთხვევაში კი ნაკლებია (39,6%). ეს კარგად ჩანს ცხრ. 2.1-დან და ნახ.2.2-დან.

ცხრილი 2.1. ჰიდროგრაფის დანაწევრებით [5] და ზამთრის თვეების მინიმალური ჩამონადენით მიღებული გრუნტის წყლების მარაგის (Q_{გრ} მ³/წმ) შედარების შედეგები საქართველოს ტერიტორიის სხვადასხვა რაიონისათვის

№	მეთოდის დასახელება	ზონის რიგითი ნომერი საქართველოს ტერიტორიის დარაიონების სქემის მიხედვით [5]								
		1	2	3	4	5	6	7	8	9
1	ჰიდროგრაფის დანაწევრებით [5]	27,8	28,3	36,8	46,7	34,2	41,1	34,8	50,8	32,2
2	ზამთრის თვეების მინიმალური ჩამონადენით სხვაობა %	38,8	37,2	30,2	32,3	26,8	46,9	39,7	50,5	37,2
		-11,0	-8,9	6,6	14,4	7,4	-5,8	-4,9	0,3	-5,0
		-39,6	-31,4	17,9	30,8	21,6	-14,1	-14,1	0,6	-15,5



ნახ.2.2. ჰიდროგრაფის დანაწევრებით [5] - ▲და ზამთრის თვეების მინიმალური ჩამონადენით - ■ მიღებული გრუნტის წყლების მარაგის (Q_{გრ} მ³/წმ) შედარების შედეგები საქართველოს ტერიტორიის სხვადასხვა რაიონისათვის

როგორც გამოთვლის შედეგებიდან ჩანს, მიწისქვეშა ჩამონადენის სიდიდე, მიღებული პიდროგრაფის დანაწევრებით, ზოგჯერ 20-30%-ით აჭარბებს ზამთრის თვეების მინიმალურ ჩამონადენს. მაგრამ უმეტეს შემთხვევაში მოთხოვნილი პირობა დარღვეულია (ექვსი ზონა №1,2,6-9). მაგალითად პირველ ზონაში (დასავლეთ კავკასიონის სამხრეთი ფერდობი) მიწისქვეშა ჩამონადენის მნიშვნელობა ნაკლებია ზამთრის თვეების მინიმალურ მნიშვნელობაზე თითქმის 40%-ით. თუმცა თუ გავასაშუალებო შეფასების შედეგებს საჭართველოს მოელი ტერიტორიისათვის ვღებულობთ თითქმის ერთი და იგივე მნიშვნელობას – სხვაობა შეადგენს 2%-ს.

[5]-სან განსხვავებულია გ.ხმალაძის შრომა გრუნტის წყლების სიდიდის შეფასების შესახებ [8], გაანგარიშებული იმ მეთოდოლოგიური მითითებების და მასალების საფუძველზე, რომელიც შესულია ლენინგრადის პიდროლოგიური ინსტიტუტის 1968 წლის შრომაში, მოსკოვის სახელმწიფო უნივერსიტეტის, სსრკ მიწისქვეშა წყლების რუკების, სსრკ მდინარეების მიწისქვეშა საზრდოობის რეგიონული შეფასების პუბლიკაციებში. გ. ხმალაძეს მოყავს მაგალითი მდ. ბორჯომულა - ქ. ბორჯომთან 1950 წლის პიდროგრაფისა, რომლის დანაწევრებით განსაზღვრულია გრუნტის წყლის მოდულის სიდიდე 4 ლ/წმ. ზამთრის თვეების მინიმალური ხარჯით მიღებული მიწისქვეშა ჩამონადენისათვის ვღებულობთ:

1950 წლის საშუალო წლიური ხარჯი შეადგენს $Q_1 = 2,15 \text{ მ}^3/\text{წმ}$

1950 წლის მინიმალური საშუალო თვიური წყლის ხარჯი შეადგენს $Q_2 = 0,66 \text{ მ}^3/\text{წმ}$

1950 წლის მინიმალური საშუალო თვიური ჩამონადენის მოდული ტოლია

$$M = 0,66 \times 1000 / 165 = 4,0 \text{ ლ/წმ კმ}^2, \quad (1)$$

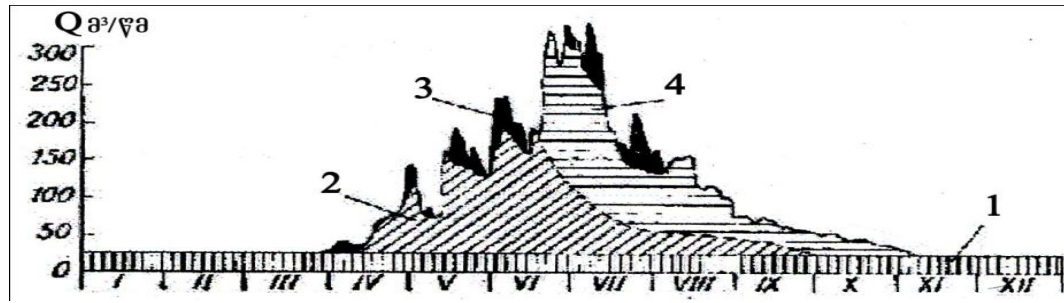
რაც მთლიანად დაემთხვა გ. ხმალაძის გამოთვლილ სიდიდეს, მოყვანილს მიწისქვეშა წყლების განაწილების რუკაზე [8]. კიდევ ერთ მაგალითად შეიძლება მოვიყვანოთ კფოროლაშვილის მიერ დადგენილი მიწისქვეშა წყლების ჩამონადენი მდ. ალაზანზე, მოცემული ცხრ. 2.3-ში [15].

ცხრილი 2.3. მდ.ალაზნის მიწისქვეშა ჩამონადენის შეფასების შედეგები 1978 მონაცემების საფუძველზე [15]

საგუშაგო მრავალწლიური	საშუალო წყლის	გრუნტის წყლის	გრუნტის ზედაპირული წყლის	გრუნტის წყლის	ზედაპირული წლის მონაცემებით
სოფ. ბირკიანი	14,5	6,15	42,4	5,87	43,5
სოფ. შაქრიანი	43,1	24,8	53,1	18,9	43,9
სოფ. ჭიაური	62,1	37,0	54,1	30,1	48,5
სოფ. ზემო -	95,1	55,7	60,6	50,0	52,8
ქედი					
მდ.აგრიჩაის	103	76,1	73,9	66,0	64,8
ქვემოთ					

როგორც ცხრილიდან ჩანს მიწისქვეშა წყლების წლიური ხარჯები მდ.ალაზანზე მდინარის დინების მიმართულებით თანდათან იზრდება და მაქსიმუმს აღწევს შესართავთან (76,1 და 66,0 ლ/წმ). სხვაობა კ. ფოროლაშვილის და წინამდებარე შრომის ავტორების მონაცემებს შორის გამოწვეულია სარწყავ სისტემებში წყალაღებით.

გამოყენებული მეთოდის ობიექტურობას და საიმედოობას ადასტურებს პიდროლოგიური ლექსიკონი [22], საიდანაც აღებულია ქვემოთ წარმოდგენილი ნახ.2.3, რომელშიც გრუნტის (მიწისქვეშა) წყლის გამყოფი ხაზი გატარებულია იანვრის, თებერვლის, მარტის, ნოემბრისა და დეკემბრის მინიმალურ საშუალო თვიურ წყლის ხარჯებზე.



ნახ.2.3. მთის მდინარის ჩამონადენის ჰიდროგრაფის დანაწევრების სქემა საზრდოობის წყაროების მიხედვით [22]. გრუნტის (მიწისქვეშა) (1), თოვლის დნობის (2), წვიმის (3) და მყინვარების დნობის (4) საზრდოობა

2.4. მიწისქვეშა საზრდოობის პოეზიციების გამოთვლის შედეგები

1980 წლის მონაცემებით ჰიდროლოგიურ ცნობარში, დაკვირვებათა ხანგრძლივობით, გამოირჩევა 154 ჰიდროლოგიური საგუშაგო (კვეთი), აქედან 81 (52,6%) მოდის დასავლეთ საქართველოს, ხოლო 73 (47,4%) აღმოსავლეთ საქართველოს რეგიონებზე. შერჩეული საგუშაგოები დაჯგუფდა ოროგრაფიულ - ჰიდროგრაფიულ - ჰიდროლოგიური ნიშნების მიხედვით. რის საფუძველზეც, [5,8]-გან განსხვავებით, დაგინდა საქართველოს ტერიტორიისათვის მიწისქვეშა საზრდოობის მარაგის ახალი დარაიონების 15 ზონა. ზონირებისას გათვალისწინებულია: გრუნტის წყლის მაფორმირებელი ფაქტორები; ჰიდროგრაფიული ქსელის თავისებურებანი; ფიზიკურ-გეოგრაფიული პირობები; მდინარის საზრდოობის და ჩამონადენის ფორმირების ერთგაროვნობა; ზამთრის თვეების მრავალწლიური მინიმალური ჩამონადენის (მიწისქვეშა წყლების მარაგი $Q_{\text{გრ}}$ თითოეული ზონისათვის) და საშუალო მრავალწლიური ჩამონადენის (Q) მნიშვნელობები (იხ.ცხ.2.4.). $Q_{\text{გრ}}$ დადგინდა მიწისქვეშა საზრდოობის $K = Q_{\text{გრ}} / Q$ კოეფიციენტი (გასაშუალოებული ზონის მდინარეების ყველა კვეთისათვის).

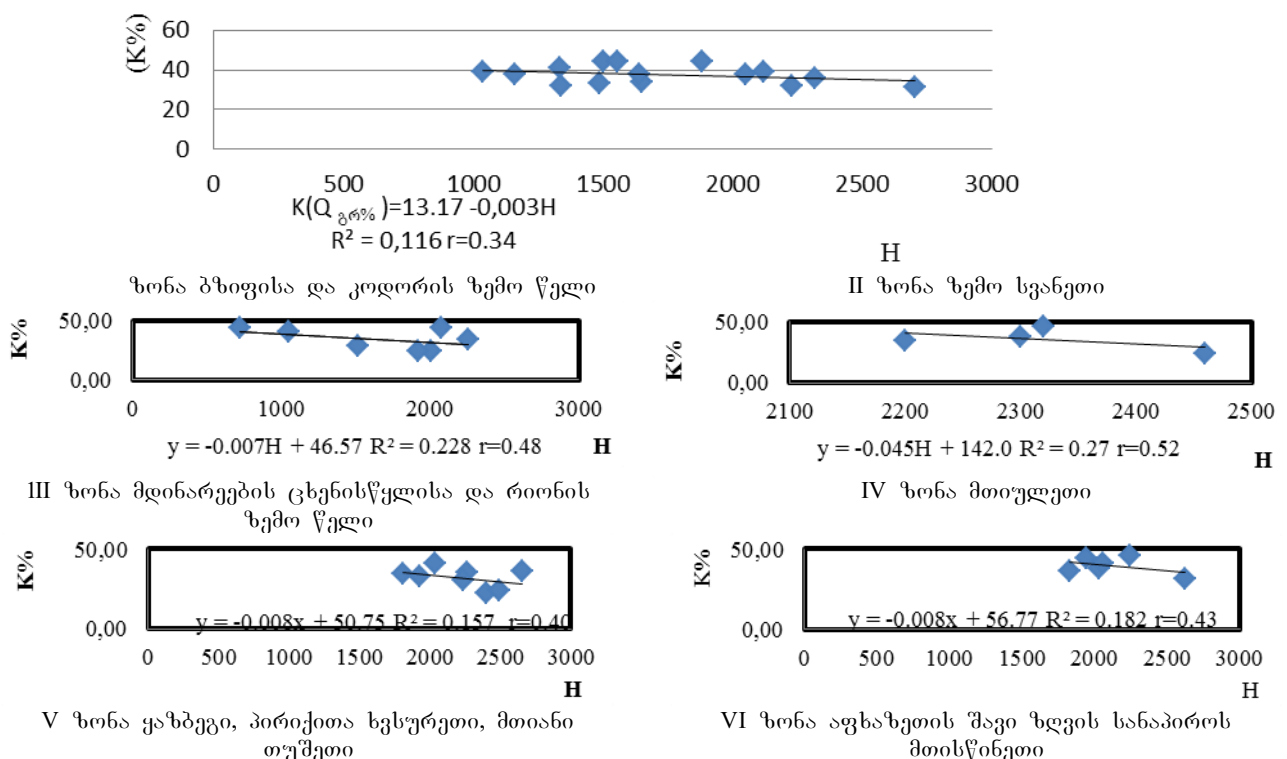
2.5. მიწისქვეშა ფყლების ჩამონადენის ცვლილების თავისებურებანი ადგილის სიმაღლის მიხედვით

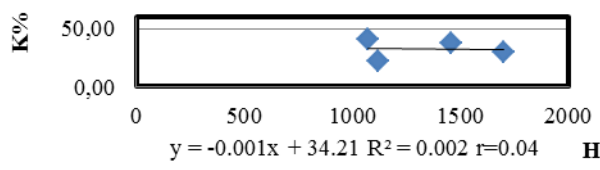
გრუნტის წყლის პროცენტული სიდიდის დამოკიდებულება წყალშემკრები აუზის საშუალო სიმაღლესთან სრულიად ახალი ცნებაა, და თავისი შედეგებით გამოირჩევა, რაც ნათლად ჩანს ნახ.2.4-დან. ყველა რაიონისათვის დამოკიდებულება მჭიდროა; მათგან ყველა რაიონის დამოკიდებულება ხასიათდება გრუნტის წემცირების ტენდენციით წყალშემკრები აუზის საშუალო სიმაღლის ზრდასთან ერთად როგორც ზამთრის (იანვარი, თებერვალი), ასევე ზაფხულისა და შემოდგომის (აგვისტო, სექტემბერი) გრუნტის წყლის პროცენტული მახასიათებლები; წერტილების გადახრა საშუალო ხაზიდან აისხება წყალშემკრები აუზის საშუალო დახრილობის გავლენით, კერძოდ რაც მეტია ეს დახრილობა, მით ნაკლებია გრუნტის წყლის მარაგის პროცენტული სიდიდე. გაცილებით უკეთესი შედეგი გამოვლინდა მთლიანად მთელი საქართველოსათვის, წარმოდგენილი ნახ.2.5, რომლის საფუძველზე მიღებული იქნა რეგრესის გამტოლება:

$$Q_{\text{გრ}, \%} = 13.17 - 0.003H \quad (2)$$

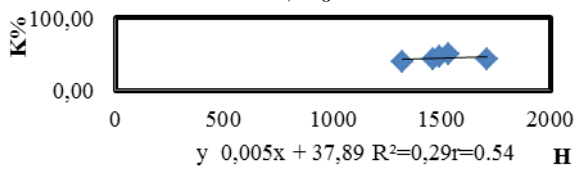
**ცხრილი 2.4. საქართველოს ტერიტორიის დარაონება მიწისქვეშა წყლების
მარაგის გათვალისწინებით**

ზონის №	ზონის დასახელება	წყლების მარაგის გათვალისწინებით				
		მდინარეების სახელწოდებები (მ)	მდინარეების სახელწოდებები (%)	დახრილობა (%)	გრძელების უკლიერებელი (%)	
I	ბზიფისა და კოდორის ზემო წელი	720-2200	1651	447 -516	34	
II	ზემო სვანეთი	2160-2460	2320	224 - 462	36	
III	მდინარეების ცხენისწყლისა და რიონის ზემო წელი	1660-2500	2229	270 - 450	32	
IV	მთიულეთი	1470-2129	2120	260 - 452	39	
V	ყაზბეგი, პირიქითა ხელსურეთი, მთიანი თუშეთი	950-1700	2702	535 - 600	31	
VI	აფხაზეთის შავი ზღვის სანაპიროს მთისწინეთი	720-1300	1338	300 - 391	32	
VII	კოლხეთის დაბლობი და მიმდებარე მთისწინეთი	150-1630	1160	15 - 428	38	
VIII	ყვირილა, ძირულას აუზი	640-1000	1003	104 - 277	39	
IX	ქართლის ვაკე და მიმდებარე მთისწინეთი	500-1470	1502	184 - 344	44	
X	კახეთი (მდინარეების იორის და ალაზნის აუზი)	900-2590	1643	173 - 555	38	
XI	შავი ზღვისპირეთი, მდინარეების სუფსა-ჩაქისწყლის აუზების ქვედა წელი	830-2260	1333	240 - 561	41	
XII	მდინარე აჭარისწყლის აუზი	1470-1700	1558	308 - 470	44	
XIII	მდინარე მტკვრის ზედა წელი -ახალციხე-ბორჯომის ქვაბული	1680-1820	1882	132 - 380	44	
XIV	სამცხე-ჯავახეთის პლატო	2100-2120	2051	91 - 132	38	
XV	მდინარე ქვია-ხრამის აუზი	800-2050	1487	92 - 232	33	

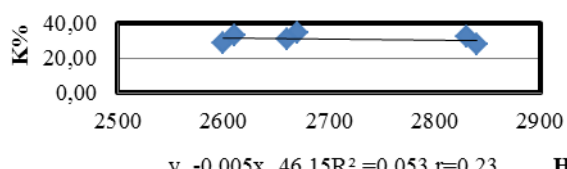




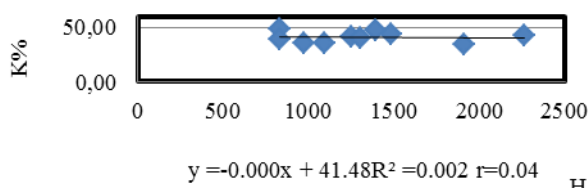
VII ზონა კოლხეთის დაბლობი და მიმდებარე მთისწინეთი



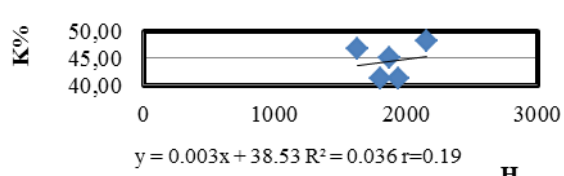
IX ზონა ქართლის ვაკე და მიმდებარე მთისწინეთი



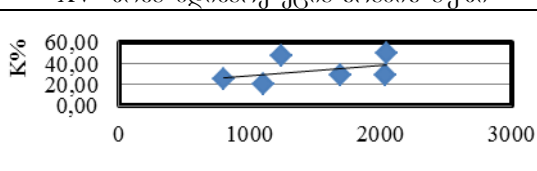
XI ზონა შავი ზღვისპირეთი, მდინარეების სუფსა- ხაქისწყლის აუზების ქვედა წელი



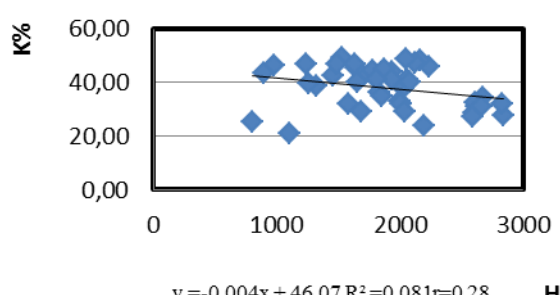
XIII ზონა მდინარე მტკვრის ზედა წელი -ახალციხე- ბორჯომის ქვედა წელი



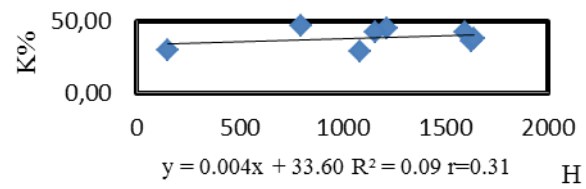
XV ზონა მდინარე ქცია-ხრამის აუზი



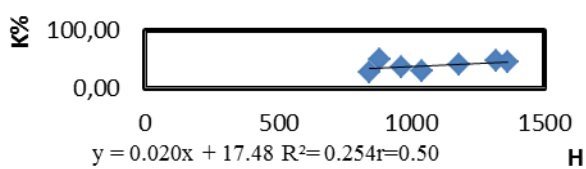
აღმოსავლეთ საქართველოს რეგიონი



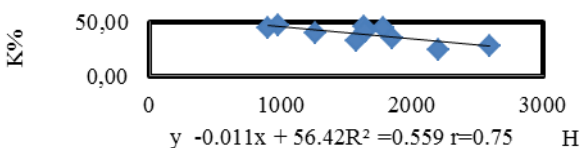
საქართველო მთლიანად



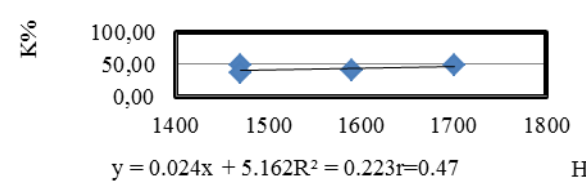
VIII ზონა ყვირილა, ძირულის აუზი



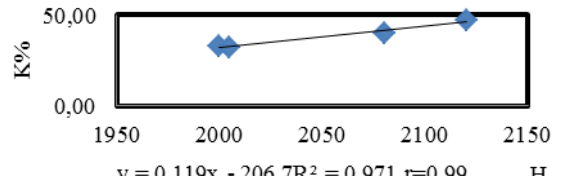
X ზონა კახეთი (მდინარეების იორის და ალაზნის აუზი)



XII ზონა მდინარე აჭარისწყლის აუზი

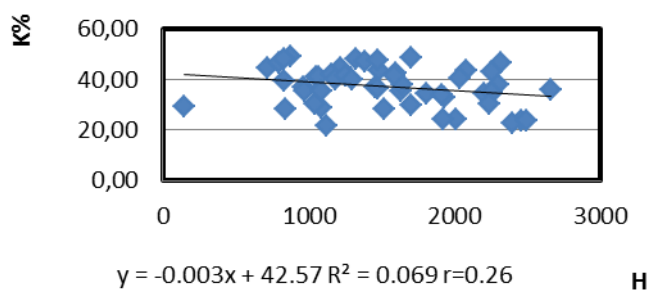


XIV ზონა სამცხე-ჯავახეთის პლატო

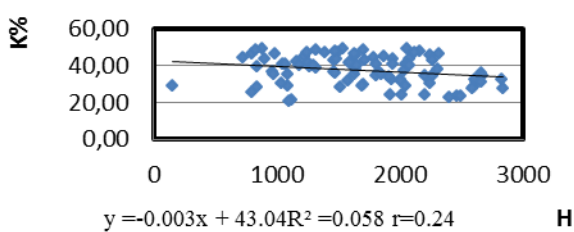


ნახ.2.4.ა. გრუნტის წყლის პროცენტული ხილის დამოკიდებულება წყალშემცრევი აუზის საშუალო ხილადლენთან

დასავლეთ საქართველოს რეგიონი



ნახ.2.4.ბ. გრუნტის წყლის პროცენტული



სიდიდის დამოკიდებულება წყალშემკრები აუზის

ნახ.2.4.ბ და (2) ფორმულიდან ჩანს, რომ გრუნტის წყლის რაოდენობა მცირდება სიმაღლის ზრდასთან ერთად და იგი ნულის ტოლია 3500 მ-ის სიმაღლეზე – ცივი ფენის კრიოსფეროს ქვედა საზღვარზე, სადაც წყალი ყინულოვან მდგომარეობაშია. ამასთან უნდა აღინიშნოს, რომ გრუნტის წყლის მარაგის განაწილება კერძო შემთხვევა არ არის. მას ადგილი აქვს მთიანი მხარის ყველა რაიონში.

ნახაზებიდან ნათლად ჩანს, რომ გრუნტის წყლის მარაგი სიმაღლის ზრდასთან ერთად კლებულობს, როგორც საქართველოს აღმოსავლეთ ასევე დასავლეთ რეგიონებში. გამონაკლის წარმოადგენს XII, XIII, XIV და XV ზონები, კერძოდ აჭარის წყლის აუზში მდაჭარისწყლის ინტენსიური მოხმარების (თურქეთის მხარე) შეიმჩნევა მცირე ზრდა მიწისქვეშა წყების. XIII ზონაში მიწისქვეშა წყლების სიმაღლის ზრდასთან ერთად გამოწვეულია აუზს მდინარეებთა განსხვავებული საზრდოობით და გეოლოგიური აგებულებით. ანალოგიური მდგომარეობა XIV და V ზონებშიც.

2.6.მიზისმვება წყლების მარაგის ცვლილების ხასიათი წლიური ჩამონადენის ცვლილების ზონები

ჰიდროლოგიური ცნობარების მასალების საფუძველზე ცხრ.7 სისტემატიზირებულია Q_მ და Q_წ საშუალო სიდიდეები დაკვირვების 1935 წლიდან 1960, 1970, 1975 და 1980 წლამდე სულ აღმოჩნდა 21 მდინარე, 26 ჰიდროლოგიური მონაცემებით. ქვემოთ მოყვანილია ჯამური სიდიდეები რეგიონებისა და მოლიანი ტერიტორიის მიხედვით, მაგრამ უნდა შევნიშნოთ, რომ მდინარეების ჰიდროგრაფიული მახასიათებლები არ იყო მდგრადი; განსაკუთრებით დიდ გართულებებს პქნდა ადგილი 420 ათას ჰექტარ სარწყავ მიწებზე, სადაც გაყვანილ იქნა 58 მაგისტრალური სარწყავი არხები 15000 კმ საერთო სიგრძით და ბოლოს მდინარეების ჩამონადენის გაფანტვას აძლიერებდა მდინარეების წყლის გამოყენება კომუნალურ მუნიციპალიტეტებში; მარტო მდ. არაგვის ფილტრების წყლის აუზების მჭიდრო ქსელიდან ქ. თბილისს აწვდიდა 13 - 15 მ³/წ წყალს ან 400 - 450 მლნ კუბურ მეტრ წყალს წელიწადში რაც 10-ჯერ მეტია ვიდრე 1952 წელს.

აღნიშნულ შედეგებს მდინარეების 26 ჰიდროლოგიური საგუშაგოების მრავალწლიურ ჩამონადენებს დიდი ცვლილებები არ გამოუწვევია: აღნიშნულ პერიოდთა რიგში მდინარეთა ჩამონადენი თითქმის არ შეცვლილა. მათი ჩამონადენები აღნიშნული პერიოდების მიხედვით ერთიმეორისაგან განსხვავდებიან სულ მცირე ±0,5 - 3,0%, რაც 20 - 30% ნაკლებია საშუალო კვადრატულ ცდომილებაზე. მაგალითად, მდინარე კოდორის - ს. ლათაში ჩანადენი ზემოთ ჩამოთვლილი პერიოდებისათვის შეადგენს შესაბამისად 87,8, 87,2, 87,6 და 90,1 მ³/წ. საშუალო კვადრატული ცდომილების 11,7% დროს. შესაბამისი გრუნტის წყლების ჩამონადენი შეადგენდა 30,3, 31,1, 30,2 და 30,7 მ³/წ. მაგვე მდინარის აუზში – მდ. ჩხალთა – სოფ. ჩხალთას მაგალითზე გვაქვს შესაბამისად 40,7, 39,5, 38,5 და 38,8 მ³/წ. საშუალო კვადრატული ცდომილების 4,82 მ³/წ; ასეა სხვა შემთხვევებშიდაც, რაც ყველა შემთხვევაში ტრენდები უმნიშვნელო ზრდის ან შემცირების ტენდენციით ხასიათდებიან მთელი 45 - 50 წლის განმავლობაში; იგივე სურათი ისახება მათი ჯამური შედეგებიდან, რომელიც მოყვანილია ცხრ. 7 ბოლო სტრიქონებზე.

დასავლეთ საქართველოში ჯამური ჩამონადენი შეადგენს 587 - 600 მ³/წ. გრუნტის წყლის ჯამური ჩამონადენი კი 211 - 221 მ³/წ. აღმოსავლეთ საქართველოში

შესაბამისად მივიღეთ 315,6 - 318,4 გ³/წ და 136,2 - 137,7 გ³/წ. მთლიანი ჯამი კი შეადგენს 902,6 - 917,4 და 349,2 - 358,6 გ³/წ შესაბამისად.

ასევე შეგვიძლია დავადგინოთ მიწისქვეშა წყლის მარაგი მთელი ჩამონადენის იმ მარაგიდან, რომელიც დადგინდა 2011 წლის 23 მარტის წყლის საერთაშორისო დღესასწაულის დღეს

$$Q_{\text{მ}}=Q \cdot Q_{\text{წ}} = 0,45 \cdot 62,5 = 28,1 \text{ კმ}^3$$

(4)

ამრიგად მიწისქვეშა წყლის მარაგი საქართველოში შეადგენს 28,1 კმ³, რაც მთლიანად წყლის რესურსების მარაგის 28,1 %-ია, მას მარაგით მესამე ადგილი უკავია საქართველოში ზედაპირული წყლისა და მყინვარების მარაგის შემდეგ.

ცხრილი 7. საშუალო წლიური ჩამონადენი სხვადასხვა ხანგრძლივობის პერიოდისათვის

№№	მდინარე - ჟუნქი	ფართობი, კმ ²	საშუალო სიმაღლე, მ	წყლის აუზი		დაკვირვების პერიოდი			
				1935-1962		1935-1970		1935-1975	
				საშუალო წლიური წყლის მიწისქვეშა	წყალი	საშუალო წლიური წყლის მიწისქვეშა	წყალი	სარჯები მიწისქვეშა	წყალი
1	ბზიფი-სოფ.ჯირხვა	1410	1690	96,6	96,8	95,8	96,2		
2	ქოდორი-სოფ.ლათა	1420	1920	39,0	41,3	40,3			
3	ჩხალთა-სოფ.ჩხალთა	465	2080	87,8	87,2	87,6	90,1		
4	გნგური-სოფ.ხაიში	2790	2320	30,3	31,1	30,2	30,7		
5	რიონი-ქონი	1060	2260	40,7	39,5	38,8	38,8		
6	რიონი-სოფ.ხიდიკარი	2010	2040	11,4	11,4	11,1	11,2		
7	რიონი-სოფ.ალბანა	2830	1810	107	108	108	111		
8	ჯეჯორა-სოფ.პაპილეთი	408	1930	23,8	24,2	25,0	25,6		
9	ყვირილა-ზესტაფონი	2490	960	42,2	43,7	43,6	43,7		
10	რიონი-სოფ.წერება	1190	880	12,3	12,3	12,1	12,0		
11	რიონისწყალი-სოფ.ლუჯი	506	2240	6	74,5	73,6	73,6		
12	ტებური-სოფ.ნაქალაქევი	558	1160	32,4	34,4	34,4	34,6		
13	ნატანები-სოფ.ნატანები	408	880	12,5	13,0	12,6	12,8		
14	აჭარისწყალი-სოფ.ქედა	1360	1470	4,51	5,00	4,72	4,61		
15	მტკვარი-სოფ.ხერთვისი	4980	2150	27,0	25,1	25,7	26,0		
16	მტკვარი-სოფ.მინაძე	8010	2050	9,08	8,72	8,89	8,93		
17	მტკვარი-სოფ.ლიგანი	10500	2000	23,3	22,8	22,7	23,4		
18	მტკვარი-ქ.თბილისი	21100	1710	6,61	6,68	6,80	6,98		
19	გარაგანი-სოფ.ხერთვისი	558	1160	36,6	31,2	31,4	32,4		
20	ფოცხვი-სოფ.სხევლისი	23,5	2120	19,6	19,7	19,3	20,2		
21	აბასთუმანი-ს.აბასთუმანი	99,0	1830	24,3	24,1	23,9	24,0		
22	ბორჯომი-ქ.ბორჯომი	165	1310	14,5	15,8	15,7	16,3		
23	არაგვი-სოფ.გასანაური	335	2110	45,2	44,9	44,3	44,1		
24	ქციახრამი-წითელიხიდი	8260	1510	12,0	12,0	12,0	12,1		
				12,1	12,2	12,0	12,1		
				21,8	21,4	21,4	21,3		
				6,9	6,93	7,06	7,09		
				0,31	0,35	0,36	0,39		
				2,41	2,41	2,39	2,48		
				0,62	0,68	0,68	0,69		
				12,0	12,0	12,0	12,0		
				6,05	6,10	6,12	6,18		
				51,1	52,8	51,9	51,7		

					23,7	25,9	24,9	24,4
25	ალაზანი-სოფ.შაქრიანი	2190	1760		43,3	43,4	43,3	43,1
					19,5	19,5	19,1	18,9
26	ალაზანი სოფტიაური	4530	980		60,2	62,6	61,7	62,1
					30,8	30,3	29,7	30,1
Σ	1+2+4+7+8+9+11+12+13+14	14180	16380		591,3	591,2	587,0	599,6
					211,4	219,7	217,3	220,9
Σ	18+24+26	33890			316,3	318,4	315,6	317,8
					136,8	137,7	136,23	137,7
					907,6	909,6	902,6	917,4
		48070			348,2	357,4	353,5	358,6

2.7. ბრუნტის წყლის შიდაწლიური განაწილების თავისებურებანი

გრუნტის წყლის შიდაწლიური განაწილება ნაკლებად შესწავლილია, გამონაკლის წარმოადგენს ც. ბასილაშვილის შრომა ორი მდინარის ენგურისა და რიონის მაგალითზე [2]. მიღებული შედეგების გამოთვლა ჩატარება პიდროგრაფის დანაწევრების მეთოდით მეტად რთული, შრომატევადი მეთოდის გამოყენების საფუძველზე. შედარებისათვის მოყვანილია შემოთავაზებული ახალი მეთოდით გამოთვლილი შედეგები წარმოდგენილია ცხრ.2.8 და ნახ.2.5 სახით.

როგორც ცხრილიდან და ნახაზიდან ჩანს, ორივე მეთოდით მიღებული შიდაწლიური განაწილება თითქმის ერთგვაროვანია. ცივ სეზონში (XI-II) გრუნტის წყლის წილი საერთო ჩამონადენში მაღალია 80-100%. თბილ სეზონში (IV-VIII) წყალდიდობის პერიოდში დაბალია 10% (მდ. ენგური) და 17-20% (მდ. რიონი). ცვლილებების საერთო შედეგებით მიწისქვეშა წყლების შიდაწლიური განაწილება თითქმის ერთიდაიგივეა. შენიშვნული გადახრა გამოწვეულია პიდროგრაფის დანაწევრებისათვის შერჩეული წლის შერჩევაში დაშვებულ ცდომილებაში, რომელიც, როგორც ზემოთ ავღნიშნეთ საშუალოდ 5%-ია; ცხადია ცალკეულ შემთხვევაში შეიძლება მეტიც იყოს და ამ ცდომილებებს არ შეიცავს ავტორების მიერ შემოთავაზებული მეთოდი. ამასთან შემოთავაზებული მეთოდი გვაძლევს საშუალებას გამოვთვალოთ ზედაპირული წყლის წილი, კერძოდ

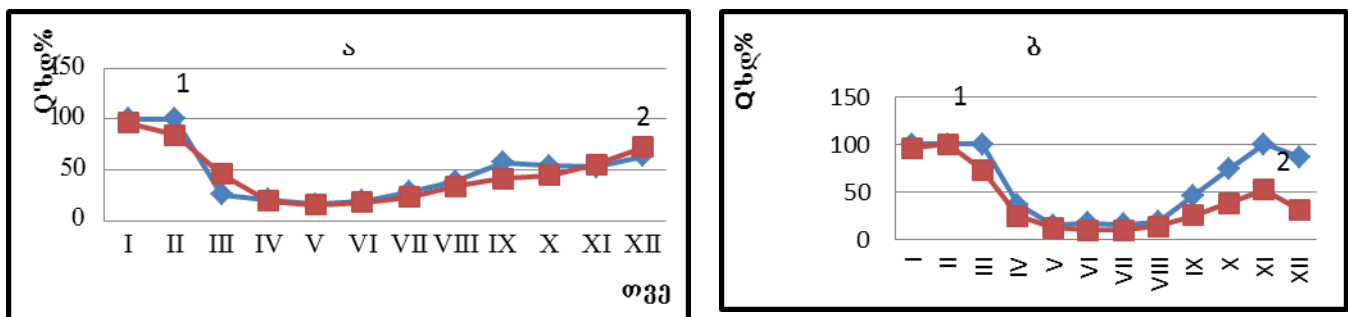
$$Q_{\text{ზდ}} = 100 - Q_{\text{გრ}} \quad (4)$$

და წარმოადგენს წარმოდგენილი მრუდების შებრუნებულ სიდიდეს, კერძოდ ზედაპირული წყლების წილი ცხელ თვეებში (V-VII) მაღალია 80-85% მდ. რიონისათვის, 80-90% მდ. ენგურისათვის; ცივ თვეებში (XI-III) კი დაბალია 0-10%.

ცხრილი 2.8. მდინარეების რიონის- ალპანასა და ენგური – ხაიშის გრუნტის წყლის ($Q_{\text{გრ}}$) შიდა წლიური განაწილების შედარების შედეგები

I	II	III	IV	V	VI	ავტორი						
						თ	ვ	ე	X	XI	XII	წლ.
						მდ. რიონი - ალპანა						
100	100	25,9	21,0	16,2	19,5	28,1	39,2	57,6	54,4	52,9	63,4	[2]
96,5	84,3	46,2	14,6	15,5	18,0	23,5	34,2	46,6	44,6	55,7	72,1	33,4
						მდ. ენგური - ხაიში						
100	100	100	37,1	15,1	17,4	16,2	18,3	46,1	74,0	100	86,7	30,1
96,4	100	73,6	24,8	12,7	10,2	10,0	13,7	25,6	38,4	57,7	31,5	23,1

შენიშვნა: ც. ბასილაშვილის მონაცემებით საშუალო წლად შერჩეულია 1965 წ. (მდ.რიონი და 1967 წ. (მდ. ენგური))



ნახ.2.5. გრუნტის წყლის შიდაწლიური განაწილება: (ა) მდ.რიონი – ს.ალპანა; (ბ) მდ.ენგური – ს.ხაიში.

1.Q_{გრ}. გამოთვლილი ჰიდროგრაფის დანაწევრებით,

2.Q_{გრ}. გამოთვლილი საშუალო მინიმალური თვიური წყლის ხარჯით.

2.8 მდინარეთა საშუალო წლიური ხარჯების გაანგარიშება
(პროგნოზი) მიწისქვეშა წყლების საშუალო წლიური ხარჯების საფუძველზე

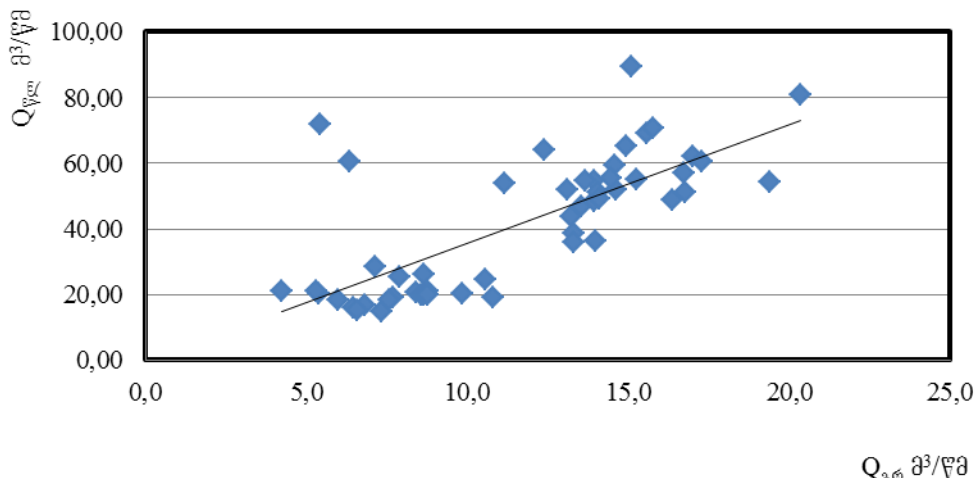
2.8.1. ჟინვალჰესის წყალსაცავში ჩამდინარე წყლების წლიური პროგნოზი

ჟინვალის წყალსაცავი მდებარეობს სამი მთავარი ჩამდინარეების: თეთრი არაგვის, შავი არაგვისა და ფშავის არაგვის შესაყარში, რომელთა საერთო ფართობი შეადგენს 1306 კმ² და უჭირავს მთლიანი ფართობის (1400 კმ²) 68,7%. მათი ჯამური ჩამონადენი შეადგენს 38,3 მ³/წმ ანუ მთელი ჩამონადენის (43,8 მ³/წმ) 87,4%, გრუნტის წყლისა კი 80,2%.

ცხრილი 2.9.

ჟინვალის წყალსაცავი													
Nº	თვე	Q _{გრ}	Q _{წლ}	Q _{წლ} =3.616Q _{გრ} -			Q _{წლ} =3.616Q _{გრ} -						
				0.574	R ² = 0.542; r=0.74			0.574	R ² = 0.542; r=0.74				
1	1939	8.6	26.17	30.7	-4.5	-17.2	27	1965	13.2	43.80	47.3	-3.5	-7.9
2	1940	10.6	24.50	37.6	-13.1	-53.4	28	1966	13.3	38.55	47.6	-9.0	-23.4
3	1941	9.8	20.34	35.0	14.7	-72.1	29	1967	11.2	53.93	39.8	14.1	26.2
4	1942	10.8	18.93	38.4	19.5	-102.9	30	1968	16.4	48.87	58.6	-9.8	-20.0
5	1943	7.4	14.90	26.0	-11.1	-74.5	31	1969	13.3	35.72	47.5	-11.8	-32.9
6	1944	4.2	21.21	14.7	6.5	30.6	32	1970	13.1	52.07	46.8	5.3	10.2
7	1945	6.5	16.01	22.8	-6.8	-42.5	33	1971	13.9	54.76	49.8	4.9	9.0
8	1946	7.9	25.54	28.0	-2.4	-9.5	34	1972	13.5	46.94	48.4	-1.4	-3.1
9	1947	7.1	28.48	25.2	3.3	11.6	35	1973	16.8	51.21	60.1	-8.9	-17.3
10	1948	5.4	71.88	19.1	52.8	73.5	36	1974	13.9	48.40	49.8	-1.4	-3.0
11	1949	6.8	16.92	24.1	-7.2	-42.4	37	1975	13.7	54.78	48.9	5.9	10.7
12	1950	7.7	19.11	27.3	-8.2	-42.9	38	1976	15.6	69.11	55.8	13.3	19.3
13	1951	7.6	18.21	26.9	-8.7	-47.6	39	1977	15.1	89.37	54.0	35.4	39.6
14	1952	6.3	60.46	22.3	38.1	63.1	40	1978	15.3	55.14	54.6	0.5	0.9
15	1953	5.4	20.25	18.9	1.3	6.6	41	1979	19.4	54.39	69.5	-15.1	-27.9
16	1954	5.3	20.89	18.7	2.2	10.7	42	1980	14.9	65.39	53.4	12.0	18.4
17	1955	8.4	20.55	29.9	-9.3	-45.4	43	1981	14.1	51.23	50.2	1.0	2.0
18	1956	8.8	20.98	31.1	-10.1	-48.1	44	1982	20.3	80.72	73.0	7.7	9.6
19	1957	6.6	15.19	23.2	-8.0	-52.6	45	1983	14.5	55.46	51.7	3.8	6.8
20	1958	6.0	18.35	21.0	-2.7	-14.5	46	1984	15.8	70.75	56.4	14.3	20.3
21	1959	12.4	64.08	44.3	19.8	30.9	47	1985	14.1	49.03	50.4	-1.4	-2.8

22	1960	17.0	62.09	60.9	1.2	2.0	48	1986	16.7	56.88	59.9	-3.0	-5.4
23	1961	14.6	51.73	52.3	-0.6	-1.2	49	1987	8.6	19.69	30.4	10.7	-54.5
24	1962	14.0	36.40	50.0	13.6	-37.4	50	1988	8.7	19.74	30.7	11.0	-55.5
25	1963	17.3	60.45	61.9	-1.5	-2.4	51	1989	8.7	20.28	31.0	10.8	-53.0
26	1964	14.6	59.46	52.1	7.3	12.3	52	1990	8.8	19.71	31.2	-11.5	-58.2
			σ						3.7	18.1	13.3	9.7	28.7
			საშუალო						11.5	41.1	41.1	0.0	-12.6



ნახ.2.6. ეინვალებების წყალსაცავში ჩამდინარე მდინარეების წლიურ ჩამონადენის გაანგარიშება მიწისქვეშა წყლების ჯამური წლიური ხარჯების საფუძველზე

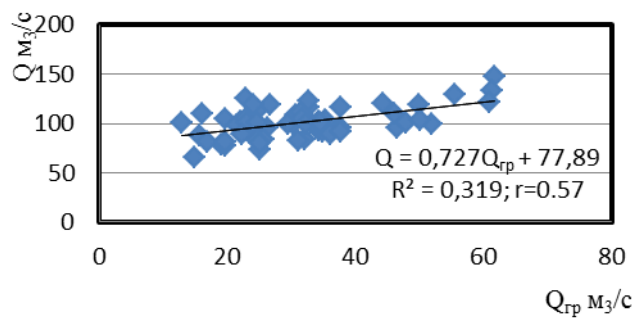
2.8.2. მდინარე რიონი-ალპანას პიდროლოგიურ კვეთში ჩამონადენის პროგნოზი

მდინარე რიონი საქართველოში ერთერთი დიდი მდინარეა სიგრძით, წყალშემკრები აუზით და ჩამონადენით, რაც შეადგენს შესაბამისად 327 კმ, 13400 კმ² და 409 მ³/წმ; კარგად განვითარებული მდინარეთა ქსელით და დაკვირვების პუნქტებით [14]. ყველაზე მნიშვნელოვან ნაწილს წარმოადგენს ზემო წელი - ს.ალპანამდე, რომლის წყალშემკრები აუზის ფართობი შეადგენს 2280 კმ², საშუალო სიმაღლე 1810 მ, საშუალო დახრილობა 322 %. საშუალო წლიური ჩამონადენი 101 მ³/წმ (35,7 ლ/წმ კმ², 1124 მ³, 3,18 კმ²); ასე, რომ მას უკავია ფართობით 16,6% მთელი ფართობიდან და 25% წყლის მთელი მარაგიდან, რაც წარმოადგენს მთავარ წყაროს მის ქვემოთ მდებარე აუზის წყლის რესურსებისა და სამეურნეო საქმიანობაში გამოყენების მთავარ წყაროს. ამიტომ წყლის მთლიანი ჩამონადენის პროგნოზს დიდი ყურადღება ექცეოდა და ექცევა დღესაც. წლიური ჩამონადენის პროგნოზი გრუნტის წყლის ჩამონადენის საფუძველზე დიდი სიახლეა და ჯერ კიდევ არაა შედგენილი.

საჭირო მასალები და შედეგები მოყვანილია ცხრ.11, სადაც გამოთვლები და შეფასება ჩატარდა ზემოთ (პუნქტი 9.1) აღწერილი სქემის მიხედვით.

**ცხრილი 11. მდ.რიონი-ს.ალპანა წლიური ჩამონადენის ($Q_{\text{წ}}$) პროგნოზი
გრუნტის წყლის ხარჯის ($Q_{\text{გ}}$) საფუძველზე**

№	წელი	$Q_{\text{გ}}$	Q	$Q_{\text{წ}} = 0,727Q_{\text{გ}} + 77,89$ $R^2 = 0,319; r=0.57$			№	წელი	$Q_{\text{გ}}$	Q	$Q_{\text{წ}} = 0,727Q_{\text{გ}} + 77,89$ $R^2 = 0,319; r=0.57$		
				Q	სხვაობა	%					Q	სხვაობა	%
1	1919	22.9	125	94.5	30.5	24.4	33	1960	47.9	101	112.7	-11.7	-11.6
2	1920	26.4	96	97.1	-1.1	-1.1	34	1961	16.8	81	90.1	-9.1	-11.2
3	1921	23.5	93	95.0	-2.0	-2.1	35	1962	31.1	83	100.5	-17.5	-21.1
4	1922	61.8	147	122.8	24.2	16.4	36	1963	60.9	121	122.2	-1.2	-1.0
5	1927	51.9	100	115.6	-15.6	-15.6	37	1964	34.9	92	103.3	-11.3	-12.2
6	1928	35.3	103	103.6	-0.6	-0.5	38	1965	12.9	101	87.3	13.7	13.6
7	1929	22.1	97	94.0	3.0	3.1	39	1966	24.8	101	95.9	5.1	5.0
8	1930	19.1	78	91.8	-13.8	-17.7	40	1967	22.3	89	94.1	-5.1	-5.7
9	1931	19.7	104	92.2	11.8	11.3	41	1968	49.9	119	114.2	4.8	4.1
10	1932	24.8	112	95.9	16.1	14.4	42	1969	25.7	84	96.6	-12.6	-15.0
11	1933	22.2	102	94.0	8.0	7.8	43	1970	32.7	123	101.7	21.3	17.3
12	1934	46.6	96	111.8	-15.8	-16.4	44	1971	35.5	102	103.7	-1.7	-1.7
13	1936	16	110	89.5	20.5	18.6	45	1972	30.3	100	99.9	0.1	0.1
14	1937	26.8	119	97.4	21.6	18.2	46	1973	24.8	83	95.9	-12.9	-15.6
15	1940	55.6	129	118.3	10.7	8.3	47	1974	36.1	89	104.1	-15.1	-17.0
16	1941	61.4	133	122.5	10.5	7.9	48	1975	31.7	104	100.9	3.1	2.9
17	1942	24	99	95.3	3.7	3.7	49	1976	30.7	109	100.2	8.8	8.1
18	1943	32.1	84	101.2	-17.2	-20.5	50	1977	19.6	77	92.1	-15.1	-19.7
19	1944	37.7	116	105.3	10.7	9.2	51	1978	31.5	111	100.8	10.2	9.2
20	1945	15.6	88	89.2	-1.2	-1.4	52	1979	50.2	103	114.4	-11.4	-11.1
21	1946	36.1	97	104.1	-7.1	-7.4	53	1980	29.5	100	99.3	0.7	0.7
22	1947	21.4	98	93.4	4.6	4.6	54	1981	44.4	120	110.2	9.8	8.2
23	1948	46.1	110	111.4	-1.4	-1.3	55	1982	31.7	104	100.9	3.1	2.9
24	1949	22.9	105	94.5	10.5	10.0	56	1983	24.1	119	95.4	23.6	19.8
25	1950	24.6	100	95.8	4.2	4.2	57	1984	37.7	92	105.3	-13.3	-14.5
26	1952	33.1	101	102.0	-1.0	-0.9	58	1985	19.7	81	92.2	-11.2	-13.8
27	1954	37.7	95	105.3	-10.3	-10.8	59	1986	25.1	80	96.1	-16.1	-20.2
28	1955	14.8	66	88.6	-22.6	-34.3	60	1987	32.4	100	101.4	-1.4	-1.4
29	1956	32.7	116	101.7	14.3	12.4	61	1988	34.4	102	102.9	-0.9	-0.9
30	1957	25.1	74	96.1	-22.1	-29.9	62	1989	34.4	101	102.9	-1.9	-1.9
31	1958	34.3	93	102.8	-9.8	-10.6	63	1990	34.6	101	103.0	-2.0	-2.0
32	1959	23.1	101	94.7	6.3	6.3	6		31.34	101	99.4	-11.1	-1.5
							საშუალო		8.581	10.91	7.1	21.3	10.2



ნახ.2.7. მდ.რიონი-ს.ალპანას კვეთში წლიურ ჩამონადენის გაანგარიშება მიწისქვეშა წყლების წლიური ხარჯების საფუძველზე

2.8.3. მდინარე მტკვარი-ქ.თბილისის ჰიდროლოგიურ კვეთში ჩამონადენის პროგნოზი

მდინარე მტკვარი ამიერკავკასიის ერთერთი დიდი მდინარეა: იწყება თურქეთში, გაივლის საქართველოსა და აზერბაიჯანის რესპუბლიკებს, სადაც მოქცეულია მისი სიგრძის 194 კმ, 350 კმ და 840 კმ შესაბამისად. ასევე წყალშემკრები აუზის ფართობის 4920, 22780 და დანარჩენი მდ არაქსთან ერთად. 1602200 კმ² თურქეთის, სომხეთისა და აზერბაიჯანის რესპუბლიკებში. მისი წყლის რესურსები დიდ როლს თამაშობს ჩამოთვლილი რესპუბლიკების ეკონომიკაში, როგორც ელექტროენერგეტიკაში, ამასთან მორწყვასა და საყოფაცხოვრებო საქმიანობაში, ამასთან მისი გამოყენების მასშტაბები იზრდება. დღესაც ვარძის სამონასტრო კომპლექსთან შეხდება ახალი 3 მეტრიანი სიგანის და 70 მეტრიანი სიგრძის საავტომობილი ხიდი; ასევე დაიწყო 158,8 მილიონი ევროს ღირებულების ახალციხის ჰესის მშენებლობა. დიდი სამუშაოებია დასახული სარწყავი არხების წესრიგში მოვანის საქმეში. ბევრია სხვა პროექტებიც, მაგრამ აღნიშნული საკმარისია, რომ სრულფასოვნად შევაფასოთ მდინარის ჰიდროლოგიური რესურსები მტკვრის რესურსების გამოყენების მასშტაბების გაფართოვების მიზნით. ამ მხრივ მრავალი კაპიტალური მონოგრაფიული შრომებია გამოქვეყნებული, რომლის შედეგები საფუძვლად დაედო მოქმედი და სამომავლო პროექტებს, მშენებლობისა და ექსპლუატაციის ტექნიკურ-ეკონომიკურ დახასიათებას. ამ მხრივ მეტად საინტერესოა მდ. მტკვრის გრუნტის წყლის ჩამონადენის გამოთვლის შესაძლებლობა წლიური ჩამონადენის საფუძველზე. მდ.მტკვარი-ქ.თბილისის მაგალითზე გამოყენებულია 1924-1980 წლების ჰიდროლოგიური მასალა მდინარის წლიური და გრუნტის წყლის ჩამონადენის შესახებ, რომელიც სისტემატიზირებულია ცხრ.13. თვით ეს მასალა დაყოფილია სამ ჯგუფად (განყოფილებად)

პირველი განყოფილება – საავტორო ანალიზისათვის 1924 – 1953 წწ.

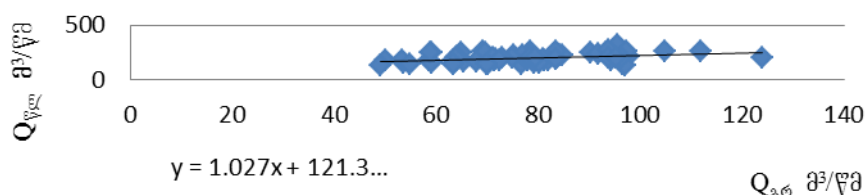
მეორე განყოფილება – საწარმოო ანალიზისათვის 1954 – 1961 წწ.

მესამე განყოფილება – ოპერატიული ანალიზისათვის 1976 – 1980 წწ.

შეიძლება დაჯგუფების სხვა ვარიანტიც შევარჩიოთ; მთავარი - პირველი განყოფილებაა, რადგან მისი სრული ანალიზის საფუძველზე გამოვლენილი კანონზომიერებანი უნდა შემოწმდეს ანალიზის მომდევნო განყოფილებებში. გამოთვლის სქემა ანალოგიურია ჟინგალის წყალსაცავის მაგალითზე.

აგებული იქნა დამოკიდებულება გრუნტის წყლის ($Q_{გრ}$) და წლიური ჩამონადენის ($Q_{წლ}$) შორის (ნახ. 13), რომლის საფუძველზე მიღებული იქნა რეგრესიის განტოლება:

$$Q_{გრ} = 0,16 Q_{წლ} + 85 \quad (15)$$



ნახ.13. გრუნტის წყლის ჩამონადენის ($Q_{გრ}$) დამოკიდებულება წლიურ ჩამონადენზე ($Q_{წლ}$) მდ.მტკვარი - ქ.თბილისის მაგალითზე

ფორმულა (15) საფუძველზე გამოთვლები მოყვანილია გრაფა 5,6 და7, ხოლო დისერტაციის კორექციის კოეფიციენტის $K_K = 1,08$ გათვალისწინებით გამოთვლილი შედეგები მოყვანილია გრაფა 8,9 და 10. მეოდის უზრუნველყოფა შეადგენს 76,7 და 83,3% შესაბამისად.

ცხრილი 13. მდ.მტკვარი-ქ.თბილისი კვეთაზე ყოველწლიური გრუნტის წყლის ჩ

ამონადების (Q₃) გამოთვლა წყლის საშუალო წლიური ხარჯების (Q_წ) საფუძველზე

ანგარიშის მე-2 თავში მიღებული იყო ზედაპირულ და მიწისქვეშა ჩამონადენებს შორის კავშირის გამომხატველი შემდეგი გამოსახულება, მაგალითად, მდ.რიონი-ს.ალპანას კუთისათვის:

$$R=0.727Q+77.89.$$

დასმული ამოცანის გადასაწყვეტილ საჭიროა, პირიქით, გამოვსახოთ
მიწისქვეშა ჩამონადენი ზედაპირული ჩამონადენით, გვექნება:

$$O=1.376R-107.14.$$

ამ განტოლებაში Q და R მოიცემა $\text{მ}^3/\text{წ}-\text{შ}.$ რადგან მიწისქვეშა ჩამონადენის ცვლილებას შევაფასებთ ტიურკის მოდელის საფუძველზე, Q და R გადავიყვანოთ მმ-ში. გვექნება:

$$Q=1.376R-1192.55.$$

ამრიგად, მდ.რიონი-ს.ალპანას კვეთში მიწისქვეშა ჩამონადენისათვის ვდებულობთ ტიურკის მოდელის ანალოგი:

$$Q = 1.376P \left[1 - \frac{L}{\sqrt{cL^2 + P^2}} \right] - 1192.55 ,$$

სადაც კვლავ $c=150.5$; $L=300+25t+0.05t^3$; ხოლო R , P და Q მოიცემა მმ-ში.

როგორც ვხედავთ, მიწისქვეშა ჩამონადენის ცვლილების დასადგენათ ვდებულობთ:

$$dQ=1.376dR,$$

სადაც, როგორც მანამდე,

$$dR = \frac{\partial R}{\partial P} dP + \frac{\partial R}{\partial t} dt ,$$

ხოლო

$$\frac{\partial R}{\partial P} = 1 - \frac{L}{\sqrt{cL^2 + P^2}} + \frac{LP^2}{(cL^2 + P^2)\sqrt{cL^2 + P^2}} ,$$

$$\frac{\partial R}{\partial t} = \frac{\sqrt{cL^2 + P^2} - cL^2(cL^2 + P^2)^{-\frac{1}{2}}}{cL^2 + P^2} \cdot P(25 + 0.15t^2) .$$

ამრიგად, უველა ფორმულა და გამოთვლები მიღებული ზედაპირული ჩამონადენისათვის ძალაში რჩება იმ დამატებით, რომ მიწისქვეშა ჩამონადენის ცვლილებისათვის უველა ეს შეფასებები უნდა გავამრავლოთ კოეფიციენტზე 1.376. ამიტომ, გვექნება:

$$\frac{\partial R}{\partial P} = 0.923; \quad \frac{\partial R}{\partial t} = -0.232 \text{ მმ/გრად:}$$

და

$$dQ=1.376(0.923dP-0.232dt),$$

ე.ო. საბოლოოდ

$$dQ=1.27dP-0.32dt.$$

როგორც ზედაპირული ჩამონადენის შემთხვევაში, მიწისქვეშა საზრდოობისათვის ისევ მივიღეთ, რომ მისი მგრძნობიარობები ნალექებისა და ჰაერის ტემპერატურის ცვლილებათა მიმართ, საწინააღმდეგო ნიშნის არიან. ეს ნიშნავს, მაგალითად, რომ ნალექებისა და ტემპერატურის მატება შესაკრებზე, იწვევს მიწისქვეშა ჩამონადენის შესაბამისად მატებას და შემცირებას.

მიწისქვეშა ჩამონადენის მგრძნობიარობათა შეფარდებისათვის ვდებულობთ:

$$n = \frac{P_0}{t_0} \times \frac{\frac{\partial Q}{\partial P}}{\frac{\partial Q}{\partial t}} = \frac{1225}{7.9} \cdot \frac{1.27}{0.32} = 615.$$

ამრიგად, მიწისქვეშა ჩამონადენის მგრძნობიარობა ნალექთა ცვლილების მიმართ 615-ჯერ მეტია მგრძნობიარობაზე ტემპერატურის ცვლილებისას.

შეცაფასოთ მიწისქვეშა ჩამონადენის მოსალოდნელი ცვლილება, გამოწვეული გლობალური დათბობის გავლენით. კვლავ ვეყრდნობით დასავლეთ საქართველოს რეგიონისათვის შემდეგ კლიმატურ სცენარს: ჰაერის ტემპერატურა იზრდება 3°C -ით, ხოლო ნალექების ჯამები მცირდება ნორმის 5-10%-ით. მაშინ ($dQ_1=1.27x(-61.2)-0.32x3=-77.72-0.96=-78.68 \approx -78.7$ მმ=-7.1 მ³/წ-შ,, რაც შეადგენს ნორმის დაახლოებით 22%-ს.

($dQ_2=1.27x(-122.4)-0.32x3=-155.45-0.96=-156.4$ მმ=-14.1 მ³/წ-შ ანუ ნორმის 44%-ია).

როგორც მოსალოდნელი იყო, ეს სიდიდეები შეიძლება მივიღოთ ზედაპირული ჩამონადენის შემცირების შეფასებიდან 1.376 კოეფიციენტზე გამრავლებით (იხ.
მდ.რიონის-ს.ალპანას კვეთში ზედაპირული ჩამონადენის ცვლილების შეფასებები)

$$(dQ)_1 = -57.2 \times 1.376 = -78.7 \text{ მმ;}$$

$$(dQ)_2 = -113.7 \times 1.376 = -156.5 \text{ მმ.}$$

ანალოგიური შეფასებები შეიძლება წარმოვადგინოთ მდ.მტკვრის-ქ.თბილისის კვეთის შემთხვევაში, რომლისთვისაც დამოკიდებულება მიწისქვეშა და ზედაპირულ ჩამონადენებს შორის ასევე მოცემულია ანგარიშის მე-2 თავში:

$$Q=0.16R+35,$$

აქ Q და R -ის განზომილებაა $\text{მ}^3/\text{წ}\cdot\text{მ}$. გამოვსახოთ ისინი მმ-ში, გვექნება

$$Q=0.16R+52.25.$$

ამრიგად, მიწისქვეშა ჩამონადენის ცვლილებისათვის გვექნება

$$dQ=0.16dR0$$

და, როგორც წინა შემთხვევაში იყო ნაჩვენები, ყველა ადრე მიღებული შეფასებათა შედეგები უნდა გავამრავლოთ 0.16 კოეფიციენტზე. აღმოსავლეთ საქართველოსთვის მიღებული გლობალური დათბობის სცენარის პირობებში, როდესაც მოსალოდნელია ჰაერის ტემპერატურის 4°C -ით მატება და ნალექთა ჯამების შემცირება ნორმის 10%-ით, შეფასება გვაძლევს

$$dQ=-213.9 \times 0.16 = -34.2 \text{ მმ, რაც ნორმის } (116.9 \text{ მმ}) \text{ დაახლოებით } 30\%-ს წარმოადგენს.$$

ამრიგად მდ.მტკვარი-ქ.თბილისის კვეთში აღნიშნული კლიმატური ცვლილების სცენარის პირობებში მოსალოდნელია მიწისქვეშა ჩამონადენის შემცირება 30%-ით.

დასპენა

1. მრავალმხრივი ანალიზის საფუძველზე შეიქმნა საიმედო მეცნიერული ბაზა მიწისქვეშა წყლების შესახებ.
2. ანალიზის საიმედო საფუძველს წარმოადგენს წყლის მრავალწლიური საშუალო თვიური ხარჯი, რომელსაც საფუძვლად დაედო ჰიდროლოგიური ლექსიკონი.
3. დადგინდა, რომ საქართველოში გრუნტის წყლის მარაგი მერყეობს 17,4% -დან (მდ.ენგური-ს. დიზი, ჩრდილოეთ კავკასია – ყაზბეგის, პირიქითა ხევსურეთისა და მთათუშეთის რაიონები) 50,5%-მდე (მდინარეების ფარავნისა და ქცია-ხრამის ზემო წელი), საშუალოდ შეადგენს მთელი ჩამონადენის 37,7%-ს, ანუ 24,4 კმ³-ს და ამ მხრივ მას წყლის რესურსების მარაგში მესამე ადგილი უკავია ზედაპირული წყლების რესურსების (30,0 კმ³) შემდეგ.
4. მიწისქვეშა წყლების მარაგი იზრდება სიმაღლის ზრდასთან ერთად, აღწევს მაქსიმუმს 1000-2000 მ-ის ზონაში, შემდეგ კი კლებულობს და ხდება ნულის ტოლი 3500-3600 მ-ის სიმაღლით ზონაში – ატმოსფეროს ცივი ფენის – კრიოსფეროს საზღვართან.
5. მიწისქვეშა წყლების მარაგი იცვლება ჰიდროენერგეტიკული რესურსების ცვლილების მიმართ, ხასიათდება შემცირების ტენდენციით ჰიდროენერგეტიკული რესურსების ზრდის მიმართულებით.
6. ჭარბობს მდინარეები, რომელთა გრუნტის წყლის ჩამონადენი მერყეობს 21-40%-მდე და 40,1 – 80%, რომელთა რაოდენობა შეადგენს შესაბამისად 41,0 და 36,8%, 20%-ზე ნაკლები და 80% მეტი შემთხვევათა რიცხვი 2,5და 2,5%.
7. გრუნტის წყლების შიდაწლიურ განაწილებაში შენიშნულია, რომ ცივ პერიოდში (XI-II)
8. გრუნტის წყლის წილი საერთო ჩამონადენში მაღალია (80-100%), თბილ თვეებში (IV-VIII) წყალდიდობის პერიოდში დაბალია და შეადგენს 10 – 20%,
9. მნიშვნელოვნად გაიზარდა გრუნტის წყლის გამოყენების მასშტაბები. დამუშავდა ყოველ წლიური წყლის ხარჯების პროგნოზირების შესაძლებლობა გრუნტის წყლის ხარჯის ბაზაზე მთელ რიგ მდინარეებზე: მეთოდის უზრუნველყოფა მაღალია და შეადგენს 80-95% (მდინარეების მტკვარი-ქ.თბილისის, რიონი- ალკანასა და წყალსაცავ უინვალჰესის ჩამდინარე მდინარეთა ჯამური ჩამონადენის მაგალითზე).
10. მიწისქვეშა წყლების სტატუსია წიაღისეული სიმდიდრე, ამიტომ იგი, როგორც სხვა წიაღისეული სიმდიდრე, ეკუთვნის იმ ქვეყანას, სადაც იგი მდებარეობს და წარმოადგენს ოქროს ფონდს.
11. საიმედოდ დადგენილი მეცნიერული ბაზა გრუნტის წყლის მარაგის შესახებ ერთადერთი საფუძველია წყლის რესურსების ინდუსტრიის პრობლემებთან დაკავშირებული რეკომენდაციების ტექნიკური დასაბუთებისათვის.

გამოყენებული ლიტერატურა

1. ცომაია ვ.შ. კატასტროფული წყალმოვარდნების მაქსიმალური ხარჯები მდინარე რომელი. საქართველოს მეცნიერებათა აკადემიის წყალთა მეურნეობისა და საინჟინერო ეკოლოგიის ინსტიტუტის საერთაშორისო კონფერენციის სამეცნიერო შრომათა კრებული. თბილისი, 2001, გვ.224-228.
2. Аполов Б.А., Калинин Г.П., Комаров В.Д. Курс гидрологических прогнозов. Л.,Гидрометеоиздат,1947,418 с.
3. Басилашвили Ц.З. Анализ формирования и прогноз месячного, квартального и сезонного стока рек Квирила и Ханисцкали. Труды ЗакНИГМИ, вып.62(68), Гидрометеоиздат.Л.,1975,с.33-41
4. Бегалишвили Н.А., Цинцадзе Т.Н., Цомая В.Ш., Лашаури К.А., Бегалишвили Н.Н., Цинцадзе Н.Т. Исследование подземного стока рек и оценка запасов грунтовых вод в Грузии. Тр.института гидрометеорологии Грузинского технического университета, Т.117, Тбилиси,2011,с.46-50.
5. Владимиров В.Л., Гигинеишвили Г.Н. и др. Водный баланс Кавказа и его географические закономерности. Тб.,»Мецниереба», 1991,141 с.
6. Водные ресурсы Закавказья. Под редакцией Г.Г. Сванидзе, В.Ш. Цомая. Гидрометеоиздат. Л.,1988, 263 с.
7. Корчинский В.А. Взаимосвязь подземного и поверхностного питания малых рек Молдавии. Тр.института водных проблем АН СССР, М. 1986, с.409-415.
8. Лурье П.Н. Водные ресурсы и водный баланс Кавказа. Гидрометеоиздат. Санкт-Петербург.2002.506 с.
9. Ми ровой баланс и водные ресурсы. Гидрометеоиздат.Л.,1974.638 с.
10. Методы изучения и расчета водного баланса. Гидрометеоиздат.Л., 1981. 397 с.
11. Особенности и закономерности формирования вод суши. Поверхностные и подземные воды. Институт Водных проблем АН СССР. М., 1986. 471 с.
12. Особенности и перспекти водопользования Присамурье. Махачкала.2008. 85 с.
13. Природные ресурсы Грузии и проблемы их рационального использования. АН Грузии. Изд.»Мецниереба».Тб.,1991. 683 с.
14. Попов О.В. Подземное питание рек. Гидрометеоиздат.Л., 1968. 291 с.
15. Потолашвили В.В. О методике расчленения подземного стока р. Алазани на составляющие. Труды ЗакНИГМИ, вып.68(74), Гидрометеоиздат.Л.,1979,с.73 –76.
16. Ресурсы поверхностных вод СССР. Том 9.Вып.3. Под редакцией Алушинской Н.М и др.,Гидрометеоиздат.Л., 1966,299 с.
17. Ресурсы поверхностных вод СССР. Том 9.Вып.1. Под редакцией В.Ш. Цомая.Гидрометеоиздат.Л., 1974, 578 с.
18. Ресурсы побережьных вод СССР. Том 9. Вып.1.Под редакцией Г.Н. Хмаладзе. Гидрометеоиздат, Л., 1965. 275 с.
19. Роте А.А. Вопросы водного режима почв. Гидрометеоиздат.Л., 1978.213 с.
20. Сисенко В.Н., Барбат Ю.П., Черкасов Л.Г. Бассейны правых притоков р. Нарина от устья р. Цекемерена до устья р. Малого Нарына. Каталог ледников СССР, т.14,вып.1,часть 4. Гидрометеоиздат, Л.,1973, 59 с.
21. Цомая В.Ш., Гобеджишвили Р.Г. Определения акумуляции абляции и баланса ледников на основании процессов холода и тепла предзимие на примере ледников Кавказа. Сборник трудов географического института им.Вахушти Багратиони. Вып.XVIII, Тбилиси, 2005.с.78 - 85.
22. Чеботарев А.И. Гидрологический словарь. Гидрометеоиздат. 1978. 307 с.
23. Формирование устьев рек Азербайджанского побережья Каспия и вопросы рационального использования их природных ресурсов.Под редакцией И.А.Алиева. Баку,1986, 278 с.

№	მდინარულებითი	ვის ერთვის	საქართველოს სიგენერირებული ენერგეტიკული მდინარეების მდინარეების მოცულობა W, გბ ³	ზონის მდინარის ჩამონადენი, საშუალო წლიური ხარჯი, გ ³ /წ			ზონაში მდინარეების წყლის რესურსების მოცულობა W, გბ ³			საქართველოს მდინარეების წყლის რესურსები W, გბ ³			გავლინების მდინარეების საშუალო გადაფინანსების დამაკავშირებელის გადაფინანსების დამაკავშირებელი (%)	
				გ ³ /წ			გ ³			გ ³				
				მდინარეები	ინჟინერული განვითარები	კავშირი	მდინარეები	ინჟინერული განვითარები	კავშირი	მდინარეები	ინჟინერული განვითარები	კავშირი		
I ზონა: ბზიფისა და კოდორის ზემო წელი														
1	ბზიფი-რეზავის ზემოთ	შავი ზღვა	2010	5,90	18,50	24,40	0,19	0,58	0,77	0,19	0,58	0,77	24,18	
2	ბზიფი-ბიჭვინთა	შავი ზღვა	1517	31,40	78,60	110,00	0,99	2,48	3,47	0,99	2,48	3,47	28,55	
3	ჩორნაოა-შესართავი	შავი ზღვა	720	3,88	4,90	8,75	0,12	0,15	0,28	0,12	0,15	0,28	44,34	
4	გუმისთა-აჩადარა	შავი ზღვა	1050	12,80	18,30	31,10	0,40	0,58	0,98	0,40	0,58	0,98	41,16	
5	კოდორი-ლათა	შავი ზღვა	1920	21,80	68,30	90,10	0,69	2,15	2,84	0,69	2,15	2,84	24,20	
7	ჩხალთა-ჩხალთა	კოდორი	2080	17,00	21,80	38,80	0,54	0,69	1,22	0,54	0,69	1,22	43,81	
8	გვანდრა-გვანდრა	კოდორი	2260	6,90	13,00	19,90	0,22	0,41	0,63	0,22	0,41	0,63	34,67	
საშუალო ზონის			1651	14,24	31,91	46,15	0,45	1,01	1,45	0,45	1,01	1,45	34,42	
ჯამური ზონის							3,14	7,04	10,18	3,14	7,04	10,18		
II ზონა: ზემო სვანეთი														
4	ნენსერა-ლახამი	შავი ზღვა	2300	11,50	18,90	30,40							37,83	
6	ენგური-დიზი		2460	16,30	52,20	68,50							23,80	
7	ენგური - ხაიში		2320	51,80	59,20	111,00	1,63	1,86	3,50	1,63	1,86	3,50	46,67	
9	ენგური-ხუბერი		2200	14,60	27,60	42,20	0,46	0,87	1,33	0,46	0,87	1,33	34,60	
საშუალო ზონის			2320	23,55	39,48	63,03	1,05	1,37	2,41	1,05	1,37	2,41	35,72	
ჯამური ზონის							2,09	2,73	4,83	2,09	2,73	4,83		

III ზონა: ცხენისწყალი-რიონის ზემო წელი														
1	ჭანჭახი-შესართავი	რიონი	2400	1,70	5,82	7,52						22,61		
2	უეჯორა-პიპილეთი		1930	4,20	8,58	12,80						32,81		
3	რიონი-უწერა		2490	7,50	24,00	31,50						23,81		
4	რიონი-ონი		2260	15,30	28,38	43,70						35,01		
5	რიონი-ხიდიქარი		2040	29,90	43,70	73,60						40,63		
5	რიონი-ალპანა		1810	34,90	66,10	101,00	1,10	2,08	3,18	1,10	2,08	3,18	34,55	
7	ზესხო-ზესხო		2660	1,40	2,52	3,90						35,90		
8	ცხენისწყალი-ლუჯი	რიონი	2240	7,10	16,30	23,40	0,22	0,51	0,74	0,22	0,51	0,74	30,34	
საშუალო ზონის			2229	12,75	24,43	37,18	0,66	1,30	1,96	0,66	1,30	1,96	31,96	
ჯამური ზონის							1,32	2,60	3,92	1,32	2,60	3,92		
IV ზონა: ლიახვი-არაგვის ზემოწელი														
1	დიდი ლიახვი-ჯაგა	ბტბვარი	2240	8,18	9,62	17,80						45,96		
2	დიდი ლიახვი-კეხვი	ბტბვარი	2338	9,00	17,20	26,20	0,28	0,54	0,83	0,28	0,54	0,83		
3	პატარა ლიახვი-ვანათო	დიდ-ლიახვი	1940	4,07	5,19	9,26	0,13	0,16	0,29	0,13	0,16	0,29	43,95	
4	ქსანი-კორინთა	ბტბვარი	1830	2,53	6,92	9,45							36,56	
5	თეთრი არაგვი-მლეთა	არაგვი	2620	1,67	3,67	5,34	0,05	0,12	0,17	0,05	0,12	0,17	31,27	
6	შავი არაგვი-შესართავი	არაგვი	2030	2,89	4,80	7,69	0,09	0,15	0,24	0,09	0,15	0,24	37,58	
7	ფშავის არაგვი-მაღაროსკარი	არაგვი	2060	7,70	11,00	18,70	0,24	0,35	0,59	0,24	0,35	0,59	41,18	
საშუალო ზონის			2151	5,15	8,34	13,49	0,16	0,26	0,42	0,16	0,26	0,42	39,42	
ჯამური ზონის							0,51	0,78	1,29	0,51	0,78	1,29		
V ზონა: ყაზბეგი-მთათუშეთი														
1	თერგი-ყაზბეგი				7,50	15,90	23,40						32,05	
2	თერგი-ლარსი				8,49	18,21	26,70	0,27	0,57	0,84	0,27	0,57	0,84	31,80
3	ჩხერი-ყაზბეგი				0,34	0,61	0,95						35,79	
4	პირიქითა ალაზანი-დართლო		2840	2,02	5,24	7,26							27,82	
5	-"- - ომალო		2830	3,18	6,67	9,85	0,10	0,21	0,31	0,10	0,21	0,31	32,28	
6	თუშეთის ალაზანი-ჯვარბოსელი		2670	1,87	3,54	5,41	0,06	0,11	0,17	0,06	0,11	0,17	34,57	

7	თუშეთის ალაზანი-ხახაბო		2610	2,86	5,87	8,73	0,09	0,18	0,27	0,09	0,18	0,27	32,76
8	ჭანტახისწყალი-ხისო		2600	0,94	2,34	3,28							28,66
9	ჭანტახისწყალი-შენაქო		2660	7,75	17,15	24,90	0,24	0,54	0,78	0,24	0,54	0,78	31,12
	საშუალო ზონის		2702	3,88	8,39	12,28	0,15	0,32	0,48	0,15	0,32	0,48	31,87
	ჯამური ზონის					0,76	1,62	2,38	0,76	1,62	2,38		
ზონა VI: აფხაზეთის შავიზღვისპირა მთისწინეთი													
1	შავი წყალი - საგალმახე	შავი ზღვა	1120	1,89	6,90	8,75	0,06	0,22	0,28	0,06	0,22	0,28	21,60
2	გუმისთა-აჩადარა		1070	12,80	18,30	31,10	0,40	0,58	0,98	0,40	0,58	0,98	41,16
3	აღმ. გუმისთა ჰესის ზემოთ		1700	2,40	5,60	8,04	0,08	0,18	0,25	0,08	0,18	0,25	29,85
4	ლალიძე-ტყვარჩელი		1460	4,21	7,20	11,40	0,13	0,23	0,36	0,13	0,23	0,36	36,93
	საშუალო ზონის		1338	5,33	9,50	14,82	0,17	0,30	0,47	0,17	0,30	0,47	32,38
	ჯამური ზონის					0,67	1,20	1,87	0,67	1,20	1,87		
ზონა VII: კოლხეთისა და მიმდებარე მთების ზონა													
1	მაგანა-შესართავი	ენგური	1630	3,40	6,19	9,56							35,56
3	ჯუმი-ს.დარჩელი		150	2,60	6,30	8,86	0,08	0,20	0,28	0,08	0,20	0,28	29,35
4	ხობი-ლეგახარე	შავი ზღვა	1640	8,00	13,10	21,10	0,25	0,41	0,66	0,25	0,41	0,66	37,91
5	ხანისწყალი-ბადდადი	რიონი	1220	6,90	8,49	15,40							44,81
6	წაბლარისწყალი-საირმე	ხანისწყალი	1600	1,20	1,61	2,82							42,55
7	სულორი-სალხინო	ტებური	800	1,90	2,18	4,08							46,57
8	ტებური-ნაქალაქევი	ტებური	1160	13,70	18,70	32,40							42,28
9	რიონი-საქოჩაკიძე	რიონი	1084	115,00	284,00	399,00	3,62	8,95	12,57	3,62	8,95	12,57	28,82
	საშუალო ზონის		1161	19,09	42,57	61,65	1,32	3,19	4,50	1,32	3,19	4,50	38,48
	ჯამური ზონის					3,96	9,56	13,51	3,96	9,56	13,51		
ზონა VIII: მდინარე ყვირილას აუზი													
1	ყვირილა-საჩხერე	რიონი	1320	8,40	9,05	17,40							48,28
2	ყვირილა-ზესტაფონი	რიონი	960	21,90	37,50	59,40	0,69	1,18	1,87	0,69	1,18	1,87	36,87
3	ჭიბურა-სხვიტორი		1360	1,04	1,24	2,28	0,03	0,04	0,07	0,03	0,04	0,07	45,64
4	ძირულა-წევა	ყვირილა	880	12,80	13,20	26,00							49,23

5	ჩხერიმელა-ქვები	მირულა	1040	1,30	3,06	4,31							30,16
6	ჩხერიმელა-ხარაგაული	ძირულა	1180	4,60	6,92	11,50							40,00
7	ტყიბული-ტყიბული	ტყიბულის წყ.	840	1,70	4,39	6,04	0,05	0,14	0,19	0,05	0,14	0,19	28,15
	საშუალო ზონის		1083	7,39	10,77	18,13	0,26	0,45	0,71	0,26	0,45	0,71	39,76
	ჯამური ზონის						0,78	1,36	2,13	0,78	1,36	2,13	
IX ზონა: ქართლის ვაკე მიმდებარე ქედებით													
1	ძამა-ზგუდერი	მტკვარი	1460	1,35	1,81	3,16							42,72
2	მეჯუჯა-გრომი	დიდ.ლიახვი	1530	1,15	1,19	2,34							49,15
3	ტანა-ატენი	მტკვარი	1490	0,82	0,92	1,74							47,13
5	ალგეთი-ფარცხისი	მტკვარი	1320	1,08	1,71	2,79							38,71
6	მტკვარი-თბილისი	კასპიის ზღვა	1710	87,20	116,80	204,00	2,75	3,68	6,43	2,75	3,68	6,43	42,75
	საშუალო ზონის		1502	18,32	24,49	42,81	2,75	3,68	6,43				44,09
	ჯამური ზონის									2,75	3,68	6,43	
X ზონა: კახეთი (იორი-ალაზანი)													
1	იორი-ლელოვანი	მინგეჩაურის წყ.	1640	5,28	6,32	11,60							45,52
2	იორი- ორხევი	მინგეჩაურის წყ.	1580	3,66	7,84	11,50							31,83
3	ალაზანი-ბირკიანი	მინგეჩაურის წყ.	2200	3,50	11,00	14,50							24,14
4	ალაზანი-შაქრიანი	მინგეჩაურის წყ.	1260	17,10	26,00	43,10							39,68
5	ალაზანი-ჭიაური	მინგეჩაურის წყ.	980	28,70	33,40	62,10							46,22
6	ალაზანი-ზემო ქედი	მინგეჩაურის წყ.	900	41,40	53,70	95,10	1,30	1,69	3,00	1,30	1,69	3,00	43,53
7	სამურისწყალი-ხადორი	ალაზანი	2590	1,52	4,03	5,55							27,39
8	სტორი-ლეჩური	ალაზანი	1850	2,71	5,00	7,71							35,15
9	დიდხევი-არტანა	ლოპოტა	1650	1,28	1,89	3,17							40,38
11	ჩელთი-შილდა	ალაზანი	1780	0,93	1,17	2,10	0,03	0,04	0,07	0,03	0,04	0,07	44,29
	საშუალო ზონის		1643	10,61	15,04	25,64	0,67	0,86	1,53	0,67	0,86	1,53	37,81
	ჯამური ზონის						1,33	1,73	3,06	1,33	1,73	3,06	

+XI ზონა:შავი ზღვის სანაპირო მდინარეები სუფსა და მისი სამხრეთი												
1	სუფსა-წოხეატაური	შავი ზღვა	1250	5,70	7,96	13,70						41,61
2	სუფსა-ხიდმაღალა	შავი ზღვა	970	16,10	29,50	45,60	0,51	0,93	1,44	0,51	0,93	1,44
3	გუბაზეული-ხიდისთავი	სუფსა	1300	5,60	8,37	14,00						40,00
4	ბახვისწყალი-ბახმარო	სუფსა	2260	0,80	1,08	1,86						43,01
5	ბახვისწყალი-ქვედა ბახვი	სუფსა	1480	2,50	3,29	5,76						43,40
6	ნატანები - ნატანები	შავი ზღვა	830	11,60	12,40	24,00	0,37	0,39	0,76	0,37	0,39	0,76
7	ბურეა - ჰესი	ნატანები	1910	1,20	2,37	3,54						33,90
8	ბურეა-გომი	ნატანები	1090	2,50	4,55	7,08						35,31
9	კინტრიში - კოხი	შავი ზღვა	835	4,90	7,55	12,40	0,15	0,24	0,39	0,15	0,24	0,39
11	მაჭახელასწყალი-სინდიუმი	ჭოროხი	1390	9,72	10,90	20,60	0,31	0,34	0,65	0,31	0,34	0,65
საშუალო ზონის			1332	6,06	8,80	14,85	0,33	0,48	0,81	0,33	0,48	0,81
ჯამური ზონის						1,33	1,90	3,23	1,33	1,90	3,23	
XII ზონა: აჭარის მდინარეები												
1	აჭარისწყალი-ხელო	ჭოროხი	1590	3,50	4,90	8,41	0,11	0,15	0,26	0,11	0,15	0,26
2	აჭარისწყალი-ქედა	ჭოროხი	1470	21,10	23,00	44,10	0,66	0,72	1,39	0,66	0,72	1,39
3	აჭარისწყალი-აწვესი	ჭოროხი	1470	17,20	30,20	47,40	0,54	0,95	1,49	0,54	0,95	1,49
6	ჭირუხისწყალი-შუახევი	აჭარისწყალი	1700	4,90	5,21	10,10	0,15	0,16	0,32	0,15	0,16	0,32
საშუალო ზონის			1558	11,68	15,83	27,50	0,37	0,50	0,87	0,37	0,50	0,87
ჯამური ზონის						1,47	1,99	3,47	1,47	1,99	3,47	
XIII ზონა: მტკვრის ახალციხე-ბორჯომის ხეობა												
5	ურაველი-ოხერა	მტკვარი	2160	1,78	1,92	3,70	0,06	0,06	0,12	0,06	0,06	0,12
6	ფოცხოვი-სხვილისი	მტკვარი	1870	9,60	11,70	21,30	0,30	0,37	0,67	0,30	0,37	0,67
7	ქობლიანი-მლაშე	ფოსხოვი	1940	4,49	6,41	10,90	0,14	0,20	0,34	0,14	0,20	0,34
11	ბორჯომულა-ბორჯომი	მტკვარი	1810	1,02	1,46	2,48	0,03	0,05	0,08	0,03	0,05	0,08
12	გუჯარეთისწყალი-წალვერი	მტკვარი	1630	1,46	1,66	3,12	0,05	0,05	0,10	0,05	0,05	0,10
საშუალო ზონის			1882	3,67	4,63	8,30	0,12	0,15	0,26	0,12	0,15	0,26
ჯამური ზონის						0,58	0,73	1,31	0,58	0,73	1,31	

XIV ზონა: სამცხე-ჯავახეთის ზეგანი													
1	ფარაგანი-ფოკა	მტკვარი	2120	0,69	0,77	1,46	0,02	0,02	0,05	0,02	0,02	0,05	47,26
2	ფარაგანი-არაგიალი	მტკვარი	2000	2,51	5,13	7,64	0,08	0,16	0,24	0,08	0,16	0,24	32,85
4	ფარაგანი-ხერთვისი	მტკვარი	2005	6,00	12,70	18,70	0,19	0,40	0,59	0,19	0,40	0,59	32,09
5	კორხი-არაქვა	ფარაგანი	2080	1,14	1,71	2,85	0,04	0,05	0,09	0,04	0,05	0,09	40,00
საშუალო ზონის			2051	2,59	5,08	7,66	0,08	0,16	0,24	0,08	0,16	0,24	38,05
ჯამური ზონის							0,33	0,64	0,97	0,33	0,64	0,97	
XV ზონა: ქვია-ხრამის აუზი													
1	ქვია-ხრამი-კუშჩი	მტკვარი	2050	3,44	3,58	7,02	0,11	0,11	0,22	0,11	0,11	0,22	49,00
2	ქვია-ხრამი-ედიკილისა	მტკვარი	2040	2,39	5,75	8,14							29,36
4	ყარაბულახი-ქიზილაჯალო	ქვია-ხრამი	1690	1,27	3,10	4,37	0,04	0,10	0,14	0,04	0,10	0,14	29,06
5	მაშავერა-დიდი დმანისი	ქვია-ხრამი	1240	2,42	2,74	5,16	0,08	0,09	0,16	0,08	0,09	0,16	46,90
6	ბოლნისი-სამწვერისი	მაშავერა	1100	0,33	1,25	1,58	0,01	0,04	0,05	0,01	0,04	0,05	20,89
7	შულავერჩანი-შაუმიანი	ქვია-ხრამი	800	0,12	0,35	0,47	0,00	0,01	0,01	0,00	0,01	0,01	25,53
საშუალო ზონის			1487	1,66	2,80	4,46	0,05	0,07	0,12	0,05	0,07	0,12	33,46
ჯამური ზონის							0,24	0,35	0,59	0,24	0,35	0,59	
	დასავლეთ საქართველოს რეგიონისათვის									14,76	28,37	43,13	34
	აღმოსავლეთ საქართველოს რეგიონისათვის									6,50	9,52	16,02	41
	ჯამური საქართველოსთვის									21,26	37,90	59,15	35
მდინარე-კვეთი		გლობალურ დათბობაზე ჩამონადენის რეაქცია (ნორმის %)											
		ზედაპირული									მიწისქვეშა		
მდ.ცხენისწყალი-ს.რცხმელური		23											
მდ.რიონი-ს.ალპანა		5-10									22		
მდ.რიონი-ს.საქოჩაკიძე		10-15											
მდ.იორი-ს.სადახლი		30											
მდ.ალაზანი-მდ.აგრიჩაის შეს-ართავი		50											
მდ.მტკვარი-ქ.თბილისი		70									30		

